

(12) 特許協力条約に基づいて公開された国際出願

(19) 世界知的所有権機関
国際事務局

(43) 国際公開日
2025年1月23日(23.01.2025)



(10) 国際公開番号

WO 2025/017976 A1

- (51) 国際特許分類:
H03H 9/19 (2006.01)
- (21) 国際出願番号: PCT/JP2024/013407
- (22) 国際出願日: 2024年4月1日(01.04.2024)
- (25) 国際出願の言語: 日本語
- (26) 国際公開の言語: 日本語
- (30) 優先権データ:
特願 2023-117392 2023年7月19日(19.07.2023) JP
- (71) 出願人: 株式会社村田製作所 (MURATA MANUFACTURING CO., LTD.) [JP/JP]; 〒6178555 京都府長岡京市東神足1丁目10番1号 Kyoto (JP).
- (72) 発明者: 村内 大樹 (MURAUCHI, Daiki); 〒6178555 京都府長岡京市東神足1丁目10番1号 株式会社村田製作所内 Kyoto (JP).
西村 俊雄 (NISHIMURA, Toshio); 〒6178555 京都府長岡京市東神足1丁目10番1号 株式会社村田製作所内 Kyoto (JP).
- (74) 代理人: 稲葉 良幸, 外 (INABA, Yoshiyuki et al.); 〒1066123 東京都港区六本木6-10-1 六本木ヒルズ森タワー23階 TMI 総合法律事務所 Tokyo (JP).
- (81) 指定国(表示のない限り、全ての種類の国内保護が可能): AE, AG, AL, AM, AO, AT, AU, AZ, BA, BB, BG, BH, BN, BR, BW, BY, BZ, CA, CH, CL, CN, CO, CR, CU, CV, CZ, DE, DJ, DK, DM, DO, DZ, EC,

(54) Title: PIEZOELECTRIC VIBRATION ELEMENT

(54) 発明の名称: 圧電振動素子

10

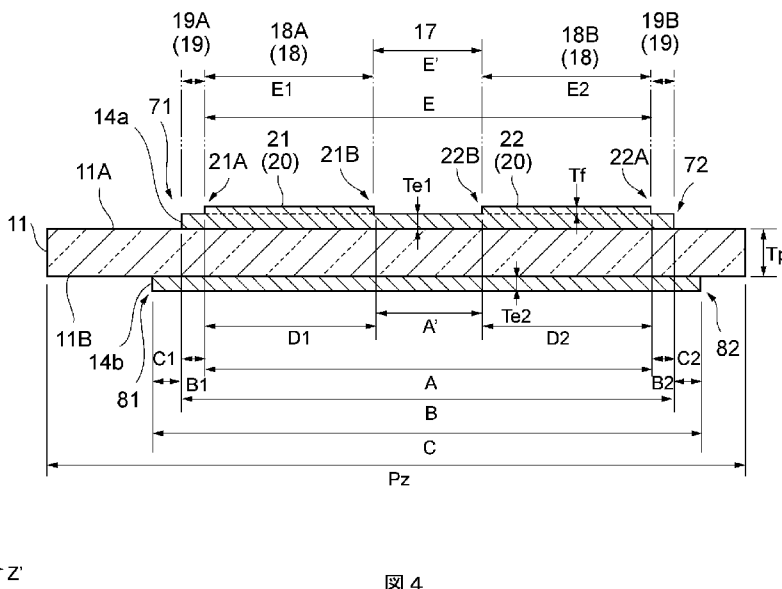


図 4

(57) Abstract: A piezoelectric vibration element 10 comprises: a piezoelectric piece 11; a first excitation electrode 14a provided on a first principal surface 11A of the piezoelectric piece 11; a second excitation electrode 14b provided on a second principal surface 11B of the piezoelectric piece 11; and a mass addition film 20 at least partially overlapping the first excitation electrode 14a. The mass addition film 20 includes a first portion 21 and a second portion 22 that are provided so as to avoid a central portion of the first excitation electrode 14a; the first excitation electrode 14a has a first



WO 2025/017976 A1

EE, EG, ES, FI, GB, GD, GE, GH, GM, GT, HN, HR, HU, ID, IL, IN, IQ, IR, IS, IT, JM, JO, JP, KE, KG, KH, KN, KP, KR, KW, KZ, LA, LC, LK, LR, LS, LU, LY, MA, MD, MG, MK, MN, MU, MW, MX, MY, MZ, NA, NG, NI, NO, NZ, OM, PA, PE, PG, PH, PL, PT, QA, RO, RS, RU, RW, SA, SC, SD, SE, SG, SK, SL, ST, SV, SY, TH, TJ, TM, TN, TR, TT, TZ, UA, UG, US, UZ, VC, VN, WS, ZA, ZM, ZW.

- (84) 指定国(表示のない限り、全ての種類の広域保護が可能): ARIPO (BW, CV, GH, GM, KE, LR, LS, MW, MZ, NA, RW, SC, SD, SL, ST, SZ, TZ, UG, ZM, ZW), ユーラシア (AM, AZ, BY, KG, KZ, RU, TJ, TM), ヨーロッパ (AL, AT, BE, BG, CH, CY, CZ, DE, DK, EE, ES, FI, FR, GB, GR, HR, HU, IE, IS, IT, LT, LU, LV, MC, ME, MK, MT, NL, NO, PL, PT, RO, RS, SE, SI, SK, SM, TR), OAPI (BF, BJ, CF, CG, CI, CM, GA, GN, GQ, GW, KM, ML, MR, NE, SN, TD, TG).

添付公開書類 :

一 国際調査報告 (条約第21条(3))

outer edge portion 71 and a second outer edge portion 72 in plan view; the second excitation electrode 14b has a third outer edge portion 81 and a fourth outer edge portion 82; the first portion 21 is provided along the first outer edge portion 71; the second portion 22 is provided along the second outer edge portion 72; and when a region in which the piezoelectric piece 11, the first excitation electrode 14a, and the second excitation electrode 14b overlap one another is defined as a high acoustic velocity region 17, and regions in which the mass addition film 20 further overlaps the piezoelectric piece 11, the first excitation electrode 14a, and the second excitation electrode 14b are defined as first and second low acoustic velocity regions 18A, 18B, the third outer edge portion 81 and the fourth outer edge portion 82 are further away from the central portion than the first low acoustic velocity region 18A and the second low acoustic velocity region 18B, respectively, in plan view.

(57) 要約 : 圧電振動素子 10 は、圧電片 11 と、圧電片 11 の第 1 主面 11A の上に設けられた第 1 励振電極 14a と、圧電片 11 の第 2 主面 11B の上に設けられた第 2 励振電極 14b と、少なくとも一部が第 1 励振電極 14a に重なる質量付加膜 20 とを備え、質量付加膜 20 は、第 1 励振電極 14a の中央部を避けて設けられた第 1 部分 21 及び第 2 部分 22 を含み、第 1 励振電極 14a は、平面視において第 1 外縁部 71 と第 2 外縁部 72 とを有し、第 2 励振電極 14b は、第 3 外縁部 81 と第 4 外縁部 82 とを有し、第 1 部分 21 は、第 1 外縁部 71 に沿って設けられ、第 2 部分 22 は、第 2 外縁部 72 に沿って設けられ、圧電片 11、第 1 励振電極 14a 及び第 2 励振電極 14b が重なった領域を高音速領域 17 とし、圧電片 11、第 1 励振電極 14a 及び第 2 励振電極 14b にさらに質量付加膜 20 が重なった領域を第 1、第 2 低音速領域 18A、18B としたとき、平面視において、第 3 外縁部 81、第 4 外縁部 82 は、それぞれ第 1 低音速領域 18A、第 2 低音速領域 18B よりも中央部から離れてる。

明 細 書

発明の名称：圧電振動素子

技術分野

[0001] 本発明は、圧電振動素子に関する。

背景技術

[0002] 移動通信端末、通信基地局、家電などの各種電子機器において、タイミングデバイス、センサ又は発振器等の用途に圧電振動素子が用いられている。圧電振動素子は、一对の主面を有する圧電片と、圧電片の一对の主面に設けられた一对の励振電極を備える。

[0003] 例えば、特許文献1には、第1主面及び第2主面を有する水晶片と、第1主面に設けられた第1励振電極と、第2主面に設けられた第2励振電極とを備え、第1励振電極及び第2励振電極は、電極端部において他の部分よりも膜厚が大きい膜厚部を有する、水晶振動素子が開示されている。

先行技術文献

特許文献

[0004] 特許文献1：国際公開第2022/080426号

発明の概要

発明が解決しようとする課題

[0005] しかしながら、特許文献1に記載の水晶振動素子においては、製造バラツキによる膜厚部の位置ずれによって、電気機械結合係数が悪化する場合がある。

[0006] 本発明はこのような事情に鑑みてなされたものであり、電気機械結合係数の悪化の抑制を図ることができる圧電振動素子を提供することである。

課題を解決するための手段

[0007] 本発明の一態様に係る圧電振動素子は、第1方向及び第1方向と交差する第2方向に延在する第1主面、及び、第1主面に対向する第2主面を有する圧電片と、圧電片の第1主面の上に設けられた第1励振電極と、圧電片の第

2主面の上に設けられた第2励振電極と、少なくとも一部が第1励振電極に重なる質量付加膜とを備え、質量付加膜は、第1励振電極の中央部を避けて設けられた第1部分及び第2部分を含み、第1励振電極は、平面視において、中央部に対して第1方向における一方側に位置する第1外縁部と、中央部に対して第1方向における他方側に位置する第2外縁部とを有し、第2励振電極は、平面視において、中央部に対して第1方向における一方側に位置する第3外縁部と、中央部に対して第1方向における他方側に位置する第4外縁部とを有し、第1部分は、第1外縁部に沿って設けられ、第2部分は、第2外縁部に沿って設けられ、圧電片、第1励振電極及び第2励振電極が重なった領域を高音速領域とし、圧電片、第1励振電極及び第2励振電極にさらに質量付加膜の第1部分が重なった領域を第1低音速領域とし、圧電片、第1励振電極及び第2励振電極にさらに質量付加膜の第2部分が重なった領域を第2低音速領域としたとき、平面視において、第3外縁部は、第1低音速領域よりも中央部から離れており、平面視において、第4外縁部は、第2低音速領域よりも中央部から離れている。

[0008] 本発明の一態様に係る圧電振動素子は、第1方向及び第1方向と交差する第2方向に延在する第1主面、及び、第1主面に対向する第2主面を有する圧電片と、圧電片の第1主面の上に設けられた第1励振電極と、圧電片の第2主面の上に設けられた第2励振電極と、少なくとも一部が第1励振電極に重なる質量付加膜とを備え、質量付加膜は、第1励振電極の中央部を避けて設けられた第1部分及び第2部分を含み、第1励振電極は、平面視において、中央部に対して第1方向における一方側に位置する第1外縁部と、中央部に対して第1方向における他方側に位置する第2外縁部とを有し、第2励振電極は、平面視において、中央部に対して第1方向における一方側に位置する第3外縁部と、中央部に対して第1方向における他方側に位置する第4外縁部とを有し、第1部分は、第1外縁部に沿って設けられ、第2部分は、第2外縁部に沿って設けられ、圧電片、第1励振電極及び第2励振電極が重なった領域を高音速領域とし、圧電片、第1励振電極及び第2励振電極にさら

に質量付加膜の第1部分が重なった領域を第1低音速領域とし、圧電片、第1励振電極及び第2励振電極にさらに質量付加膜の第2部分が重なった領域を第2低音速領域とし、質量付加膜における第1部分の第2部分とは反対側の端部と第2部分の第1部分とは反対側の端部との間の第1方向に沿った寸法をA、第1励振電極の第1方向に沿った寸法をB、第2励振電極の第1方向に沿った寸法をCとしたとき、 $A=C<B$ の関係が成り立ち、平面視したとき、第1低音速領域の第2低音速領域とは反対側の外縁部、及び、第2低音速領域の第1低音速領域とは反対側の外縁部は、第1励振電極に重なっており、平面視したとき、第2励振電極の第3外縁部及び第4外縁部は、第1励振電極に重なっている。

発明の効果

[0009] 本発明によれば、電気機械結合係数の悪化の抑制を図ることができる圧電振動素子を提供することができる。

図面の簡単な説明

- [0010] [図1]第1実施形態に係る水晶発振器の断面図である。
[図2]第1実施形態に係る水晶振動子の分解斜視図である。
[図3]第1実施形態に係る水晶振動子の断面図である。
[図4]第1実施形態に係る水晶振動素子の断面図である。
[図5]第1実施形態に係る水晶振動素子の平面図である。
[図6]第1実施形態に基づくシミュレーションの条件を示す表である。
[図7]第1実施形態に基づくシミュレーション結果を示すグラフである。
[図8]第1実施形態に基づくシミュレーション結果を示すグラフである。
[図9]第1実施形態に基づくシミュレーション結果を示すグラフである。
[図10]第1実施形態に基づくシミュレーション結果を示すグラフである。
[図11]第1実施形態に基づくシミュレーション結果を示すグラフである。
[図12]第1実施形態に基づくシミュレーション結果を示すグラフである。
[図13]第1実施形態に基づくシミュレーション結果を示すグラフである。
[図14]第1実施形態に基づくシミュレーション結果を示すグラフである。

- [図15]第1実施形態に基づくシミュレーション結果を示すグラフである。
- [図16]第1実施形態に基づくシミュレーション結果を示すグラフである。
- [図17]第1実施形態における位置ずれの影響を説明するための図である。
- [図18]第1実施形態における位置ずれの影響を説明するための図である。
- [図19]第2実施形態に係る水晶振動素子の断面図である。
- [図20]第3実施形態に係る水晶振動素子の断面図である。
- [図21]第4実施形態に係る水晶振動素子の断面図である。
- [図22]第4実施形態における位置ずれの影響を説明するための図である。
- [図23]第4実施形態における位置ずれの影響を説明するための図である。
- [図24]第5実施形態に係る水晶振動素子の断面図である。
- [図25]第5実施形態における位置ずれの影響を説明するための図である。
- [図26]第5実施形態における位置ずれの影響を説明するための図である。
- [図27]第6実施形態に係る水晶振動素子の断面図である。
- [図28]第6実施形態における位置ずれの影響を説明するための図である。
- [図29]第6実施形態における位置ずれの影響を説明するための図である。
- [図30]第7実施形態に係る水晶振動素子の断面図である。
- [図31]第8実施形態に係る水晶振動素子の断面図である。
- [図32]比較例及び第1乃至第8実施形態に基づく実施例のシミュレーション結果を示す表である。
- [図33]比較例及び第1乃至第8実施形態に基づく実施例のシミュレーション条件を示す表である。
- [図34]第9実施形態に係る水晶振動素子の断面図である。
- [図35]第10実施形態に係る水晶振動素子の平面図である。
- [図36]第11実施形態に係る水晶振動素子の平面図である。

発明を実施するための形態

- [0011] 以下に本発明の実施形態を説明する。以下の図面の記載において、同一又は類似の構成要素は同一又は類似の符号で表している。図面は例示であり、各部の寸法や形状は模式的なものであり、本発明の技術的範囲を当該実施形

態に限定して解すべきではない。なお、以下の説明において、「寸法」は対象物の長さを意味し、「距離」は2つの対象物の間隔の長さを意味するものとする。

[0012] 各図面には、各図面の相互の関係を明確にし、各部材の位置関係を理解する助けとするために、便宜的にX軸、Y'軸及びZ'軸からなる直角座標系を付すことがある。X軸、Y'軸及びZ'軸は各図面において互いに対応している。X軸、Y'軸及びZ'軸は、それぞれ、後述する水晶片11の結晶軸(Crystallographic Axes)に対応している。X軸は水晶の電気軸(極性軸)、Y軸は水晶の機械軸、Z軸は水晶の光学軸に、それぞれ相当する。Y'軸及びZ'軸は、それぞれ、Y軸及びZ軸をX軸の周りにY軸からZ軸の方向に35度15分±1分30秒回転させた軸である。

[0013] 以下の説明において、X軸に平行な方向を「X軸方向」、Y'軸に平行な方向を「Y'軸方向」、Z'軸に平行な方向を「Z'軸方向」という。また、X軸、Y'軸及びZ'軸の矢印の先端方向を「正」又は「+(プラス)」、矢印とは反対の方向を「負」又は「-(マイナス)」という。なお、便宜的に、+Y'軸方向を上方向、-Y'軸方向を下方向として説明するが、水晶振動素子10、水晶振動子1、及び水晶発振器100の上下の向きは限定されるものではない。また、X軸及びZ'軸によって特定される面をZ'X面とし、他の軸によって特定される面についても同様とする。

[0014] <第1実施形態>

[0015] まず、図1を参照しつつ、一実施形態に従う水晶発振器の概略構成について説明する。第1実施形態に係る水晶発振器の断面図である。

[0016] 以下の説明において、圧電発振器として、水晶振動子(Quartz Crystal Resonator Unit)を備えた水晶発振器(XO:Crystal Oscillator)を例に挙げて説明する。また、圧電振動子(Piezoelectric Resonator Unit)として、水晶振動素子(Quartz Crystal Resonat

or) を備えた水晶振動子 (Quartz Crystal Resonator Unit) を例に挙げて説明する。また、圧電振動素子として、水晶片 (Quartz Crystal Element) を備えた水晶振動素子を例に挙げて説明する。水晶片は、印加電圧に応じて振動する圧電体 (圧電片) の一種である。なお、圧電発振器は、水晶振動子に限定されるものではなく、セラミック等の他の圧電体を利用するものであってもよい。同様に、圧電振動子は、水晶振動子に限定されるものではなく、セラミック等の他の圧電体を利用するものであってもよい。また同様に、圧電振動素子は、水晶振動素子に限定されるものではなく、セラミック等の他の圧電体を利用するものであってもよい。

- [0017] 図 1 に示すように、水晶発振器 100 は、水晶振動子 1 と、実装基板 130 と、蓋体 140 と、電子部品 156 とを備える。
- [0018] 水晶振動子 1 及び電子部品 156 は、実装基板 130 と蓋体 140 との間に形成される空間に收容される。実装基板 130 及び蓋体 140 によって形成される空間は、例えば気密に封止される。なお、この空間は、真空状態で気密に封止されてもよく、不活性ガス等の気体が充填された状態で気密に封止されてもよい。
- [0019] 実装基板 130 は、平板状の回路基板である。実装基板 130 は、例えば、ガラスエポキシ板と、ガラスエポキシ板にパターンニングされた配線層とを含んで構成される。
- [0020] 水晶振動子 1 は、実装基板 130 の一方の面 (図 1 における上面) の上に設けられる。より詳細には、水晶振動子 1 は、半田 153 によって実装基板 130 の配線層に電氣的に接続されている。
- [0021] 蓋体 140 は、一方の側 (図 1 における下側) が開口した、有底の開口部を含む。言い換えると、蓋体 140 は、平板状の天壁部と、天壁部の外縁から実装基板 130 に向かって延在する側壁部と、側壁部の先端から外側に延在するフランジ部とを含む。フランジ部は、実装基板 130 の一方の面 (図 1 における上面) に接合される。これにより、蓋体 140 の内部に、実装基

板130に接合された水晶振動子1が収容される。蓋体140は、金属材料によって構成されており、例えば金属板の絞り加工によって形成される。

[0022] 電子部品156は、実装基板130の一方の面（図1における上面）の上に設けられる。より詳細には、半田153によって実装基板130の配線層と電子部品156とが接合されている。これにより、電子部品156は、実装基板130に実装される。

[0023] 電子部品156は、実装基板130の配線層を通して、水晶振動子1に電氣的に接続される。電子部品156は、例えばコンデンサやICチップ等を含んで構成される。電子部品156は、例えば、水晶振動子1を発振させる発振回路の一部、又は、水晶振動子1の温度特性を補償する温度補償回路の一部等である。電子部品156が温度補償回路を含む場合、水晶発振器100は、温度補償水晶発振器（TCXO：Temperature Compensated Crystal Oscillator）の一例に相当する。水晶発振器100は、電圧制御水晶発振器（VCXO：Voltage Controlled Crystal Oscillator）の一例に相当してもよく、恒温槽付水晶発振器（OCXO：Oven Controlled Crystal Oscillator）の一例に相当してもよい。

[0024] 次に、図2及び3を参照しつつ、第1実施形態に係る水晶振動子1の構成について説明する。図2は、第1実施形態に係る水晶振動子の分解斜視図である。図3は、第1実施形態に係る水晶振動子の断面図である。

[0025] Z'軸方向は「第1方向」の一例に相当し、X軸方向は「第2方向」の一例に相当し、Y'軸方向は「第3方向」の一例に相当する。Y'軸方向は、「厚さ方向」の一例に相当する。但し、第1方向、第2方向及び第3方向は上記に限定されるものではない。例えば、X軸方向が第1方向であり、Z'軸方向が第2方向であってもよい。

[0026] 水晶振動子1は、水晶振動素子10と、ベース部材30と、蓋部材40と、接合部50を備えている。

[0027] 水晶振動素子10は、圧電効果により電気エネルギーと機械エネルギーとを相互に変換する電気機械エネルギー変換素子である。水晶振動素子10のメインモードの周波数は、例えば0.8GHz以上2.0GHz以下程度であり、例えば0.95GHz程度である。水晶振動素子10のインハーモニックモードの周波数は、例えば、メインモードの周波数の1%程度の範囲内に存在する。水晶振動素子10は、薄片状の水晶片(Quartz Crystal Element)11と、一对の励振電極を構成する第1励振電極14a及び第2励振電極14bと、一对の引出電極を構成する第1引出電極15a及び第2引出電極15bと、一对の接続電極を構成する第1接続電極16a及び第2接続電極16bと、質量付加膜20とを備えている。

[0028] 水晶片11は、互いに対向する上面11A及び下面11Bを有している。上面11Aは、蓋部材40の天壁部41に対向する側に位置している。下面11Bは、ベース部材30に対向する側に位置している。上面11A及び下面11Bは、水晶片11の一对の主面に相当する。

[0029] 水晶片11は、例えば、ATカット型の水晶結晶である。ATカット型の水晶結晶は、XZ'面が主面となり、Y'軸と平行な方向が厚さとなるように形成される。一例として、厚さ方向において上面11Aを平面視したとき(以下、単に「平面視」とする。)、水晶片11の形状(以下、「平面形状」とする。)は、Z'軸方向に延在する一对の辺と、X軸方向に延在する一对の辺とを有する正方形状である。また、水晶片11は、Y'軸方向に厚さを有する。一例として、水晶片11の形状は、厚さが一様な平板状である。

[0030] なお、水晶片の平面形状は上記に限定されるものではない。例えば、水晶片の平面形状は、Z'軸方向に延在する長辺とX軸方向に延在する短辺とを有する長方形状であってもよく、Z'軸方向に延在する短辺とX軸方向に延在する長辺とを有する長方形状であってもよい。水晶片の平面形状は、多角形状、円形状、楕円形状、又はこれらの組合せであってもよい。また、水晶片は平板状に限定されるものではない。水晶片は、上面11A及び下面11Bの少なくとも一方に凹凸を有するメサ型構造又は逆メサ型構造であっても

よい。水晶片は、厚さの変化量が連続的に変化するコンベックス構造であってもよく、厚さの変化量が不連続に変化するベベル構造であってもよい。

[0031] ATカット型的水晶片11は、人工水晶 (Synthetic Quartz Crystal) の結晶軸であるX軸、Y軸、Z軸のうち、Y軸及びZ軸をX軸の周りにY軸からZ軸の方向に35度15分±1分30秒回転させた軸をそれぞれY'軸及びZ'軸とし、XZ'面を主面として切り出されたものである。

[0032] ATカット型的水晶片11を用いた水晶振動素子10は、広い温度範囲で高い周波数安定性を有する。また、ATカット水晶振動素子は、経時変化特性にも優れており、低コストで製造することが可能である。さらに、ATカット水晶振動素子は、厚み滑り振動モード (Thickness Shear Vibration Mode) を主要振動として用いる。

[0033] なお、水晶片のカット角は上記に限定されるものではない。ATカット型の水晶片11におけるY'軸及びZ'軸の回転角は、35度15分から-5度以上又は+15度以下の範囲で傾いてもよい。また、水晶片のカット角は、ATカット以外の異なるカット、例えばBTカット、GTカット、SCカット等を適用してもよい。また、水晶振動素子の主要振動モードは厚み滑り振動モードに限定されるものではなく、例えば、厚み縦振動、広がり振動、長さ振動又は屈曲振動であってもよい。

[0034] 第1励振電極14a及び第2励振電極14bは、水晶片11に交番電圧を印加して、水晶片11を励振する。第1励振電極14a及び第2励振電極14bは、平面視における水晶片11の中央部に設けられている。第1励振電極14aは、上面11Aに設けられ、第2励振電極14bは、下面11Bに設けられている。第1励振電極14aと第2励振電極14bとは、水晶片11を挟んでY'軸方向において互いに対向している。第1励振電極14aは、「励振電極」の一例に相当する。

[0035] 第1励振電極14の平面形状は、Z'軸方向に延在する短辺と、X軸方向に延在する長辺とを有する長方形状である。また、第1励振電極14aはY

’ 軸方向に厚さを有する。第2励振電極14bも同様の形状である。

[0036] なお、第1励振電極及び第2励振電極の平面形状は上記に限定されるものではない。第1励振電極及び第2励振電極の平面形状は、X軸方に延在する短辺を有する長方形状であってもよい。また、第1励振電極及び第2励振電極の平面形状は、正方形状、多角形状、円形状、楕円形状又はこれらの組み合わせであってもよい。

[0037] 第1引出電極15aは第1励振電極14aと第1接続電極16aとを電氣的に接続し、第2引出電極15bは第2励振電極14bと第2接続電極16bとを電氣的に接続する。第1引出電極15aは水晶片11の上面11Aから下面11Bに亘って設けられ、第2引出電極15bは水晶片11の下面11Bに設けられている。

[0038] 第1接続電極16a及び第2接続電極16bは、水晶振動素子10をベース部材30に電氣的に接続する。第1接続電極16a及び第2接続電極16bは、水晶片11の下面11Bに設けられている。

[0039] 第1励振電極14a、第1引出電極15a及び第1接続電極16aは、一体的に設けられている。第2励振電極14b、第2引出電極15b及び第2接続電極16bも同様である。これら水晶振動素子10の電極は、例えば、下地層と表面層とをこの順に積層して設けられる多層構造である。例えば、下地層は水晶片11との密着性が良好なクロム(Cr)層であり、表面層は化学的安定性の良好な金(Au)層である。水晶振動素子10の電極は、チタン(Ti)、アルミニウム(Al)、モリブデン(Mo)、又は、アルミニウム(Al)を主成分とするアルミ銅合金(AlCu)を含んでもよい。水晶振動素子10の電極は、単層構造であってもよい。

[0040] 質量付加膜20は、質量付加効果により、第1励振電極14a及び第2励振電極14bが対向する領域における一部の音速を低下させる。質量付加膜20は、第1励振電極14aの水晶片11とは反対側に設けられている。質量付加膜20の少なくとも一部が第1励振電極14aに重なっている。質量付加膜20の材質は、電気伝導体であり、例えば第1励振電極14aの材質

と同じである。

- [0041] 第1励振電極14aと質量付加膜20との材質が同一で境界が不明確である場合、高音速領域17（図4参照）における第1励振電極14aの表面を含むXZ'面に対して、水晶片11とは反対側に位置する部分を質量付加膜20とする。
- [0042] なお、質量付加膜は、第1励振電極の水晶片とは反対側ではなく、第2励振電極の水晶片11とは反対側に設けられてもよい。質量付加膜20の材質は、第1励振電極とは異なる金属であってもよく、絶縁体であってもよい。
- [0043] ベース部材30は、水晶振動素子10を励振可能に保持している。ベース部材30は、基体31と、接続電極33a、33bと、引出電極34a、34bと、外部電極35a、35b、35c、35dと、導電性保持部材36a、36bとを備えている。
- [0044] 基体31は、厚さ方向において互いに対向する上面31A及び下面31Bを有する板状の絶縁体である。上面31A及び下面31Bは、基体31の一对の主面に相当する。上面31Aは、水晶振動素子10及び蓋部材40に対向する側に位置し、水晶振動素子10が搭載される搭載面に相当する。リフロー等の熱履歴によって基体31から水晶振動素子10に作用する熱応力を抑制する観点から、基体31は耐熱性材料によって構成されることが好ましい。同様の観点から、基体31は、水晶片11に近い熱膨張率を有する材料によって設けられてもよい。基体31は、例えば、セラミック基板、ガラス基板又は水晶基板によって設けられる。
- [0045] 基体31のコーナー部は、その一部が円筒曲面状（キャストレーション形状とも呼ばれる。）に形成された切り欠き側面を有している。なお、基体31のコーナー部の形状はこれに限定されるものではない。基体のコーナー部は、角柱状に形成された切り欠き側面を有してもよく、切り欠きが無い略直角のコーナー部であってもよい。
- [0046] 接続電極33a、33bは、水晶振動素子10に電氣的に接続される。接続電極33aは水晶振動素子10の接続電極16aに電氣的に接続され、接

続電極 33b は、水晶振動素子 10 の接続電極 16b に接続される。

[0047] 引出電極 34a は接続電極 33a と外部電極 35a とを電氣的に接続し、引出電極 34b は接続電極 33b と外部電極 35b とを電氣的に接続している。引出電極 34a, 34b は、基体 31 の上面 31A に設けられている。

[0048] 外部電極 35a, 35b は水晶振動素子 10 を外部基板に電氣的に接続するための外部端子である。外部電極 35a は水晶振動素子 10 の第 1 励振電極 14a を実装基板 130 に電氣的に接続し、外部電極 35b は水晶振動素子 10 の第 2 励振電極 14b を実装基板 130 に電氣的に接続する。外部電極 35c, 35d のうち一方は、蓋部材 40 を接地する接地電極であり、他方は水晶振動素子 10 及び蓋部材 40 とは電氣的に接続されていないダミー電極である。外部電極 35a, 35b, 35c, 35d のそれぞれは、基体 31 の 4 つのコーナー部に設けられた切り欠き側面から下面 31B にわたって連続的に設けられている。図 2 に示す例において、外部電極 35a と外部電極 35b とは基体 31 の上面 31A における対角に位置し、外部電極 35c と外部電極 35d とは基体 31 の上面 31A における別の対角に位置している。但し、外部電極 35a, 35b, 35c, 35d は上記に限定されるものではない。外部電極 35c, 35d は両方とも接地電極であってもよく、両方ともダミー電極であってもよい。外部電極 35c, 35d は省略されてもよい。外部電極 35c は外部電極 35a, 35b のうち一方と電氣的に接続されてもよく、外部電極 35d は外部電極 35a, 35b のうち他方と電氣的に接続されてもよい。

[0049] 導電性保持部材 36a, 36b は、ベース部材 30 と水晶振動素子 10 とを電氣的に接続するとともに、水晶振動素子 10 を機械的に保持している。導電性保持部材 36a は、水晶振動素子 10 の第 1 接続電極 16a と、ベース部材 30 の接続電極 33a とを電氣的に接続している。導電性保持部材 36b は、水晶振動素子 10 の第 2 接続電極 16b と、ベース部材 30 の接続電極 33b とを電氣的に接続している。導電性保持部材 36a, 36b は、熱硬化性樹脂や光硬化性樹脂等を含む導電性接着剤の硬化物である。導電性

保持部材 36 a, 36 b の主成分は、例えばシリコン樹脂である。導電性保持部材 36 a, 36 b は導電性粒子を含んでおり、当該導電性粒子としては例えば銀 (Ag) を含む金属粒子が用いられる。

[0050] 導電性保持部材 36 a, 36 b の主成分は、シリコン樹脂に限定されるものではなく、例えばエポキシ樹脂やアクリル樹脂などであってもよい。また、導電性保持部材 36 a, 36 b に含まれる導電性粒子は、銀粒子に限定されるものではなく、その他の金属、導電性セラミック、導電性有機材料などによって形成されてもよい。導電性保持部材 36 a, 36 b は、導電性高分子を含んでもよい。

[0051] 蓋部材 40 は、ベース部材 30 との間に、水晶振動素子 10 が収容される内部空間 39 を形成する。蓋部材 40 は、天壁部 41 と、天壁部 41 の外縁部からベース部材 30 に向かって延出する側壁部 42 と、実装基板 130 の先端から外側に向かって延出するフランジ部 43 とを有している。天壁部 41 は、Y' 軸方向において、水晶振動素子 10 を挟んでベース部材 30 と対向している。側壁部 42 は、XZ' 面方向において、間隔を空けて水晶振動素子 10 を囲んでいる。フランジ部 43 は、平面視において枠状に設けられており、蓋部材 40 のうち最もベース部材 30 の近くに設けられている。蓋部材 40 の材質は、望ましくは導電材料であり、さらに望ましくは気密性の高い金属材料である。蓋部材 40 が導電材料で構成されることによって、内部空間 39 への電磁波の出入りを低減する電磁シールド機能が蓋部材 40 に付与される。熱応力の発生を抑制する観点から、蓋部材 40 の材質は、ベース部材 30 に近い熱膨張率を有する材料であることが望ましく、例えば常温付近での熱膨張率がガラスやセラミックと広い温度範囲で一致する Fe-Ni-Co 系合金である。蓋部材 40 は、図示しない接地部材によって、外部電極 35 c, 35 d の少なくとも一方に電氣的に接続されている。

[0052] 接合部 50 は、ベース部材 30 と蓋部材 40 とを接合し、内部空間 39 を封止する。接合部 50 は、ベース部材 30 のフランジ部 43 の全周に亘って枠状に設けられており、蓋部材 40 のフランジ部 43 の下面とベース部材 3

0の上面31Aとによって挟まれている。接合部50は絶縁材料によって設けられている。接合部50は、例えば、エポキシ系、ビニル系、アクリル系、ウレタン系又はシリコン系の樹脂を含む有機系接着剤によって設けられる。接合部50の材質は有機系接着剤に限定されるものではなく、水ガラスなどを含むケイ素系接着剤や、セメントなどを含むカルシウム系接着剤などの無機系接着剤によって設けられてもよい。接合部50の材質は、低融点ガラス（例えば鉛ホウ酸系や錫リン酸系等）であってもよい。

[0053] 次に、図4及び図5を参照しつつ、第1実施形態に係る水晶振動素子10の構成について説明する。図4は、第1実施形態に係る水晶振動素子の断面図である。図5は、第1実施形態に係る水晶振動素子の平面図である。なお、説明を簡略化するため、図4及び図5においては、第1引出電極15a、第2引出電極15b、第1接続電極16a及び第2接続電極16bの図示を省略している。

[0054] 水晶振動素子10は、電圧が印加されて励振される励振領域において、高音速領域17と、低音速領域18と、外側高音速領域19とを有する。低音速領域18は、質量付加膜20が設けられることによって質量付加効果により音速が低下した領域である。高音速領域17及び外側高音速領域19の音速は、低音速領域18の音速よりも大きい。高音速領域17の音速は、外側高音速領域19の音速と略同等である。

[0055] 図5に示すように、平面視において、高音速領域17は、第1励振電極14aの中央部に重なる領域に設けられている。高音速領域17の平面形状は、X軸方向に沿って延在する長辺と、Z'軸方向に沿って延在する短辺とを有する長方形形状である。

[0056] なお、高音速領域の平面形状は上記に限定されるものではない。高音速領域の平面形状は、X軸方向に沿って延在する短辺と、Z'軸方向に沿って延在する長辺とを有する長方形形状であってもよい。また、高音速領域の平面形状は、正形状、多角形状、円形状、楕円形状又はこれらの組み合わせであってもよい。

[0057] 図5に示すように、平面視において、低音速領域18は、第1励振電極14aの外縁部の内側の領域において、第1励振電極14aの外縁部に沿って設けられている。低音速領域18は、第1励振電極14aの中央部を囲む枠状に設けられている。低音速領域18は、第1低音速領域18A、第2低音速領域18B、第3低音速領域18C及び第4低音速領域18Dを有している。

[0058] 第1低音速領域18Aは、高音速領域17のZ'軸負方向側に隣接し、X軸方向に沿って延在している。第2低音速領域18Bは、高音速領域17のZ'軸正方向側に隣接し、X軸方向に沿って延在している。第3低音速領域18Cは、高音速領域17のX軸正方向側に隣接し、Z'軸方向に沿って延在している。第4低音速領域18Dは、高音速領域17のX軸負方向側に隣接し、Z'軸方向に沿って延在している。第1低音速領域18AのX軸正方向側の端部は、第3低音速領域18CのZ'軸負方向側の端部に接続し、第1低音速領域18AのX軸正方向側の端部は、第4低音速領域18DのZ'軸負方向側の端部に接続している。第2低音速領域18BのX軸正方向側の端部は、第3低音速領域18CのZ'軸正方向側の端部に接続し、第2低音速領域18BのX軸負方向側の端部は、第4低音速領域18DのZ'軸正方向側の端部に接続している。

[0059] 平面視において、第1低音速領域18AのX軸正方向側の端部は、第3低音速領域18CのZ'軸負方向側の端部と重なっており、第1低音速領域18AのX軸負方向側の端部は、第4低音速領域18DのZ'軸負方向側の端部と重なっている。第2低音速領域18BのX軸正方向側の端部は、第3低音速領域18CのZ'軸正方向側の端部と重なっており、第2低音速領域18BのX軸負方向側の端部は、第4低音速領域18DのZ'軸正方向側の端部と重なっている。

[0060] 平面視において、第1低音速領域18Aにおける第1励振電極14aの中央部とは反対側に位置する外縁部は、質量付加膜20の後述する第1部分21における第1励振電極14aの中央部とは反対側に位置する外縁部（後述

する外縁部21A)と重なっている。第2低音速領域18Bにおける第1励振電極14aの中央部とは反対側に位置する外縁部は、質量付加膜20の後述する第2部分22における第1励振電極14aの中央部とは反対側に位置する外縁部(後述する外縁部22A)と重なっている。第3低音速領域18Cにおける第1励振電極14aの中央部とは反対側に位置する外縁部は、質量付加膜20の後述する第3部分23における第1励振電極14aの中央部とは反対側に位置する外縁部(後述する外縁部23A)と重なっている。第4低音速領域18Dにおける第1励振電極14aの中央部とは反対側に位置する外縁部は、質量付加膜20の後述する第4部分24における第1励振電極14aの中央部とは反対側に位置する外縁部(後述する外縁部24A)と重なっている。

[0061] 平面視において、第1低音速領域18Aにおける第1励振電極14aの中央部側に位置する内縁部は、質量付加膜20の後述する第1部分21における第1励振電極14aの中央部側に位置する内縁部(後述する内縁部21B)と重なっている。第2低音速領域18Bにおける第1励振電極14aの中央部側に位置する内縁部は、質量付加膜20の後述する第2部分22における第1励振電極14aの中央部側に位置する内縁部(後述する内縁部22B)と重なっている。第3低音速領域18Cにおける第1励振電極14aの中央部側に位置する内縁部は、質量付加膜20の後述する第3部分23における第1励振電極14aの中央部側に位置する内縁部(後述する内縁部23B)と重なっている。第4低音速領域18Dにおける第1励振電極14aの中央部側に位置する内縁部は、質量付加膜20の後述する第4部分24における第1励振電極14aの中央部側に位置する内縁部(後述する内縁部24B)と重なっている。

[0062] 平面視において、第1励振電極14aの後述する外縁部71、及び、第2励振電極14bの後述する外縁部81は、両方とも、第1低音速領域18Aの外縁部よりも、第1励振電極14aの中央部から離れている。外縁部81は、外縁部71よりも、第1励振電極14aの中央部から離れている。第1

励振電極 1 4 a の後述する外縁部 7 2、及び、第 2 励振電極 1 4 b の後述する外縁部 8 2 は、両方とも、第 2 低音速領域 1 8 B の外縁部よりも、第 1 励振電極 1 4 a の中央部から離れている。外縁部 8 2 は、外縁部 7 2 よりも、第 1 励振電極 1 4 a の中央部から離れている。第 1 励振電極 1 4 a の後述する外縁部 7 3、及び、第 2 励振電極 1 4 b の後述する外縁部 8 3 は、両方とも、第 3 低音速領域 1 8 C の外縁部よりも、第 1 励振電極 1 4 a の中央部から離れている。外縁部 8 3 は、外縁部 7 3 よりも、第 1 励振電極 1 4 a の中央部から離れている。第 1 励振電極 1 4 a の後述する外縁部 7 4、及び、第 2 励振電極 1 4 b の後述する外縁部 8 4 は、両方とも、第 4 低音速領域 1 8 D の外縁部よりも、第 1 励振電極 1 4 a の中央部から離れている。外縁部 8 4 は、外縁部 7 3 よりも、第 1 励振電極 1 4 a の中央部から離れている。

[0063] なお、低音速領域の形状は上記に限定されるものではない。第 3 低音速領域及び第 4 低音速領域が省略されてもよい。すなわち、高音速領域、第 1 低音速領域及び第 2 低音速領域は、X 軸方向に沿って互いに平行に延在する帯状に設けられてもよい。また、第 1 低音速領域及び第 2 低音速領域が省略され、高音速領域、第 3 低音速領域及び第 4 低音速領域が Z' 軸方向に沿って互いに平行に延在する帯状に設けられてもよい。また、第 1 低音速領域の X 軸正方向側の端部は第 3 低音速領域から離間していてもよく、第 1 低音速領域の X 軸負方向側の端部は第 4 低音速領域から離間していてもよい。第 2 低音速領域の X 軸正方向側の端部は第 3 低音速領域から離間していてもよく、第 2 低音速領域の X 軸負方向側の端部は第 4 低音速領域から離間していてもよい。

[0064] また、第 1 低音速領域、第 2 低音速領域、第 3 低音速領域及び第 4 低音速領域の位置関係は上記に限定されるものではない。第 1 低音速領域が高音速領域の Z' 軸正方向側に隣接し、第 2 低音速領域が高音速領域の Z' 軸負方向側に隣接してもよい。第 3 低音速領域が高音速領域の X 軸負方向側に隣接し、第 4 低音速領域が高音速領域の X 軸正方向側に隣接してもよい。第 1 低音速領域及び第 2 低音速領域のうち、一方が高音速領域の X 軸負方向側に隣

接し、他方が高音速領域のX軸正方向側に隣接してもよい。第3低音速領域及び第4低音速領域のうち、一方が高音速領域のZ'軸負方向側に隣接し、他方が高音速領域のZ'軸正方向側に隣接してもよい。

[0065] 図5に示すように、平面視において、外側高音速領域19は、質量付加膜20の外縁部と第1励振電極14aの外縁部との間の領域において、第1励振電極14aの外縁部に沿って設けられている。外側高音速領域19は、低音速領域18を囲む枠状に設けられている。外側高音速領域19は、第1外側高音速領域19A、第2外側高音速領域19B、第3外側高音速領域19C及び第4外側高音速領域19Dを有している。

[0066] 第1外側高音速領域19Aは、第1低音速領域18AのZ'軸負方向側に隣接し、X軸方向に沿って延在している。第2外側高音速領域19Bは、第2低音速領域18BのZ'軸正方向側に隣接し、X軸方向に沿って延在している。第3外側高音速領域19Cは、第3低音速領域18CのX軸正方向側に隣接し、Z'軸方向に沿って延在している。第4外側高音速領域19Dは、第4低音速領域18DのX軸負方向側に隣接し、Z'軸方向に沿って延在している。第1外側高音速領域19AのX軸正方向側の端部は、第3外側高音速領域19CのZ'軸負方向側の端部に接続し、第1外側高音速領域19AのX軸負方向側の端部は、第4外側高音速領域19DのZ'軸負方向側の端部に接続している。第2外側高音速領域19BのX軸正方向側の端部は、第3外側高音速領域19CのZ'軸正方向側の端部に接続し、第2外側高音速領域19BのX軸負方向側の端部は、第4外側高音速領域19DのZ'軸正方向側の端部に接続している。

[0067] 平面視において、第1外側高音速領域19AのX軸正方向側の端部は、第3外側高音速領域19CのZ'軸負方向側の端部と重なっており、第1外側高音速領域19AのX軸負方向側の端部は、第4外側高音速領域19DのZ'軸負方向側の端部と重なっている。第2外側高音速領域19BのX軸正方向側の端部は、第3外側高音速領域19CのZ'軸正方向側の端部と重なっており、第2外側高音速領域19BのX軸負方向側の端部は、第4外側高音

速領域 19D の Z' 軸正方向側の端部と重なっている。

[0068] なお、外側高音速領域の形状は上記に限定されるものではない。第3外側高音速領域及び第4外側高音速領域が省略されてもよい。すなわち、第1外側高音速領域及び第2外側高音速領域は、X軸方向に沿って互いに平行に延在する帯状に設けられてもよい。このとき、第1外側高音速領域及び第2外側高音速領域は、平面視において第1励振電極のX軸負方向側の端部からX軸正方向側の端部に亘って設けられてもよい。また、第1外側高音速領域及び第2外側高音速領域が省略され、第3外側高音速領域及び第4外側高音速領域がZ'軸方向に沿って互いに平行に延在する帯状に設けられてもよい。このとき、第3外側高音速領域及び第4外側高音速領域は、平面視において第1励振電極のZ'軸負方向側の端部からZ'軸正方向側の端部に亘って設けられてもよい。また、第1外側高音速領域は、第3外側高音速領域から離間していてもよく、第4外側高音速領域から離間していてもよい。第2外側高音速領域は、第3外側高音速領域から離間していてもよく、第4外側高音速領域から離間していてもよい。

[0069] 高音速領域17、低音速領域18及び外側高音速領域19には、水晶片11、第1励振電極14a及び第2励振電極14bが設けられている。低音速領域18には、さらに質量付加膜20が設けられている。質量付加膜20は、高音速領域17及び外側高音速領域19を避けて設けられている。つまり、質量付加膜20の平面形状は、低音速領域18に重なる枠状である。

[0070] 第1励振電極14aは、外縁部71, 72, 73, 74を有している。外縁部71は、平面視したときの第1励振電極14aの四辺の縁部のうち、Z'軸負方向側においてX軸に沿って延在する一辺の縁部である。外縁部72はZ'軸正方向側においてX軸に沿って延在する一辺の縁部であり、外縁部73はX軸正方向側においてZ'軸に沿って延在する一辺の縁部であり、外縁部74はX軸負方向側においてZ'軸に沿って延在する一辺の縁部である。

[0071] 第2励振電極14bは、外縁部81, 82, 83, 84を有している。外

縁部 81 は、平面視したときの第 1 励振電極 14 a の四辺の縁部のうち、Z' 軸負方向側において X 軸に沿って延在する一辺の縁部である。外縁部 82 は Z' 軸正方向側において X 軸に沿って延在する一辺の縁部であり、外縁部 83 は X 軸正方向側において Z' 軸に沿って延在する一辺の縁部であり、外縁部 84 は X 軸負方向側において Z' 軸に沿って延在する一辺の縁部である。

[0072] 質量付加膜 20 は、第 1 部分 21、第 2 部分 22、第 3 部分 23 及び第 4 部分 24 を含んでいる。第 1 部分 21 は、第 1 低音速領域 18 A において、第 1 励振電極 14 a の上に設けられている。第 2 部分 22 は、第 2 低音速領域 18 B において、第 1 励振電極 14 a の上に設けられている。第 3 部分 23 は、第 3 低音速領域 18 C において、第 1 励振電極 14 a の上に設けられている。第 4 部分 24 は、第 4 低音速領域 18 D において、第 1 励振電極 14 a の上に設けられている。

[0073] 第 1 部分 21 は、高音速領域 17 を避けて、高音速領域 17 の Z' 軸負方向側に位置する第 1 励振電極 14 a の外縁部 71 に沿って設けられている。第 2 部分 22 は、高音速領域 17 を避けて、高音速領域 17 の Z' 軸正方向側に位置する第 1 励振電極 14 a の外縁部 72 に沿って設けられている。第 3 部分 23 は、高音速領域 17 を避けて、高音速領域 17 の X 軸正方向側に位置する第 1 励振電極 14 a の外縁部 73 に沿って設けられている。第 4 部分 24 は、高音速領域 17 を避けて、高音速領域 17 の X 軸負方向側に位置する第 1 励振電極 14 a の外縁部 74 に沿って設けられている。平面視において、第 1 部分 21 は外縁部 71 から離間し、第 2 部分 22 は外縁部 72 から離間し、第 3 部分 23 は外縁部 73 から離間し、第 4 部分 24 は外縁部 74 から離間している。

[0074] 第 1 部分 21 は、外側高音速領域 19 の側に位置する外縁部 21 A と、高音速領域 17 の側に位置する内縁部 21 B とを有している。第 2 部分 22 は、外側高音速領域 19 の側に位置する外縁部 22 A と、高音速領域 17 の側に位置する内縁部 22 B とを有している。第 3 部分 23 は、外側高音速領域

19の側に位置する外縁部23Aと、高音速領域17の側に位置する内縁部23Bとを有している。第4部分24は、外側高音速領域19の側に位置する外縁部24Aと、高音速領域17の側に位置する内縁部24Bとを有している。

[0075] 外縁部21A, 22A, 23A, 24Aは、低音速領域18と外側高音速領域19との境界に位置する。内縁部21B, 22B, 23B, 24Bは、高音速領域17と低音速領域18との境界に位置する。外縁部21AのX軸正方向側の端部は、外縁部23AのZ'軸負方向側の端部に接続し、外縁部21AのX軸負方向側の端部は、外縁部24AのZ'軸負方向側の端部に接続している。外縁部22AのX軸正方向側の端部は、外縁部23AのZ'軸正方向側の端部に接続し、外縁部22AのX軸負方向側の端部は、外縁部24AのZ'軸正方向側の端部に接続している。内縁部21BのX軸正方向側の端部は、内縁部23BのZ'軸負方向側の端部に接続し、内縁部21BのX軸負方向側の端部は、内縁部24BのZ'軸負方向側の端部に接続している。内縁部22BのX軸正方向側の端部は、内縁部23BのZ'軸正方向側の端部に接続し、内縁部22BのX軸負方向側の端部は、内縁部24BのZ'軸正方向側の端部に接続している。

[0076] 図5に示すように、平面視において、第1励振電極14aの外縁部71, 72は、第2励振電極14bに重なっている。第1励振電極14aの外縁部71, 72は、第2励振電極14bの外縁部81と外縁部82との間に位置している。第1励振電極14aの外縁部71は、第2励振電極14bの外縁部81と、質量付加膜20の第1部分21の外縁部21Aとの間に位置している。第1励振電極14aの外縁部72は、第2励振電極14bの外縁部82と、質量付加膜20の第2部分22の外縁部22Aとの間に位置している。同様に、第1励振電極14aの外縁部73, 74は、第2励振電極14bに重なっている。第1励振電極14aの外縁部73, 74は、第2励振電極14bの外縁部83と外縁部84との間に位置している。第1励振電極14aの外縁部73は、第2励振電極14bの外縁部83と、質量付加膜20の

第3部分23の外縁部23Aとの間に位置している。第1励振電極14aの外縁部74は、第2励振電極14bの外縁部84と、質量付加膜20の第4部分24の外縁部24Aとの間に位置している。

[0077] 図4に示すように、質量付加膜20の第1部分21の外縁部21Aと第2部分22の外縁部22Aとの間のZ'軸方向に沿った距離を長さAとする。質量付加膜20の第1部分21の内縁部21Bと第2部分22の内縁部22Bとの間のZ'軸方向に沿った距離を長さA'とする。第1励振電極14aの外縁部71と外縁部72との間のZ'軸方向に沿った距離を長さBとする。質量付加膜20の第1部分21の外縁部21Aと第1励振電極14aの外縁部71との間のZ'軸方向に沿った距離を長さB1とする。質量付加膜20の第2部分22の外縁部22Aと第1励振電極14aの外縁部72との間のZ'軸方向に沿った距離を長さB2とする。第2励振電極14bの外縁部81と外縁部82との間のZ'軸方向に沿った距離を長さCとする。第1励振電極14aの外縁部71と第2励振電極14bの外縁部81との間のZ'軸方向に沿った距離を長さC1とする。第1励振電極14aの外縁部72と第2励振電極14bの外縁部82との間のZ'軸方向に沿った距離を長さC2とする。質量付加膜20の第1部分21の外縁部21Aと内縁部21Bとの間のZ'軸方向に沿った距離を長さD1とし、質量付加膜20の第2部分22の外縁部22Aと内縁部22Bとの間のZ'軸方向に沿った距離を長さD2とする。第1低音速領域18Aにおける第2低音速領域18Bとは反対側の外縁部と、第2低音速領域18Bにおける第1低音速領域18Aとは反対側の外縁部との間のZ'軸方向に沿った距離を長さEとする。高音速領域17における第1低音速領域18A側の外縁部と第2低音速領域18B側の外縁部との間のZ'軸方向に沿った距離を長さE'とする。言い換えると、長さE'は、第1低音速領域18Aの第2低音速領域18B側の内縁部と、第2低音速領域18Bの第1低音速領域18A側の内縁部との間のZ'軸方向に沿った距離である。第1低音速領域18Aにおける、第2低音速領域18Bとは反対側の外縁部と、第2低音速領域18B側の外縁部との間のZ'

軸方向に沿った距離を長さE1とする。第2低音速領域18Bにおける、第1低音速領域18Aとは反対側の外縁部と、第1低音速領域18A側の外縁部との間のZ'軸方向に沿った距離を長さE2とする。

[0078] 長さAは、質量付加膜20のZ'軸方向に沿った寸法に相当する。長さA'は、高音速領域17のZ'軸方向に沿った寸法に相当する。長さBは、第1励振電極14aのZ'軸方向に沿った寸法に相当し、高音速領域17、第1低音速領域18A、第2低音速領域18B、第1外側高音速領域19A及び第2外側高音速領域19BのZ'軸方向に沿った寸法の総和に相当する。長さB1は、第1外側高音速領域19AのZ'軸方向に沿った寸法に相当し、長さB2は、第2外側高音速領域19BのZ'軸方向に沿った寸法に相当する。長さCは、第2励振電極14bのZ'軸方向に沿った寸法に相当する。長さC1は、平面視において第2励振電極14bにおける第1励振電極14aからZ'軸負方向側に延出した部分の、Z'軸方向に沿った寸法に相当する。長さC2は、平面視において第2励振電極14bにおける第1励振電極14aからZ'軸正方向側に延出した部分の、Z'軸方向に沿った寸法に相当する。長さD1は、質量付加膜20の第1部分21のZ'軸方向に沿った寸法に相当し、長さD2は、質量付加膜20の第2部分22のZ'軸方向に沿った寸法に相当する。長さEは、高音速領域17及び低音速領域18のZ'軸方向に沿った寸法の和に相当する。長さE'は、高音速領域17のZ'軸方向に沿った寸法に相当する。長さE1は、第1低音速領域18AのZ'軸方向に沿った寸法に相当する。長さE2は、第2低音速領域18BのZ'軸方向に沿った寸法に相当する。

[0079] 図5に示すように、質量付加膜20の外縁部21A、22Aが平面視においてX軸方向に対して平行な場合、長さAは、外縁部21Aと外縁部22Aとの間のZ'軸方向における距離を測定することによって特定される。質量付加膜20の内縁部21B、22Bが平面視においてX軸方向に対して平行な場合、長さA'は、内縁部21Bと内縁部22Bとの間のZ'軸方向における距離を測定することによって特定される。

[0080] 図5に示すように、第1励振電極14aの外縁部71, 72が平面視においてX軸方向に対して平行な場合、長さBは、外縁部71と外縁部72との間のZ'軸方向における距離を測定することによって特定される。質量付加膜20の外縁部21A, 22A及び第1励振電極14aの外縁部71, 72が平面視においてX軸方向に対して平行な場合、長さB1は、外縁部21Aと外縁部71との間のZ'軸方向における距離を測定することによって特定され、長さB2は、外縁部22Aと外縁部72との間のZ'軸方向における距離を測定することによって特定される。

[0081] 図5に示すように、第2励振電極14bの外縁部81, 82が平面視においてX軸方向に対して平行な場合、長さCは、外縁部81と外縁部82との間のZ'軸方向における距離を測定することによって特定される。第1励振電極14aの外縁部71, 72及び第2励振電極14bの外縁部81, 82が平面視においてX軸方向に対して平行な場合、長さC1は、外縁部71と外縁部81との間のZ'軸方向における距離を測定することによって特定され、長さC2は、外縁部72と外縁部82との間のZ'軸方向における距離を測定することによって特定される。

[0082] 図5に示すように、質量付加膜20の外縁部21A, 22A及び内縁部21B, 22Bが平面視においてX軸方向に対して平行な場合、長さD1は、外縁部21Aと内縁部21Bとの間のZ'軸方向における距離を測定することによって特定され、長さD2は、外縁部22Aと内縁部22Bとの間のZ'軸方向における距離を測定することによって特定される。

[0083] 図5に示すように、質量付加膜20の外縁部21A, 22A及び内縁部21B, 22Bが平面視においてX軸方向に対して平行な場合、長さEは、外縁部21Aと外縁部22Aとの間のZ'軸方向における距離を測定することによって特定される。また、長さE'は、内縁部21Bと内縁部22Bとの間のZ'軸方向における距離を測定することによって特定され、長さE1は、外縁部21Aと内縁部21Bとの間のZ'軸方向における距離を測定することによって特定され、長さE2は、外縁部22Aと内縁部22Bとの間の

Z' 軸方向における距離を測定することによって特定される。

[0084] 但し、質量付加膜 20 の平面形状が多角形状、円形状、楕円形状又はこれらの組み合わせである場合など、質量付加膜 20 の外縁部 21 A, 22 A が平面視において平行ではない場合、長さ A は、上記以外の方法によって特定される。例えば、長さ A は、外縁部 21 A と外縁部 22 A との間の距離の最大値として特定されてもよい。長さ A は、外縁部 21 A と外縁部 22 A との間の距離の平均値又は最小値として特定されてもよい。また、長さ A は、質量付加膜 20 の外縁部 21 A, 22 A, 23 A, 24 A によって囲まれた領域の面積を、外縁部 23 A と外縁部 24 A との間の X 軸方向における距離で除算することによって特定してもよい。また、長さ A は、平面視において質量付加膜 20 の内縁部 23 B 又は内縁部 23 B に接して Z' 軸方向に延在する接線上における、外縁部 21 A と外縁部 22 A との間の距離を測定することによって特定されてもよい。長さ A', B, B1, B2, C, C1, C2, D1, D2, E, E', E1, E2 についても、長さ A と同様に特定してもよい。

[0085] 本実施形態においては、長さ E と長さ A とは略等しく ($E = A$)、長さ E' と長さ A' とは略等しい ($E' = A'$)。長さ E1 と長さ D1 とは略等しく ($E1 = D1$)、長さ E2 と長さ D2 とは略等しい ($E2 = D2$)。長さ E1 と長さ E2 とは略等しい ($E1 = E2$)。具体的には、 $E1 = E2 = (1 \pm 0.04) \times (E - E') / 2$ の関係が成り立つ。長さ E1 及び長さ E2 は、長さ A' よりも大きい ($A' < E1$ 、及び、 $A' < E2$)。但し、長さ E1 及び長さ E2 は、長さ A' と略等しくてもよく、長さ A' よりも小さくてもよい。

[0086] 本実施形態においては、長さ A は長さ B よりも小さく、長さ B は長さ C よりも小さい ($A < B < C$)。長さ B1 と長さ B2 とは略等しい ($B1 = B2$)。具体的には、 $B1 = B2 = (1 \pm 0.10) \times (B - A) / 2$ の関係が成り立つ。長さ C1 と長さ C2 とは略等しい ($C1 = C2$)。具体的には、 $C1 = C2 = (1 \pm 0.10) \times (C - B) / 2$ の関係が成り立つ。一例と

して、長さ C_1 は長さ B_1 より大きく ($B_1 < C_1$)、長さ C_2 は長さ B_2 より大きい ($B_2 < C_2$)。長さ D_1 と長さ D_2 とは略等しい ($D_1 = D_2$)。具体的には、 $D_1 = D_2 = (1 \pm 0.04) \times (A - A') / 2$ の関係が成り立つ。一例として、長さ D_1 は長さ A' 以上の大きさであり ($A' \leq D_1$)、長さ D_2 は長さ A' 以上の大きさである ($A' \leq D_2$)。長さ B に対する長さ A' の割合 A' / B は、例えば 0.02 以上である ($0.02 \leq A' / B$)。望ましくは、 $0.05 \leq A' / B \leq 0.5$ の関係が成り立つ。さらに望ましくは、 $0.20 \leq A' / B \leq 0.47$ の関係が成り立つ。

[0087] なお、 $A < B < C$ の関係が成り立つのであれば、長さ A , A' , B , B_1 , B_2 , C , C_1 , C_2 , D_1 , D_2 の大小関係は上記に限定されるものではない。例えば、 $B_1 < B_2$ 又は $B_2 < B_1$ の関係が成り立ってもよく、 $C_1 < C_2$ 又は $C_2 < C_1$ の関係が成り立ってもよい。 $C_1 \leq B_1$ の関係が成り立ってもよく、 $C_2 \leq B_2$ の関係が成り立ってもよい。 $D_1 < D_2$ 又は $D_2 < D_1$ の関係が成り立ってもよい。 $D_1 < A'$ の関係が成り立ってもよく、 $D_2 < A'$ の関係が成り立ってもよい。

[0088] 図4に示すように、水晶片11の厚さを T_p とし、第1励振電極14aの厚さを T_{e1} とし、第2励振電極14bの厚さを T_{e2} とし、質量付加膜20の厚さを T_f とする。第1励振電極14aと質量付加膜20との材質が同一で境界が不明確である場合、質量付加膜20の厚さ T_f は、高音速領域17における第1励振電極14aの表面と、低音速領域18における質量付加膜20の表面との間の Y' 軸方向に沿った距離として特定してもよい。また、質量付加膜20の厚さ T_f は、質量付加膜20の外縁部21A, 22A, 23A, 24Aにおける段差の高さとして特定されてもよく、質量付加膜20の内縁部21B, 22B, 23B, 24Bにおける段差の高さとして特定されてもよい。但し、外縁部21A, 22A, 23A, 24Aにおける段差の高さと内縁部21B, 22B, 23B, 24Bにおける段差の高さとが異なる場合には、質量付加膜20の厚さ T_f は、内縁部21B, 22B, 23B, 24Bにおける段差の高さとして特定される。

[0089] 厚さ T_p は、高音速領域17、低音速領域18及び外側高音速領域19に亘って略一定である。同様に、厚さ T_{e1} 、 T_{e2} は、高音速領域17、低音速領域18及び外側高音速領域19に亘って略一定である。厚さ T_f は、低音速領域18の全域に亘って略一定である。つまり、第1部分21、第2部分22、第3部分23及び第4部分24の厚さは略等しい。厚さ T_{e1} と厚さ T_{e2} とは略等しく($T_{e1} = T_{e2}$)、厚さ T_f は厚さ T_{e1} よりも小さい($T_f < T_{e1}$)。例えば、厚さ T_{e1} 、 T_{e2} は $0.05 \mu\text{m}$ 程度であり、厚さ T_f は $0.02 \mu\text{m}$ 程度である。

[0090] なお、厚さの大小関係は上記に限定されるものではない。例えば、厚さ T_f は厚さ T_{e1} と同様以上の大きさであってもよい($T_{e1} \leq T_f$)。厚さ T_{e1} は厚さ T_{e2} よりも小さくてもよく($T_{e1} < T_{e2}$)、厚さ T_{e1} は厚さ T_{e2} よりも大きくてもよい($T_{e2} < T_{e1}$)。

[0091] 図5に示すように、水晶片11のX軸方向に沿った寸法を長さ P_x とし、水晶片11のZ'軸方向に沿った寸法を長さ P_z とする。第1励振電極14aのX軸方向に沿った寸法を長さ X_{e1} とし、第1励振電極14aのZ'軸方向に沿った寸法を長さ Z_{e1} とする。第2励振電極14bのX軸方向に沿った寸法を長さ X_{e2} とし、第2励振電極14bのZ'軸方向に沿った寸法を長さ Z_{e2} とする。質量付加膜20の第1部分21の外縁部21Aと第1励振電極14a外縁部71との間のZ'軸方向に沿った距離を長さ W_{gz} とする。質量付加膜20の第2部分22の外縁部22Aと第1励振電極14a外縁部72との間のZ'軸方向に沿った距離を長さ W_{gz} とする。質量付加膜20の第1部分21の内縁部21Bと第1励振電極14aの外縁部71との間のZ'軸方向に沿った距離を長さ W_z とする。質量付加膜20の第2部分22の内縁部22Bと第1励振電極14aの外縁部72との間のZ'軸方向に沿った距離を長さ W_z とする。質量付加膜20の第3部分23の外縁部23Aと第1励振電極14a外縁部73との間のX軸方向に沿った距離を長さ W_{gx} とする。質量付加膜20の第4部分24の外縁部24Aと第1励振電極14a外縁部74との間のX軸方向に沿った距離を長さ W_{gx} とする。

質量付加膜20の第3部分23の内縁部23Bと第1励振電極14aの外縁部73との間のX軸方向に沿った距離を長さ W_x とする。質量付加膜20の第4部分24の内縁部24Bと第1励振電極14aの外縁部74との間のX軸方向に沿った距離を長さ W_x とする。質量付加膜20の第1部分21と第2部分22との間のZ'軸方向に沿った距離を長さ Z_f とし、質量付加膜20の第3部分23と第4部分24との間のX軸方向に沿った距離を長さ X_f とする。

[0092] 長さ Z_{e2} は長さCに相当する ($Z_{e2} = C$)。長さ Z_{e1} は長さBに相当する ($Z_{e1} = B$)。長さ W_{gz} は長さ B_1 , B_2 に相当する ($W_{gz} = B_1 = B_2$)。長さ W_z は、長さ B_1 と長さ D_1 との和、及び、長さ B_2 と長さ D_2 との和に相当する ($W_z = B_1 + D_1 = B_2 + D_2$)。長さ Z_f は長さ A' に相当する ($Z_f = A'$)。質量付加膜20のZ'軸方向に沿った寸法は、 $2 \times W_z + Z_f - 2 \times W_{gz}$ と表すことができ、第2励振電極14bのZ'軸方向に沿った寸法 Z_{e2} 以下の大きさである ($2 \times W_z + Z_f - 2 \times W_{gz} \leq Z_{e2}$)。また、質量付加膜20のX軸方向に沿った寸法は、 $2 \times W_x + X_f - 2 \times W_{gx}$ と表すことができ、第2励振電極14bのX軸方向に沿った寸法 X_{e2} 以下の大きさである ($2 \times W_x + X_f - 2 \times W_{gx} \leq X_{e2}$)。長さ W_{gz} は、例えば、長さ W_{gx} と略等しい大きさである ($W_{gz} = W_{gx}$)。但し、長さ W_{gz} は長さ W_{gx} よりも小さくてもよく ($W_{gz} < W_{gx}$)、長さ W_{gz} は長さ W_{gx} よりも大きくてもよい ($W_{gx} < W_{gz}$)。

[0093] 次に、図6乃至図16を参照しつつ、第1実施形態に基づく実施例のシミュレーション結果について説明する。図6は、第1実施形態に基づくシミュレーションの条件を示す表である。図7乃至図16は、第1実施形態に基づくシミュレーション結果を示すグラフである。

[0094] (第1実施例)

$$T_p = 1.52 \mu m$$

$$T_f = 0.02 \mu m$$

$$T_{e1} = T_{e2} = 0.08 \mu\text{m}$$

$$P_x = P_z = 120 \mu\text{m}$$

$$X_f = Z_f = 20 \mu\text{m}$$

$$W_x = 40 \mu\text{m}$$

$$W_z = 30 \mu\text{m}$$

W_{gx} : 変数

W_{gz} : 変数

$$X_{e1} = 100 \mu\text{m}$$

$$Z_{e1} = 80 \mu\text{m}$$

$$X_{e2} = 104 \mu\text{m}$$

$$Z_{e2} = 84 \mu\text{m}$$

(第1' 実施例)

$$W_{gx} = W_{gz} = 2 \mu\text{m}$$

X_{e2} : 変数

Z_{e2} : 変数

上記以外は第1 実施例と同じである。

[0095] (第2 実施例)

$$T_p = 1.00 \mu\text{m}$$

$$T_f = 0.02 \mu\text{m}$$

$$T_{e1} = T_{e2} = 0.05 \mu\text{m}$$

$$P_x = P_z = 100 \mu\text{m}$$

$$X_f = 12 \mu\text{m}$$

$$Z_f = 28 \mu\text{m}$$

$$W_x = 24 \mu\text{m}$$

$$W_z = 16 \mu\text{m}$$

W_{gx} : 変数

W_{gz} : 変数

$$X_{e1} = Z_{e1} = 60 \mu\text{m}$$

$$X_{e2} = Z_{e2} = 64 \mu\text{m}$$

(第2' 実施例)

$$W_{gx} = W_{gz} = 2 \mu\text{m}$$

X_{e2} : 変数

Z_{e2} : 変数

上記以外は第2実施例と同じである。

[0096] (第3実施例)

$$T_p = 1.00 \mu\text{m}$$

$$T_f = 0.02 \mu\text{m}$$

$$T_{e1} = T_{e2} = 0.05 \mu\text{m}$$

$$P_x = P_z = 100 \mu\text{m}$$

$$X_f = 19 \mu\text{m}$$

$$Z_f = 30 \mu\text{m}$$

$$W_x = 28 \mu\text{m}$$

$$W_z = 20 \mu\text{m}$$

W_{gx} : 変数

W_{gz} : 変数

$$X_{e1} = 75 \mu\text{m}$$

$$Z_{e1} = 70 \mu\text{m}$$

$$X_{e2} = 79 \mu\text{m}$$

$$Z_{e2} = 74 \mu\text{m}$$

(第3' 実施例)

$$W_{gx} = W_{gz} = 2 \mu\text{m}$$

X_{e2} : 変数

Z_{e2} : 変数

上記以外は第3実施例と同じである。

[0097] 図7は、第1実施例に基づくシミュレーション結果を示している。縦軸はメインモードであるS0モードの電気機械結合係数k（以下、「 k_{S0} 」

ともいう。)を示し、横軸は $W_g x = W_g z$ を示している。グラフ中には、第1実施例($W_x = 40 \mu\text{m}$ 、 $W_z = 30 \mu\text{m}$)における k_{S0} のシミュレーション結果、第1実施例を基に $W_x = 30 \mu\text{m}$ 、 $W_z = 25 \mu\text{m}$ に変更した構成における k_{S0} のシミュレーション結果、及び、第1実施例を基に $W_x = 25 \mu\text{m}$ 、 $W_z = 20 \mu\text{m}$ に変更した構成における k_{S0} のシミュレーション結果、をプロットしている。 $T_f = 0$ 、すなわち質量付加膜20を設けていない構成の場合、 k_{S0} は6.8%程度である。なお、次式 $X_f = X_{e1} - W_x \times 2$ 、 $Z_f = Z_{e1} - W_z \times 2$ によって X_f 及び Z_f は決定されるため、 W_x 及び W_z と連動して X_f 及び Z_f は変化している。

[0098] 第1実施例において、 $B' = W_g x = W_g z \leq 8 \mu\text{m}$ のとき、 k_{S0} は、 $T_f = 0$ の場合の6.8%よりも向上している。第1実施例の構成から、 W_x 及び W_z を変更しても、同様の傾向が得られる。少なくとも、 X_{e1} に対する W_x の割合が25%以上40%以下であって、且つ、 Z_{e1} に対する W_z の割合が25%以上37.5%以下である場合、 W_x 及び W_z の大きさに依らず、 $B' = W_g x = W_g z < 8 \mu\text{m}$ のとき $6.8\% < k_{S0}$ となり、 $B' = W_g x = W_g z \leq 7 \mu\text{m}$ のとき $6.8\% < k_{S0}$ となる。

[0099] なお、質量付加膜の平面形状が周方向に連続した矩形の枠状である場合、 W_x 及び W_z の大きさに依らず $B' = W_g x = W_g z < 8 \mu\text{m}$ のとき $6.8\% < k_{S0}$ となる条件は、第1励振電極の面積に対する質量付加膜の面積比率で表すとすると、当該面積比率が75%以上95%以下となることである。また、質量付加膜の平面形状がX軸方向に並行する2本の帯状である場合、 W_z の大きさに依らず $B' = W_g z < 8 \mu\text{m}$ のとき $6.8\% < k_{S0}$ となる条件は、当該面積比率が50%以上80%以下となることである。同様に、質量付加膜の平面形状がZ'軸方向に並行する2本の帯状である場合、 W_x の大きさに依らず $B' = W_g x < 8 \mu\text{m}$ のとき $6.8\% < k_{S0}$ となる条件は、当該面積比率が50%以上80%以下となることである。

[0100] 図8は、第1実施例に基づくシミュレーション結果を示している。図9は、第2実施例に基づくシミュレーション結果を示している。図8及び図9に

において、縦軸はスプリアモードであるA0モードの電気機械結合係数 k_{A0} （以下、「 k_{A0} 」ともいう。）を示し、横軸は $Wg_x = Wg_z$ を示している。図8及び図9のグラフ中には、質量付加膜20及び第2励振電極14bの位置ずれが生じていない構成における k_{A0} のシミュレーション結果、及び、位置ずれが生じている構成における k_{A0} のシミュレーション結果、をプロットしている。位置ずれが生じている構成における k_{A0} のシミュレーション結果は、質量付加膜20がX軸正方向及びZ'軸正方向に $0.5\mu\text{m}$ ずつ位置ずれし、第2励振電極14bがX軸負方向及びZ'軸負方向に $0.5\mu\text{m}$ ずつ位置ずれした想定でシミュレーションを行っている。

[0101] 図8及び図9のどちらにおいても、 $2\mu\text{m} \leq B' = Wg_x = Wg_z \leq 10\mu\text{m}$ の範囲において、位置ずれありの構成における k_{A0} は、位置ずれなしの構成における k_{A0} と略等しくなる。つまり、 $2\mu\text{m} \leq B' = Wg_x = Wg_z \leq 10\mu\text{m}$ の範囲において、第1励振電極14a、第2励振電極14b及び質量付加膜20の寸法及び位置ずれに依らず、 k_{A0} の増大は抑制される。

[0102] 図10は、第1実施例に基づくシミュレーション結果を示している。縦軸はQ値を示し、横軸は $Wg_x = Wg_z$ を示している。グラフ中には、質量付加膜20及び第2励振電極14bの位置ずれなしの構成におけるQ値のシミュレーション結果、及び、位置ずれありの構成におけるQ値のシミュレーション結果、をプロットしている。図10における位置ずれありの構成における位置ずれの方向及び量は、図8及び図9における位置ずれありの構成における位置ずれの方向及び量と同じである。

[0103] 位置ずれなしの構成において、Q値は、 $0 < B' = Wg_x = Wg_z \leq 10\mu\text{m}$ の範囲において略変化しない。また、位置ずれありの構成におけるQ値は、位置ずれなしの構成におけるQ値と略等しい。つまり、Q値は、 $B' = Wg_x = Wg_z$ の大きさ及び位置ずれの有無に依らず、略一定である。

[0104] 図11は、第1'実施例に基づくシミュレーション結果を示している。縦

軸は k_{S0} を示し、横軸は $x = C - B = Z e 2 - Z e 1$ を示している。グラフ中には、質量付加膜 20 及び第 2 励振電極 14 b の位置ずれが生じていない構成における k_{S0} のシミュレーション結果、及び、位置ずれが生じている構成における k_{S0} のシミュレーション結果、をプロットしている。図 11 における位置ずれありの構成における位置ずれの方向及び量は、図 8 及び図 9 における位置ずれありの構成における位置ずれの方向及び量と同じである。

[0105] 位置ずれなしの構成において、 k_{S0} は、 $0 < x \leq 10 \mu m$ の範囲において略変化しない。また、 $0 < x \leq 10 \mu m$ の範囲において、位置ずれありの構成における k_{S0} は、位置ずれなしの構成における k_{S0} と略等しい。つまり、 k_{S0} は、 x の大きさ及び位置ずれの有無に依らず、略一定である。

[0106] 図 12 は第 1' 実施例に基づくシミュレーション結果を示し、図 13 は第 2' 実施例に基づくシミュレーション結果を示し、図 14 は第 3' 実施例に基づくシミュレーション結果を示している。図 12 乃至図 14 において、縦軸は k_{A0} を示し、横軸は $x = C - B = Z e 2 - Z e 1$ を示している。図 12 乃至図 14 のグラフ中には、質量付加膜 20 及び第 2 励振電極 14 b の位置ずれが生じていない構成における k_{A0X} 、 k_{A0Z} のシミュレーション結果、及び、位置ずれが生じている構成における k_{A0X} 、 k_{A0Z} のシミュレーション結果、をプロットしている。図 12 乃至図 14 における位置ずれありの構成における位置ずれの方向及び量は、図 8 及び図 9 における位置ずれありの構成における位置ずれの方向及び量と同じである。

[0107] 図 12 において、 k_{A0X} 、 k_{A0Z} のいずれも、 $3 \mu m \leq x \leq 10 \mu m$ の範囲において、十分に低減され、略一定となっている。つまり、 $3 \mu m \leq x \leq 10 \mu m$ の範囲において、A0 モードの励振抑制効果は安定している。また、 $3 \mu m \leq x \leq 10 \mu m$ の範囲において、位置ずれありの構成における k_{A0X} 、 k_{A0Z} は、位置ずれなしの構成における k_{A0X} 、 k_{A0Z} と略等しい。つまり、 $3 \mu m \leq x \leq 10 \mu m$ の範囲において、 k

k_{AOX} , k_{AOZ} は、 x の大きさ及び位置ずれの有無に依らず、略一定である。図13及び図14においても、 k_{AOX} , k_{AOZ} は同様の傾向を示す。つまり、第1励振電極14a、第2励振電極14b及び質量付加膜20の寸法及び位置ずれに依らず、 k_{AO} の増大は抑制される。

[0108] 図15及び図16は第1'実施例に基づくシミュレーション結果を示している。図15及び図16において、縦軸はQ値を示し、横軸は $x = C - B = Z e 2 - Z e 1$ を示している。図15のグラフ中には、質量付加膜20及び第2励振電極14bの位置ずれなしの構成におけるQ値のシミュレーション結果、及び、位置ずれありの構成におけるQ値のシミュレーション結果、をプロットしている。図15における位置ずれありの構成における位置ずれの方向及び量は、図8及び図9における位置ずれありの構成における位置ずれの方向及び量と同じである。図16のグラフ中には、第1実施例($W_x = 40 \mu m$, $W_z = 30 \mu m$)におけるQ値のシミュレーション結果、第1実施例を基に $W_x = 30 \mu m$, $W_z = 25 \mu m$ に変更した構成におけるQ値のシミュレーション結果、及び、第1実施例を基に $W_x = 45 \mu m$, $W_z = 30 \mu m$ に変更した構成におけるQ値のシミュレーション結果、をプロットしている。

[0109] 図15に示すように、位置ずれなしの構成におけるQ値は、 $0 < x \leq 8 \mu m$ の範囲において、 $x = 0 \mu m$ の場合のQ値の80%以上の大きさである。位置ずれありの構成におけるQ値は、位置ずれなしの構成におけるQ値と同様の傾向を示し、位置ずれなしの構成におけるQ値と略等しい。つまり、 $0 < x \leq 8 \mu m$ の範囲においては、位置ずれの有無に依らず、Q値の低下が抑制される。

[0110] 図16に示すように、第1実施例を基に W_x 及び W_z を変更した場合であっても、Q値は同様の傾向を示す。つまり、 $0 < x \leq 8 \mu m$ の範囲においては、第1励振電極14a、第2励振電極14b及び質量付加膜20の寸法に依らず、Q値の低下が抑制される。

[0111] 次に、図17及び図18を参照しつつ、位置ずれの影響について説明する

。図17は、第1実施形態における位置ずれの影響を説明するための図である。図18は、第1実施形態における位置ずれの影響を説明するための図である。図17は、質量付加膜20がZ'軸正方向にdzずれた場合における、水晶振動素子10の断面図である。図18は、第2励振電極14bがZ'軸負方向にdzずれた場合における、水晶振動素子10の断面図である。

[0112] 図17に示すように、質量付加膜20がZ'軸正方向にdzずれた場合における第1外側高音速領域19AのZ'軸方向に沿った長さをB1d1としたとき、長さB1d1は、ずれ量dzの分だけ長さB1よりも大きくなる。つまり、 $B1d1 = B1 + dz$ と表される。質量付加膜20がZ'軸正方向にdzずれた場合における第2外側高音速領域19BのZ'軸方向に沿った長さをB2d1としたとき、長さB2d1は、ずれ量dzの分だけ長さB2よりも小さくなる。つまり、 $B2d1 = B2 - dz$ と表される。

[0113] 図17に示すように、質量付加膜20がZ'軸正方向にdzずれた場合における第1低音速領域18AのZ'軸方向に沿った長さをE1d1としたとき、長さE1d1は、長さE1から変化しない。つまり、 $E1d1 = E1 = D1$ と表される。質量付加膜20がZ'軸正方向にdzずれた場合における第2低音速領域18BのZ'軸方向に沿った長さをE2d1としたとき、長さE2d1は、長さE2から変化しない。つまり、 $E2d1 = E2 = D2$ と表される。このため、本実施形態においては質量付加膜20がZ'軸正方向にdzずれた場合であっても、第1低音速領域18Aと第2低音速領域18BとのZ'軸方向に沿った長さのバランスは変化せず、 $E1d1 = E2d1$ の関係が成り立つ。したがって、質量付加膜20がZ'軸正方向にdzずれたとしても、 k_{A0} の増大は抑制され、 k_{S0} の減少は抑制される。

[0114] なお、 $B2 < dz$ の場合、質量付加膜20の第2部分22は、平面視において第1励振電極14aからZ'軸正方向側に延出する。このため、質量付加膜20の第2部分22が第1励振電極14aに重ならない部分が出てきてしまい、第1低音速領域18A及び第2低音速領域18BのZ'軸方向に沿った長さのバランスは変化する。第1低音速領域18A及び第2低音速領域

18BのZ'軸方向に沿った長さのバランスを保つためには、 $d_z \leq B' = B_1 = B_2$ の関係を満たすことが望ましい。同一面における位置ずれは例えば最大 $0.3 \mu\text{m}$ 程度なので、 $0.5 \mu\text{m} \leq B'$ であることが望ましく、さらに望ましくは $1 \mu\text{m} \leq B'$ であり、さらに望ましくは $2 \mu\text{m} \leq B'$ である。

[0115] 図18に示すように、第2励振電極14bがZ'軸負方向に d_z ずれた場合における第1低音速領域18AのZ'軸方向に沿った長さを $E_1 d_2$ としたとき、長さ $E_1 d_2$ は、長さ E_1 から変化しない。つまり、 $E_1 d_2 = E_1 = D_1$ と表される。第2励振電極14bがZ'軸負方向に d_z ずれた場合における第2低音速領域18BのZ'軸方向に沿った長さを $E_2 d_2$ としたとき、長さ $E_2 d_2$ は、長さ E_2 から変化しない。つまり、 $E_2 d_2 = E_2 = D_2$ と表される。このため、本実施形態においては、第2励振電極14bがZ'軸負方向に d_z ずれた場合であっても、第1低音速領域18A及び第2低音速領域18BのZ'軸方向に沿った長さのバランスは変化せず、 $E_1 d_2 = E_2 d_2$ の関係が成り立つ。したがって、第2励振電極14bがZ'軸負方向に d_z ずれたとしても、 k_{A0} の増大は抑制され、 k_{S0} の減少は抑制される。

[0116] なお、 $C_2 < d_z$ の場合、第2励振電極14bは、平面視において第1励振電極14aからZ'軸正方向側に延出する。このため、第1励振電極14aには、第2励振電極14bと重ならない部分が出てきてしまい、第1外側高音速領域19A及び第2外側高音速領域19BのZ'軸方向に沿った長さのバランスは変化する。第1外側高音速領域19A及び第2外側高音速領域19BのZ'軸方向に沿った長さのバランスを保つためには、 $d_z \leq C' = C_1 = C_2$ の関係を満たすことが望ましい。異なる面における位置ずれは例えば最大 $0.7 \mu\text{m}$ 程度なので、 $1 \mu\text{m} \leq C'$ であることが望ましく、さらに望ましくは $2 \mu\text{m} \leq C'$ であり、さらに望ましくは $4 \mu\text{m} \leq C'$ である。

[0117] 以上説明した通り、本実施形態によれば、第1励振電極14aの上に質量付加膜20が設けられている。質量付加膜20は第1励振電極14aの外縁

部に沿って設けられ、質量付加膜 20 の Z' 軸方向に沿った寸法を A、第 2 励振電極 14 b の Z' 軸方向に沿った寸法を C としたとき、 $A \leq C$ の関係が成り立つ。また、質量付加膜 20 の第 1 部分 21 の外縁部 21 A 及び第 2 部分 22 の外縁部 22 A は、第 2 励振電極 14 b に重なっている。

[0118] これによれば、質量付加膜 20 及び第 2 励振電極 14 b の位置がずれた場合であっても、第 1 低音速領域 18 A 及び第 2 低音速領域 18 B の寸法のバランスの悪化を抑制することができる。したがって、スプリアスモードの電気機械結合係数 k_{A0} の増大を抑制し、メインモードの電気機械結合係数 k_{S0} の減少を抑制することができる。

[0119] また、本実施形態において、質量付加膜 20 の第 1 部分 21 の Z' 軸方向に沿った寸法を D1、質量付加膜 20 の第 2 部分 22 の Z' 軸方向に沿った寸法を D2、質量付加膜 20 の第 1 部分 21 と第 2 部分 22 との間の Z' 軸方向に沿った距離を A としたとき、D1 と D2 とは略等しく、例えば $D1 = (1 \pm 0.04) \times (A - A') / 2 \mu\text{m}$ 、 $D2 = (1 \pm 0.04) \times (A - A') / 2 \mu\text{m}$ である。

[0120] これによれば、A0 モードのスプリアス振動を抑制することができる。

[0121] また、本実施形態において、質量付加膜 20 の第 1 部分 21 と第 2 部分 22 との間の Z' 軸方向に沿った距離を A'、第 1 励振電極 14 a の Z' 軸方向に沿った寸法を B としたとき、 $A' / B \leq 0.5$ の関係が成り立つ。

[0122] これによれば、質量付加膜 20 の第 1 部分 21 又は第 2 部分 22 の面積が広すぎることによって、質量付加膜 20 によるスプリアス振動を低減する効果が低下することを抑制することができる。

[0123] また、本実施形態において、 $0.05 \leq A' / B$ の関係が成り立つ。

[0124] これによれば、質量付加膜 20 が第 1 励振電極 14 a に対して位置ずれを生じた場合に、平面視において質量付加膜 20 の第 1 部分 21 又は第 2 部分 22 の大部分が第 1 励振電極 14 a の外側に延出することを抑制する。つまり、第 1 低音速領域 18 A 及び第 2 低音速領域 18 B の寸法のバランスの悪化を抑制することができる。したがって、 k_{A0} の増大及び k_{S0} の減

少を十分に抑制することができる。

[0125] また、本実施形態において、質量付加膜 20 の第 1 部分 21 の外縁部 21 A と第 1 励振電極 14 a の外縁部 71 との間の Z' 軸方向に沿った距離、及び、質量付加膜 20 の第 2 部分 22 の外縁部 22 A と第 1 励振電極 14 a の外縁部 72 との間の Z' 軸方向に沿った距離を B' としたとき、

$2 \mu\text{m} \leq B'$ の関係が成り立つ。

[0126] これによれば、k_{A0}の上昇を抑制することができる。

[0127] また、本実施形態において、 $B' \leq 8 \mu\text{m}$ の関係が成り立つ。

[0128] これによれば、k_{S0}の低下を抑制することができる。

[0129] また、本実施形態において、第 2 励振電極 14 b の Z' 軸方向に沿った寸法を C としたとき、 $3 \mu\text{m} \leq C - B$ の関係が成り立つ。

[0130] これによれば、k_{A0}の増大を抑制することができる。

[0131] また、本実施形態において、 $C - B \leq 10 \mu\text{m}$ の関係が成り立つ。

[0132] これによれば、Q 値の低下を抑制することができる。

[0133] 以下に、その他の実施形態について説明する。なお、第 1 実施形態に示した構成と同一又は類似の構成について同一又は類似の符号を付し、その説明を適宜省略する。また、同様の構成による同様の作用効果については、逐次言及しない。

[0134] <第 2 実施形態>

次に、図 19 を参照しつつ、第 2 実施形態に係る水晶振動素子 210 の構成について説明する。図 19 は、第 2 実施形態に係る水晶振動素子の断面図である。

[0135] 平面視において、第 1 励振電極 14 a の外縁部 71 は、第 2 励振電極 14 b の外縁部 81 に重なり、第 1 励振電極 14 a の外縁部 72 は、第 2 励振電極 14 b の外縁部 82 に重なっている。質量付加膜 20 の第 1 部分 21 の外縁部 21 A 及び第 2 部分 22 の外縁部 22 A は、第 1 励振電極 14 a の外縁部 71 と外縁部 72 との間に位置している。長さ B は、長さ C と略等しく、長さ A よりも大きい ($A < B = C$)。長さ E1 は長さ D1 と略等しく ($E1$

=D 1)、長さE 1は長さD 1と略等しく ($E 2 = D 2$)、長さE 1は長さE 2と略等しい ($E 1 = E 2$)。

[0136] 平面視において、第1励振電極14 aの外縁部7 1、及び、第2励振電極14 bの外縁部8 1は、両方とも、第1低音速領域18 Aの外縁部よりも、第1励振電極14 aの中央部から離れている。外縁部7 1及び外縁部8 1は、第1励振電極14 aの中央部から同程度に離れている。第1励振電極14 aの外縁部7 1、及び、第2励振電極14 bの外縁部8 1は、両方とも、第2低音速領域18 Bの外縁部よりも、第1励振電極14 aの中央部から離れている。外縁部7 2及び外縁部8 2は、第1励振電極14 aの中央部から同程度に離れている。

[0137] <第3実施形態>

次に、図20を参照しつつ、第3実施形態に係る水晶振動素子310の構成について説明する。図20は、第3実施形態に係る水晶振動素子の断面図である。

[0138] 平面視において、第2励振電極14 bの外縁部8 1は、第1励振電極14 aの外縁部7 1と、質量付加膜20の第1部分21の外縁部21 Aとの間に位置している。第2励振電極14 bの外縁部8 2は、第1励振電極14 aの外縁部7 2と、質量付加膜20の第2部分22の外縁部22 Aとの間に位置している。質量付加膜20の第1部分21の外縁部21 A及び第2部分22の外縁部22 Aは、第2励振電極14 bの外縁部8 1と外縁部8 2との間に位置している。第2励振電極14 bの外縁部8 1及び外縁部8 2は、第1励振電極14 aの外縁部7 1と外縁部7 2との間に位置している。長さBは長さCよりも大きく、長さCは長さAよりも大きい ($A < C < B$)。長さE 1は長さD 1と略等しく ($E 1 = D 1$)、長さE 1は長さD 1と略等しく ($E 2 = D 2$)、長さE 1は長さE 2と略等しい ($E 1 = E 2$)。

[0139] 平面視において、第1励振電極14 aの外縁部7 1、及び、第2励振電極14 bの外縁部8 1は、両方とも、第1低音速領域18 Aの外縁部よりも、第1励振電極14 aの中央部から離れている。外縁部7 1は、外縁部8 1よ

りも、第1励振電極14aの中央部から離れている。第1励振電極14aの外縁部71、及び、第2励振電極14bの外縁部81は、両方とも、第2低音速領域18Bの外縁部よりも、第1励振電極14aの中央部から離れている。外縁部72は、外縁部82よりも、第1励振電極14aの中央部から離れている。

[0140] <第4実施形態>

次に、図21を参照しつつ、第4実施形態に係る水晶振動素子410の構成について説明する。図21は、第4実施形態に係る水晶振動素子の断面図である。

[0141] 平面視において、質量付加膜20の第1部分21の外縁部21A及び第2部分22の外縁部22Aは、第2励振電極14bの外縁部81に重なっている。質量付加膜20の第1部分21の外縁部21A及び第2部分22の外縁部22Aは、第1励振電極14aの外縁部71と外縁部72との間に位置している。長さAは、長さCと略等しく、長さBよりも小さい ($A = C < B$)。長さE1は長さD1と略等しく ($E1 = D1$)、長さE1は長さD1と略等しく ($E2 = D2$)、長さE1は長さE2と略等しい ($E1 = E2$)。

[0142] 平面視において、第1低音速領域18Aの外縁部は、質量付加膜20の第1部分21の外縁部21Aだけではなく、第2励振電極14bの外縁部81とも重なっている。第2低音速領域18Bの外縁部は、質量付加膜20の第2部分22の外縁部22Aだけではなく、第2励振電極14bの外縁部82とも重なっている。

[0143] 平面視において、第1励振電極14aの外縁部71、及び、第2励振電極14bの外縁部81のうち、一方の外縁部71は、第1低音速領域18Aの外縁部よりも、第1励振電極14aの中央部から離れている。第1励振電極14aの外縁部72、及び、第2励振電極14bの外縁部82のうち、一方の外縁部72は、第2低音速領域18Bの外縁部よりも、第1励振電極14aの中央部から離れている。

[0144] 次に、図22及び図23を参照しつつ、第4実施形態における位置ずれの

影響について説明する。図22及び図23は、第4実施形態における位置ずれの影響を説明するための図である。図22は、質量付加膜20がZ'軸正方向にd z ずれた場合における、水晶振動素子410の断面図である。図23は、第2励振電極14bがZ'軸負方向にd z ずれた場合における、水晶振動素子410の断面図である。

[0145] 図22に示すように質量付加膜20がZ'軸正方向にd z ずれた場合、及び、図23に示すように第2励振電極14bがZ'軸負方向にd z ずれた場合、のいずれの場合においても、平面視において、質量付加膜20の第2部分22は、ずれ量d z の分だけ、第2励振電極14bからZ'軸正方向側に延出する。このため、第1励振電極14a、第2励振電極14b及び質量付加膜20の第2部分22が重なる領域は、ずれ量d z の分だけ縮小する。つまり、長さE2d1及び長さE2d2は、 $E2d1 = E2d2 = E2 - dz = D2 - dz$ と表される。長さE1d1及び長さE2d2は、長さE1から変化しない。つまり、 $E1d1 = E1d2 = E1 = D1$ と表される。このため、本実施形態においては、質量付加膜20がZ'軸正方向にd z ずれた場合、第1低音速領域18A及び第2低音速領域18BのZ'軸方向に沿った長さのバランスは変化し、 $E2d1 < E1d1$ の関係が成り立つ。また、第2励振電極14bがZ'軸正方向にd z ずれた場合も、第1低音速領域18A及び第2低音速領域18BのZ'軸方向に沿った長さのバランスは変化し、 $E2d2 < E1d2$ の関係が成り立つ。しかし、第2低音速領域18BのZ'正方向側に質量付加膜20の第2部分22の外縁部22Aが位置し、さらにZ'正方向側に第1励振電極14aの外縁部72が位置している。つまり、第2低音速領域18Bを起点にZ'正方向側に進むに従い、水晶振動素子410の厚さの総和は、 $Tp + Te1 + Te2 + Tf$ から $Tp + Te1 + Tf$ に変化し、 $Tp + Te1$ に変化し、 Tp に変化する。第2低音速領域18BのZ'正方向側において、水晶振動素子410の厚さの総和が段階的に減少するため、位相変化が早まる。これにより、第1低音速領域18A及び第2低音速領域18BのZ'軸方向に沿った長さのバランスが変化したこと

による不具合が緩和される。

[0146] <第5実施形態>

次に、図24を参照しつつ、第5実施形態に係る水晶振動素子510の構成について説明する。図24は、第5実施形態に係る水晶振動素子の断面図である。

[0147] 平面視において、質量付加膜20の第1部分21の外縁部21Aは、第1励振電極14aの外縁部71に重なっており、質量付加膜20の第2部分22の外縁部22Aは、第1励振電極14aの外縁部72に重なっている。質量付加膜20の第1部分21の外縁部21A及び第2部分22の外縁部22Aは、第2励振電極14bの外縁部81と外縁部82との間に位置している。長さAは、長さBと略等しく、長さCよりも小さい ($A = B < C$)。長さE1は長さD1と略等しく ($E1 = D1$)、長さE1は長さD1と略等しく ($E2 = D2$)、長さE1は長さE2と略等しい ($E1 = E2$)。

[0148] 平面視において、第1低音速領域18Aの外縁部は、質量付加膜20の第1部分21の外縁部21Aだけではなく、第1励振電極14aの外縁部71とも重なっている。第2低音速領域18Bの外縁部は、質量付加膜20の第2部分22の外縁部22Aだけではなく、第1励振電極14aの外縁部72とも重なっている。

[0149] 平面視において、第1励振電極14aの外縁部71、及び、第2励振電極14bの外縁部81のうち、一方の外縁部81は、第1低音速領域18Aの外縁部よりも、第1励振電極14aの中央部から離れている。第1励振電極14aの外縁部72、及び、第2励振電極14bの外縁部82のうち、一方の外縁部82は、第2低音速領域18Bの外縁部よりも、第1励振電極14aの中央部から離れている。

[0150] 次に、図25及び図26を参照しつつ、第5実施形態における位置ずれの影響について説明する。図25及び図26は、第5実施形態における位置ずれの影響を説明するための図である。図25は、質量付加膜20がZ'軸正方向にdずれた場合における、水晶振動素子510の断面図である。図2

6は、第2励振電極14bがZ'軸負方向にdzずれた場合における、水晶振動素子510の断面図である。

[0151] 図25に示すように、質量付加膜20がZ'軸正方向にdzずれた場合、平面視において、質量付加膜20の第2部分22の外縁部22Aは、第1励振電極14aの外縁部72と第2励振電極14bの外縁部82との間に位置する。第1励振電極14aの外縁部71は、質量付加膜20の第1部分21の外縁部21Aと第2励振電極14bの外縁部81との間に位置する。質量付加膜20の第2部分22は、ずれ量dzの分だけ、第1励振電極14aからZ'軸正方向側に延出する。このため、第1励振電極14a、第2励振電極14b及び質量付加膜20の第2部分22が重なる領域は、ずれ量dzの分だけ縮小する。つまり、長さE2d1は、 $E2d1 = E2 - dz = D2 - dz$ と表される。また、第1励振電極14a、第2励振電極14b及び質量付加膜20の第1部分21が重なる領域の面積は変化しない。つまり、長さE1d1は、 $E1d1 = E1 = D1$ と表される。このため、本実施形態において質量付加膜20がZ'軸正方向にdzずれた場合、第1低音速領域18A及び第2低音速領域18BのZ'軸方向に沿った長さのバランスは変化し、 $E2d1 < E1d1$ の関係が成り立つ。本実施形態において $D1 = D2$ としたとき、質量付加膜20がZ'軸正方向にdzずれた場合における、第1低音速領域18A及び第2低音速領域18BのZ'軸方向に沿った長さの差分はdzとなる。一方、質量付加膜の外縁部、第1励振電極の外縁部、及び、第2励振電極の外縁部が重なる構成を比較例とした場合、比較例において質量付加膜がZ'軸正方向にdzずれた場合における第1低音速領域及び第2低音速領域のZ'軸方向に沿った長さの差分はdzとなる。したがって、本実施形態において質量付加膜20に位置ずれが生じた場合の電気機械結合係数kの悪化は、比較例において質量付加膜に位置ずれが生じた場合の電気機械結合係数kの悪化と同等である。

[0152] 図26に示すように、第2励振電極14bがZ'軸負方向にdzずれた場合、長さE1d2は、長さE1から変化しない。つまり、 $E1d2 = E1 =$

D1と表される。また、長さE2d2は、長さE2から変化しない。つまり、長さE2d2は、 $E2d2 = E2 = D2$ と表される。このため、第1低音速領域18A及び第2低音速領域18BのZ'軸方向に沿った長さのバランスは変化せず、 $E1d2 = E2d2$ の関係が成り立つ。一方、比較例において第2励振電極がZ'軸負方向にdzずれた場合における、第1低音速領域及び第2低音速領域のZ'軸方向に沿った長さの差分はdzとなる。したがって、本実施形態において第2励振電極に位置ずれが生じた場合の電気機械結合係数kの悪化は、比較例において第2励振電極に位置ずれが生じた場合の電気機械結合係数kの悪化よりも抑制される。つまり、第2励振電極14bがZ'軸負方向にdzずれたとしても、 k_{A0} の増大は抑制され、 k_{S0} の減少は抑制される。

[0153] <第6実施形態>

次に、図27を参照しつつ、第6実施形態に係る水晶振動素子610の構成について説明する。図27は、第6実施形態に係る水晶振動素子の断面図である。

[0154] 質量付加膜20の材質は絶縁体であり、例えば酸化シリコン又は窒化シリコンである。平面視において、質量付加膜20の第1部分21の外縁部21Aは、第2励振電極14bの外縁部81に重なっており、質量付加膜20の第2部分22の外縁部22Aは、第2励振電極14bの外縁部82に重なっている。第1励振電極14aの外縁部71、72は、質量付加膜20の第1部分21の外縁部21Aと外縁部22Aとの間に位置している。長さAは、長さCと略等しく、長さBよりも大きい ($B < A = C$)。長さE1は長さD1よりも小さく ($D1 < E1$)、長さE2は長さD2よりも小さく ($D2 < E2$)、長さE1は長さE2と略等しい ($E1 = E2$)。

[0155] 平面視において、第1低音速領域18Aの外縁部は、第1励振電極14aの外縁部71と重なっている。第2低音速領域18Bの外縁部は、第1励振電極14aの外縁部72と重なっている。

[0156] 平面視において、質量付加膜20の第1部分21の外縁部21A、及び、

第2励振電極14bの外縁部81は、両方とも、第1低音速領域18Aの外縁部よりも、第1励振電極14aの中央部から離れている。外縁部21A及び外縁部81は、第1励振電極14aの中央部から同程度に離れている。質量付加膜20の第2部分22の外縁部22A、及び、第2励振電極14bの外縁部82は、両方とも、第2低音速領域18Bの外縁部よりも、第1励振電極14aの中央部から離れている。外縁部22A及び外縁部82は、第1励振電極14aの中央部から同程度に離れている。

[0157] 質量付加膜20の第1部分21における第1励振電極14aからZ'軸負方向側にはみ出している部分のZ'軸方向に沿った寸法をD'1としたとき、長さE1は、 $E1 = D1 - D'1$ と表される。質量付加膜20の第2部分22における第1励振電極14aからZ'軸負正方向側にはみ出している部分のZ'軸方向に沿った寸法をD'2としたとき、長さE2は、 $E2 = D2 - D'2$ と表される。

[0158] 次に、図28及び図29を参照しつつ、第6実施形態における位置ずれの影響について説明する。図28及び図29は、第6実施形態における位置ずれの影響を説明するための図である。図28は、質量付加膜20がZ'軸正方向にdzずれた場合における、水晶振動素子610の断面図である。図29は、第2励振電極14bがZ'軸負方向にdzずれた場合における、水晶振動素子610の断面図である。

[0159] 図28に示すように、質量付加膜20がZ'軸正方向にdzずれた場合、第1低音速領域18Aは、ずれ量dzの分だけ拡大する。つまり、長さE1d1は、 $E1d1 = E1 + dz = (D1 - D'1) + dz$ と表される。また、第2低音速領域18Bは、ずれ量dzの分だけ縮小する。つまり、長さE2d1は、 $E2d1 = E2 - dz = (D2 - D'2) - dz$ と表される。このため、第1低音速領域18A及び第2低音速領域18BのZ'軸方向に沿った長さのバランスは変化し、 $E2d1 < E1d1$ の関係が成り立つ。本実施形態において $D1 = D2$ 且つ $D'1 = D'2$ 、つまり $E1 = E2$ 、としたとき、質量付加膜20がZ'軸正方向にdzずれた場合における、第1低音

速領域 18 A 及び第 2 低音速領域 18 B の Z' 軸方向に沿った長さの差分は $2dz$ となる。

[0160] 図 29 に示すように、第 2 励振電極 14 b が Z' 軸負方向に dz ずれた場合、長さ $E1d2$ は、長さ $E1$ から変化しない。つまり、 $E1d2 = E1 = D1 - D'1$ と表される。また、長さ $E2d2$ は、長さ $E2$ から変化しない。つまり、 $E2d2 = E2 = D2 - D'2$ と表される。本実施形態において $D1 = D2$ 且つ $D'1 = D'2$ 、つまり $E1 = E2$ 、としたとき、第 2 励振電極 14 b が Z' 軸負方向に dz ずれた場合であっても、第 1 低音速領域 18 A 及び第 2 低音速領域 18 B の Z' 軸方向に沿った長さのバランスは変化せず、 $E1d2 = E2d2$ の関係が成り立つ。したがって、第 2 励振電極 14 b が Z' 軸負方向に dz ずれたとしても、 k_{A0} の増大は抑制され、 k_{S0} の減少は抑制される。

[0161] <第 7 実施形態>

次に、図 30 を参照しつつ、第 7 実施形態に係る水晶振動素子 710 の構成について説明する。図 30 は、第 7 実施形態に係る水晶振動素子の断面図である。

[0162] 質量付加膜 20 の材質は電気伝導体であり、例えば第 1 励振電極 14 a と同じ材質である。平面視において、質量付加膜 20 の第 1 部分 21 の外縁部 21 A は、第 2 励振電極 14 b の外縁部 81 に重なっており、質量付加膜 20 の第 2 部分 22 の外縁部 22 A は、第 2 励振電極 14 b の外縁部 82 に重なっている。第 1 励振電極 14 a の外縁部 71, 72 は、質量付加膜 20 の第 1 部分 21 の外縁部 21 A と外縁部 22 A との間に位置している。長さ A は、長さ C と略等しく、長さ B よりも大きい ($B < A = C$)。長さ $E1$ は長さ $D1$ よりも小さく ($D1 < E1$)、長さ $E2$ は長さ $D2$ よりも小さく ($D2 < E2$)、長さ $E1$ は長さ $E2$ と略等しい ($E1 = E2$)。長さ $E1$ は、 $E1 = D1 - D'1$ と表され、長さ $E2$ は、 $E2 = D2 - D'2$ と表される。

[0163] 平面視において、第 1 低音速領域 18 A の外縁部は、第 1 励振電極 14 a

の外縁部 7 1 と重なっている。第 2 低音速領域 1 8 B の外縁部は、第 1 励振電極 1 4 a の外縁部 7 2 と重なっている。

[0164] 平面視において、質量付加膜 2 0 の第 1 部分 2 1 の外縁部 2 1 A、及び、第 2 励振電極 1 4 b の外縁部 8 1 は、両方とも、第 1 低音速領域 1 8 A の外縁部よりも、第 1 励振電極 1 4 a の中央部から離れている。外縁部 2 1 A 及び外縁部 8 1 は、第 1 励振電極 1 4 a の中央部から同程度に離れている。質量付加膜 2 0 の第 2 部分 2 2 の外縁部 2 2 A、及び、第 2 励振電極 1 4 b の外縁部 8 2 は、両方とも、第 2 低音速領域 1 8 B の外縁部よりも、第 1 励振電極 1 4 a の中央部から離れている。外縁部 2 2 A 及び外縁部 8 2 は、第 1 励振電極 1 4 a の中央部から同程度に離れている。

[0165] 質量付加膜 2 の第 1 部分 2 1 は、第 1 励振電極 1 4 a から Z' 負方向側に延出している。質量付加膜 2 の第 2 部分 2 2 は、第 1 励振電極 1 4 a から Z' 正方向側に延出している。質量付加膜 2 0 は第 1 励振電極 1 4 a と同電位となるため、質量付加膜 2 0 の第 1 励振電極 1 4 a から延出する部分は励振電極として機能する。したがって、平面視において第 1 励振電極 1 4 a の外側であって質量付加膜 2 0 の第 1 部分 2 1 と第 2 励振電極 1 4 b とが重なる領域は第 1 外側高音速領域 1 9 1 A となり、第 1 励振電極 1 4 a の外側であって質量付加膜 2 0 の第 2 部分 2 2 と第 2 励振電極 1 4 b とが重なる領域は第 2 外側高音速領域 1 9 1 B となる。高音速領域 1 7 における厚さの総和は $T_p + T_{e1} + T_{e2}$ であり、第 1 外側高音速領域 1 9 1 A 及び第 2 外側高音速領域 1 9 1 B のそれぞれにおける厚さの総和は $T_p + T_f + T_{e2}$ である。したがって、質量付加膜 2 0 の材質が第 1 励振電極 1 4 a の材質と同じであって $T_f < T_{e1}$ の関係が成り立つとき、第 1 外側高音速領域 1 9 1 A 及び第 2 外側高音速領域 1 9 1 B における音速は、高音速領域 1 7 における音速よりも大きくなる。つまり、外側高音速領域 1 9 1 の音速よりも高音速領域 1 7 の音速が小さく、高音速領域 1 7 の音速よりも低音速領域 1 8 の音速が小さくなる。質量付加膜 2 0 の材質が第 1 励振電極 1 4 a の材質と同じであって $T_f = T_{e1}$ の関係が成り立つとき、第 1 外側高音速領域 1 9 1 A

及び第2外側高音速領域191Bにおける音速は、高音速領域17における音速と略等しくなる。つまり、外側高音速領域191の音速と高音速領域17の音速とは略等しく、低音速領域18の音速よりも大きくなる。質量付加膜20の材質が第1励振電極14aの材質と同じであって $T_e1 < T_f$ のとき、第1外側高音速領域191A及び第2外側高音速領域191Bにおける音速は、高音速領域17における音速よりも小さくなる。つまり、高音速領域17の音速よりも外側高音速領域191の音速が小さく、外側高音速領域191の音速よりも低音速領域18の音速が小さくなる。

[0166] なお、質量付加膜20の材質が第1励振電極14aの材質と異なる場合には、 $T_f < T_e1$ の関係が成り立つときであっても、外側高音速領域191の音速が高音速領域17の音速よりも小さくなることがある。例えば、質量付加膜20の単位面積当たりの質量が第1励振電極14aの単位面積当たりの質量よりも大きい場合、外側高音速領域191の音速が高音速領域17の音速よりも小さくなる。質量付加膜20の単位面積当たりの質量が第1励振電極14aの単位面積当たりの質量と同等である場合、外側高音速領域191の音速が高音速領域17の音速と同等となる。質量付加膜20の単位面積当たりの質量が第1励振電極14aの単位面積当たりの質量よりも小さい場合、外側高音速領域191の音速が高音速領域17の音速よりも大きくなる。

[0167] なお、第6実施形態に係る水晶振動素子610及び第7実施形態に係る水晶振動素子710において、 $B < A = C$ の関係が成り立っているが、 $B < C$ の関係が成り立つのであれば、 $C < A$ の関係が成り立ってもよい。つまり、 $B < C < A$ の関係が成り立ってもよい。

[0168] <第8実施形態>

次に、図31を参照しつつ、第8実施形態に係る水晶振動素子810の構成について説明する。図31は、第8実施形態に係る水晶振動素子の断面図である。

[0169] 平面視において、質量付加膜20の第1部分21の外縁部21A及び第2

部分22の外縁部22Aは、第2励振電極14bの外縁部81と外縁部82との間に位置している。第1励振電極14aの外縁部71は、質量付加膜20の第1部分21の外縁部21Aと第2励振電極14bの外縁部81との間に位置している。第1励振電極14aの外縁部72は、質量付加膜20の第2部分22の外縁部22Aと第2励振電極14bの外縁部82との間に位置している。長さAは、長さBよりも大きく、長さCよりも小さい ($B < A < C$)。長さE1は長さD1よりも小さく ($D1 < E1$)、長さE2は長さD2よりも小さく ($D2 < E2$)、長さE1は長さE2と略等しい ($E1 = E2$)。長さE1は、 $E1 = D1 - D'1$ と表され、長さE2は、 $E2 = D2 - D'2$ と表される。

[0170] 平面視において、第1低音速領域18Aの外縁部は、第1励振電極14aの外縁部71と重なっている。第2低音速領域18Bの外縁部は、第1励振電極14aの外縁部72と重なっている。

[0171] 平面視において、質量付加膜20の第1部分21の外縁部21A、及び、第2励振電極14bの外縁部81は、両方とも、第1低音速領域18Aの外縁部よりも、第1励振電極14aの中央部から離れている。外縁部81は、外縁部21Aよりも、第1励振電極14aの中央部から離れている。質量付加膜20の第2部分22の外縁部22A、及び、第2励振電極14bの外縁部82は、両方とも、第2低音速領域18Bの外縁部よりも、第1励振電極14aの中央部から離れている。外縁部82は、外縁部22Aよりも、第1励振電極14aの中央部から同程度に離れている。

[0172] 図32及び図33を参照しつつ、比較例及び第1乃至第8実施形態に基づく実施例における、電気機械結合係数kの変化について説明する。図32は、比較例及び第1乃至第8実施形態に基づく実施例のシミュレーション結果を示す表である。図33は、比較例及び第1乃至第8実施形態に基づく実施例のシミュレーション条件を示す表である。

[0173] (比較例)

$$A = B = C$$

$$T_p = 1.00 \mu\text{m}$$

$$T_f = 0.02 \mu\text{m}$$

$$T_{e1} = T_{e2} = 0.05 \mu\text{m}$$

$$P_x = P_z = 100 \mu\text{m}$$

$$X_f = 19 \mu\text{m}$$

$$Z_f = 30 \mu\text{m}$$

$$W_x = 28 \mu\text{m}$$

$$W_z = 20 \mu\text{m}$$

$$W_{g_x} = W_{g_z} = 0 \mu\text{m}$$

$$X_{e1} = 75 \mu\text{m}$$

$$Z_{e1} = 70 \mu\text{m}$$

$$X_{e2} = 75 \mu\text{m}$$

$$Z_{e2} = 70 \mu\text{m}$$

(第1実施形態に基づく実施例)

$$A < B < C$$

$$T_p = 1.00 \mu\text{m}$$

$$T_f = 0.02 \mu\text{m}$$

$$T_{e1} = T_{e2} = 0.05 \mu\text{m}$$

$$P_x = P_z = 100 \mu\text{m}$$

$$X_f = 27 \mu\text{m}$$

$$Z_f = 38 \mu\text{m}$$

$$W_x = 24 \mu\text{m}$$

$$W_z = 16 \mu\text{m}$$

$$W_{g_x} = W_{g_z} = 4 \mu\text{m}$$

$$X_{e1} = 75 \mu\text{m}$$

$$Z_{e1} = 70 \mu\text{m}$$

$$X_{e2} = 79 \mu\text{m}$$

$$Z_{e2} = 74 \mu\text{m}$$

(第2実施形態に基づく実施例)

$$A < B = C$$

$$T_p = 1.00 \mu\text{m}$$

$$T_f = 0.02 \mu\text{m}$$

$$T_{e1} = T_{e2} = 0.05 \mu\text{m}$$

$$P_x = P_z = 100 \mu\text{m}$$

$$X_f = 27 \mu\text{m}$$

$$Z_f = 38 \mu\text{m}$$

$$W_x = 24 \mu\text{m}$$

$$W_z = 16 \mu\text{m}$$

$$W_{g_x} = W_{g_z} = 4 \mu\text{m}$$

$$X_{e1} = 75 \mu\text{m}$$

$$Z_{e1} = 70 \mu\text{m}$$

$$X_{e2} = 75 \mu\text{m}$$

$$Z_{e2} = 70 \mu\text{m}$$

(第3実施形態に基づく実施例)

$$A < C < B$$

$$T_p = 1.00 \mu\text{m}$$

$$T_f = 0.02 \mu\text{m}$$

$$T_{e1} = T_{e2} = 0.05 \mu\text{m}$$

$$P_x = P_z = 100 \mu\text{m}$$

$$X_f = 27 \mu\text{m}$$

$$Z_f = 38 \mu\text{m}$$

$$W_x = 26 \mu\text{m}$$

$$W_z = 18 \mu\text{m}$$

$$W_{g_x} = W_{g_z} = 4 \mu\text{m}$$

$$X_{e1} = 79 \mu\text{m}$$

$$Z_{e2} = 74 \mu\text{m}$$

$$X_{e2} = 75 \mu\text{m}$$

$$Z_{e2} = 70 \mu\text{m}$$

(第4実施形態に基づく実施例)

$$A = C < B$$

$$T_p = 1.00 \mu\text{m}$$

$$T_f = 0.02 \mu\text{m}$$

$$T_{e1} = T_{e2} = 0.05 \mu\text{m}$$

$$P_x = P_z = 100 \mu\text{m}$$

$$X_f = 27 \mu\text{m}$$

$$Z_f = 38 \mu\text{m}$$

$$W_x = 26 \mu\text{m}$$

$$W_z = 18 \mu\text{m}$$

$$W_{gx} = W_{gz} = 2 \mu\text{m}$$

$$X_{e1} = 79 \mu\text{m}$$

$$Z_{e2} = 74 \mu\text{m}$$

$$X_{e2} = 75 \mu\text{m}$$

$$Z_{e2} = 70 \mu\text{m}$$

(第5実施形態に基づく実施例)

$$A = B < C$$

$$T_p = 1.00 \mu\text{m}$$

$$T_f = 0.02 \mu\text{m}$$

$$T_{e1} = T_{e2} = 0.05 \mu\text{m}$$

$$P_x = P_z = 100 \mu\text{m}$$

$$X_f = 19 \mu\text{m}$$

$$Z_f = 30 \mu\text{m}$$

$$W_x = 28 \mu\text{m}$$

$$W_z = 20 \mu\text{m}$$

$$W_{gx} = W_{gz} = 0 \mu\text{m}$$

$$X_{e1} = 75 \mu\text{m}$$

$$Z_{e2} = 70 \mu\text{m}$$

$$X_{e2} = 79 \mu\text{m}$$

$$Z_{e2} = 74 \mu\text{m}$$

(第6実施形態に基づく実施例)

$$B < A = C$$

$$T_p = 1.00 \mu\text{m}$$

$$T_f = 0.02 \mu\text{m}$$

$$T_{e1} = T_{e2} = 0.05 \mu\text{m}$$

$$P_x = P_z = 100 \mu\text{m}$$

$$X_f = 11 \mu\text{m}$$

$$Z_f = 22 \mu\text{m}$$

$$W_x = 32 \mu\text{m}$$

$$W_z = 24 \mu\text{m}$$

$$W_{g_x} = W_{g_z} = -4 \mu\text{m}$$

$$X_{e1} = 75 \mu\text{m}$$

$$Z_{e2} = 70 \mu\text{m}$$

$$X_{e2} = 79 \mu\text{m}$$

$$Z_{e2} = 74 \mu\text{m}$$

(第7実施形態に基づく実施例)

$$B < A = C$$

$$T_p = 1.00 \mu\text{m}$$

$$T_f = 0.02 \mu\text{m}$$

$$T_{e1} = T_{e2} = 0.05 \mu\text{m}$$

$$P_x = P_z = 100 \mu\text{m}$$

$$X_f = 11 \mu\text{m}$$

$$Z_f = 22 \mu\text{m}$$

$$W_x = 32 \mu\text{m}$$

$$W_z = 24 \mu\text{m}$$

$$W_{g_x} = W_{g_z} = -4 \mu\text{m}$$

$$X_{e1} = 75 \mu\text{m}$$

$$Z_{e2} = 70 \mu\text{m}$$

$$X_{e2} = 79 \mu\text{m}$$

$$Z_{e2} = 74 \mu\text{m}$$

(第8実施形態に基づく実施例)

$$B < A < C$$

$$T_p = 1.00 \mu\text{m}$$

$$T_f = 0.02 \mu\text{m}$$

$$T_{e1} = T_{e2} = 0.05 \mu\text{m}$$

$$P_x = P_z = 100 \mu\text{m}$$

$$X_f = 11 \mu\text{m}$$

$$Z_f = 22 \mu\text{m}$$

$$W_x = 32 \mu\text{m}$$

$$W_z = 24 \mu\text{m}$$

$$W_{g_x} = W_{g_z} = -4 \mu\text{m}$$

$$X_{e1} = 75 \mu\text{m}$$

$$Z_{e2} = 70 \mu\text{m}$$

$$X_{e2} = 87 \mu\text{m}$$

$$Z_{e2} = 82 \mu\text{m}$$

[0174] 図32の表中における「Frameずれ」は、質量付加膜20の位置が第1励振電極14a及び第2励振電極14bの位置に対してずれた状態を意味する。「裏面ずれ」は、第2励振電極14bの位置が質量付加膜20及び第1励振電極14aの位置に対してずれた状態を意味する。「両方ずれ」は、質量付加膜20の位置が第1励振電極14aの位置に対してずれ、第2励振電極14bの位置が第1励振電極14aの位置に対して質量付加膜20の位置ずれとは反対方向にずれている状態を意味する。

[0175] 比較例において、S OモードのF r a m eずれにおけるkの変化量 Δk は-0.15%、S Oモードの裏面ずれにおけるkの変化量 Δk は-0.04%であり、S Oモードの両方ずれにおけるkの変化量 Δk は-0.28%である。比較例において、A O ZモードのF r a m eずれにおけるkの変化量 Δk は1.07%、A O Zモードの裏面ずれにおけるkの変化量 Δk は0.69%であり、A O Zモードの両方ずれにおけるkの変化量 Δk は1.43%である。

[0176] 第1実施形態に基づく実施例において、S OモードのF r a m eずれにおけるkの変化量 Δk は0.00%、S Oモードの裏面ずれにおけるkの変化量 Δk は0.00%であり、S Oモードの両方ずれにおけるkの変化量 Δk は0.00%である。第1実施形態に基づく実施例におけるS Oモードの Δk は、比較例におけるS Oモードの Δk よりも小さい。すなわち、第1実施形態に基づく実施例においては、位置ずれに起因したS Oモードのkの低下が抑制されている。

[0177] 第1実施形態に基づく実施例において、A O ZモードのF r a m eずれにおけるkの変化量 Δk は0.02%、A O Zモードの裏面ずれにおけるkの変化量 Δk は0.05%であり、A O Zモードの両方ずれにおけるkの変化量 Δk は0.02%である。第1実施形態に基づく実施例におけるA O Zモードの Δk は、比較例におけるA O Zモードの Δk よりも小さい。すなわち、第1実施形態に基づく実施例においては、位置ずれに起因したA O Zモードのkの上昇が抑制されている。

[0178] 第2実施形態に基づく実施例において、S OモードのF r a m eずれにおけるkの変化量 Δk は0.00%、S Oモードの裏面ずれにおけるkの変化量 Δk は0.01%であり、S Oモードの両方ずれにおけるkの変化量 Δk は0.01%である。A O ZモードのF r a m eずれにおけるkの変化量 Δk は0.03%、A O Zモードの裏面ずれにおけるkの変化量 Δk は0.06%であり、A O Zモードの両方ずれにおけるkの変化量 Δk は0.05%である。

- [0179] 第3実施形態に基づく実施例において、S0モードのFrameずれにおけるkの変化量 Δk は-0.01%、S0モードの裏面ずれにおけるkの変化量 Δk は-0.02%であり、S0モードの両方ずれにおけるkの変化量 Δk は-0.06%である。AOZモードのFrameずれにおけるkの変化量 Δk は0.17%、AOZモードの裏面ずれにおけるkの変化量 Δk は0.19%であり、AOZモードの両方ずれにおけるkの変化量 Δk は0.35%である。
- [0180] 第4実施形態に基づく実施例において、S0モードのFrameずれにおけるkの変化量 Δk は-0.01%、S0モードの裏面ずれにおけるkの変化量 Δk は-0.02%であり、S0モードの両方ずれにおけるkの変化量 Δk は-0.06%である。AOZモードのFrameずれにおけるkの変化量 Δk は0.34%、AOZモードの裏面ずれにおけるkの変化量 Δk は0.36%であり、AOZモードの両方ずれにおけるkの変化量 Δk は0.51%である。
- [0181] 第1実施形態に基づく実施例と同様、第2乃至第4実施形態に基づく実施例においては、位置ずれに起因したS0モードのkの低下が抑制されている。第1実施形態に基づく実施例と同様、第2実施形態に基づく実施例においては、位置ずれに起因したAOZモードのkの上昇が抑制されている。
- [0182] 第5実施形態に基づく実施例において、S0モードのFrameずれにおけるkの変化量 Δk は-0.13%、S0モードの裏面ずれにおけるkの変化量 Δk は0.00%であり、S0モードの両方ずれにおけるkの変化量 Δk は-0.14%である。AOZモードのFrameずれにおけるkの変化量 Δk は0.89%、AOZモードの裏面ずれにおけるkの変化量 Δk は0.02%であり、AOZモードの両方ずれにおけるkの変化量 Δk は0.96%である。
- [0183] 第6実施形態に基づく実施例において、S0モードのFrameずれにおけるkの変化量 Δk は-0.13%、S0モードの裏面ずれにおけるkの変化量 Δk は0.00%であり、S0モードの両方ずれにおけるkの変化量 Δk

kは-0.15%である。AOZモードのFrameずれにおけるkの変化量 Δk は1.01%、AOZモードの裏面ずれにおけるkの変化量 Δk は0.03%であり、AOZモードの両方ずれにおけるkの変化量 Δk は1.06%である。

[0184] 第5及び第6実施形態に基づく実施例において、FrameずれにおけるSOモードの Δk 及びAOZモードの Δk は、比較例におけるSOモードの Δk 及びAOZモードの Δk と略同等である。第5及び第6実施形態に基づく実施例において、裏面ずれ及び両方ずれにおけるSOモードの Δk の低下が抑制され、裏面ずれ及び両方ずれにおけるAOZモードの Δk の上昇が抑制されている。

[0185] 第7実施形態に基づく実施例において、SOモードのFrameずれにおけるkの変化量 Δk は-0.20%、SOモードの裏面ずれにおけるkの変化量 Δk は0.00%であり、SOモードの両方ずれにおけるkの変化量 Δk は-0.22%である。AOZモードのFrameずれにおけるkの変化量 Δk は1.27%、AOZモードの裏面ずれにおけるkの変化量 Δk は0.11%であり、AOZモードの両方ずれにおけるkの変化量 Δk は1.31%である。

[0186] 第8実施形態に基づく実施例において、SOモードのFrameずれにおけるkの変化量 Δk は-0.18%、SOモードの裏面ずれにおけるkの変化量 Δk は0.00%であり、SOモードの両方ずれにおけるkの変化量 Δk は-0.19%である。AOZモードのFrameずれにおけるkの変化量 Δk は1.29%、AOZモードの裏面ずれにおけるkの変化量 Δk は0.07%であり、AOZモードの両方ずれにおけるkの変化量 Δk は1.31%である。

[0187] 第7及び第8実施形態に基づく実施例において、FrameずれにおけるSOモードの Δk 及びAOZモードの Δk は、比較例におけるSOモードの Δk 及びAOZモードの Δk よりもやや悪化している。しかし、第7及び第8実施形態に基づく実施例において、裏面ずれ及び両方ずれにおけるSOモ

ードの Δk の低下は抑制され、裏面ずれ及び両方ずれにおけるA O Zモードの Δk の上昇は抑制されている。

[0188] 次に図34を参照しつつ、第9実施形態に係る水晶振動素子910の構成について説明する。図34は、第9実施形態に係る水晶振動素子の断面図である。

[0189] 本実施形態において、質量付加膜20は、第1励振電極14aとは異なる材質の金属によって設けられている。効率よく質量を付加し低音速領域18の音速を低下させる観点から、質量付加膜20の比重は、第1励振電極14aの比重よりも大きいことが望ましい。これによれば、質量付加膜20の成膜プロセスを短縮し、製造効率を向上させることができる。

[0190] 次に図35を参照しつつ、第10実施形態に係る水晶振動素子1010の構成について説明する。図35は、第10実施形態に係る水晶振動素子の平面図である。

[0191] 質量付加膜20の第3部分23及び第4部分24が省略されている。質量付加膜20の第1部分21及び第2部分22は、互いに離間し、X軸方向に沿って延在する帯状に設けられている。

[0192] 次に図36を参照しつつ、第11実施形態に係る水晶振動素子1110の構成について説明する。図36は、第11実施形態に係る水晶振動素子の平面図である。

[0193] 質量付加膜20の第1部分21及び第2部分22が省略されている。質量付加膜20の第3部分23及び第4部分24は、互いに離間し、Z'軸方向に沿って延在する帯状に設けられている。

[0194] 以下に、本発明の実施形態の一部又は全部を付記する。なお、本発明は以下の付記に限定されるものではない。

[0195] <1>

第1方向及び第1方向と交差する第2方向に延在する第1主面、及び、第1主面に対向する第2主面を有する圧電片と、

圧電片の第1主面の上に設けられた第1励振電極と、

圧電片の第2主面の上に設けられた第2励振電極と、
少なくとも一部が第1励振電極に重なる質量付加膜と
を備え、

質量付加膜は、第1励振電極の中央部を避けて設けられた第1部分及び第2部分を含み、

第1励振電極は、平面視において、中央部に対して第1方向における一方側に位置する第1外縁部と、中央部に対して第1方向における他方側に位置する第2外縁部とを有し、

第2励振電極は、平面視において、中央部に対して第1方向における一方側に位置する第3外縁部と、中央部に対して第1方向における他方側に位置する第4外縁部とを有し、

第1部分は、第1外縁部に沿って設けられ、

第2部分は、第2外縁部に沿って設けられ、

圧電片、第1励振電極及び第2励振電極が重なった領域を高音速領域とし、圧電片、第1励振電極及び第2励振電極にさらに質量付加膜の第1部分が重なった領域を第1低音速領域とし、圧電片、第1励振電極及び第2励振電極にさらに質量付加膜の第2部分が重なった領域を第2低音速領域としたとき、

平面視において、第3外縁部は、第1低音速領域よりも中央部から離れており、

平面視において、第4外縁部は、第2低音速領域よりも中央部から離れている、

圧電振動素子。

[0196] <2>

第1方向及び第1方向と交差する第2方向に延在する第1主面、及び、第1主面に対向する第2主面を有する圧電片と、

圧電片の第1主面の上に設けられた第1励振電極と、

圧電片の第2主面の上に設けられた第2励振電極と、

少なくとも一部が第1励振電極に重なる質量付加膜とを備え、

質量付加膜は、第1励振電極の中央部を避けて設けられた第1部分及び第2部分を含み、

第1励振電極は、平面視において、中央部に対して第1方向における一方側に位置する第1外縁部と、中央部に対して第1方向における他方側に位置する第2外縁部とを有し、

第2励振電極は、平面視において、中央部に対して第1方向における一方側に位置する第3外縁部と、中央部に対して第1方向における他方側に位置する第4外縁部とを有し、

第1部分は、第1外縁部に沿って設けられ、

第2部分は、第2外縁部に沿って設けられ、

圧電片、第1励振電極及び第2励振電極が重なった領域を高音速領域とし、圧電片、第1励振電極及び第2励振電極にさらに質量付加膜の第1部分が重なった領域を第1低音速領域とし、圧電片、第1励振電極及び第2励振電極にさらに質量付加膜の第2部分が重なった領域を第2低音速領域とし、

質量付加膜における第1部分の第2部分とは反対側の端部と第2部分の第1部分とは反対側の端部との間の第1方向に沿った寸法をA、第1励振電極の第1方向に沿った寸法をB、第2励振電極の第1方向に沿った寸法をCとしたとき、

$$A = C < B$$

の関係が成り立ち、

平面視したとき、第1低音速領域の第2低音速領域とは反対側の外縁部、及び、第2低音速領域の第1低音速領域とは反対側の外縁部は、第1励振電極に重なっており、

平面視したとき、第2励振電極の第3外縁部及び第4外縁部は、第1励振電極に重なっている、

圧電振動素子。

[0197] <3>

平面視したとき、第1外縁部及び第2外縁部は、第2励振電極に重なっている、

<1>に記載の圧電振動素子。

[0198] <4>

第1低音速領域の中央部とは反対側の外縁部と第2低音速領域の中央部とは反対側の外縁部との間の第1方向に沿った寸法をE、高音速領域における第1低音速領域側の外縁部と第2低音速領域側の外縁部との間の第1方向に沿った距離をE'としたとき、

第1低音速領域の第1方向に沿った寸法、及び、第2低音速領域の第1方向に沿った寸法は、 $(1 \pm 0.04) \times (E - E')$ / 2である、

<1>から<3>のいずれか一つに記載の圧電振動素子。

[0199] <5>

質量付加膜における第1部分の第2部分とは反対側の端部と第2部分の第1部分とは反対側の端部との間の第1方向に沿った寸法をA、第1励振電極の第1方向に沿った寸法をBとしたとき、

$A < B$

の関係が成り立つ、

<1>に記載の圧電振動素子。

[0200] <6>

第2励振電極の第1方向に沿った寸法をCとしたとき、

$A < B < C$

の関係が成り立つ、

<5>に記載の圧電振動素子。

[0201] <7>

第2励振電極の第1方向に沿った寸法をCとしたとき、

$A < B = C$

の関係が成り立つ、

< 5 >に記載の圧電振動素子。

[0202] < 8 >

第2励振電極の第1方向に沿った寸法をCとしたとき、

$$A = C < B$$

の関係が成り立つ、

< 5 >に記載の圧電振動素子。

[0203] < 9 >

第2励振電極の第1方向に沿った寸法をCとしたとき、

$$A < C < B$$

の関係が成り立つ、

< 5 >に記載の圧電振動素子。

[0204] < 10 >

質量付加膜における第1部分の第2部分とは反対側の端部と第2部分の第1部分とは反対側の端部との間の第1方向に沿った寸法をA、第1励振電極の第1方向に沿った寸法をB、第2励振電極の第1方向に沿った寸法をCとしたとき、

$$A = B < C$$

の関係が成り立つ、

< 1 >に記載の圧電振動素子。

[0205] < 11 >

質量付加膜における第1部分の第2部分とは反対側の端部と第2部分の第1部分とは反対側の端部との間の第1方向に沿った寸法をA、第1励振電極の第1方向に沿った寸法をB、第2励振電極の第1方向に沿った寸法をCとしたとき、

$$B < A = C$$

の関係が成り立つ、

< 1 >に記載の圧電振動素子。

[0206] < 12 >

質量付加膜における第1部分の第2部分とは反対側の端部と第2部分の第1部分とは反対側の端部との間の第1方向に沿った寸法をA、第1励振電極の第1方向に沿った寸法をB、第2励振電極の第1方向に沿った寸法をCとしたとき、

$$B < A < C$$

の関係が成り立つ、

<1>に記載の圧電振動素子。

[0207] <13>

質量付加膜の材質は電気伝導体である、

<1>から<12>のいずれか一つに記載の圧電振動素子。

[0208] <14>

質量付加膜の材質は絶縁体である、

<1>から<12>のいずれか一つに記載の圧電振動素子。

[0209] <15>

質量付加膜における、第1部分の第2部分側とは反対側の端部と第2部分の第1部分側とは反対側の端部との間の第1方向に沿った距離をA'とし、第1励振電極の第1方向に沿った寸法をBとしたとき、

$$A' / B \leq 0.5$$

の関係が成り立つ、

<1>から<14>のいずれか一つに記載の圧電振動素子。

[0210] <16>

$$0.05 \leq A' / B$$

の関係が成り立つ、

<15>に記載の圧電振動素子。

[0211] <17>

質量付加膜の第1部分の一方側に位置する外縁部と第1励振電極の第1外縁部との間の第1方向に沿った距離、及び、質量付加膜の第2部分の他方側に位置する外縁部と第1励振電極の第2外縁部との間の第1方向に沿った距

離は、 $0.5\ \mu\text{m}$ 以上である、

< 1 >に記載の圧電振動素子。

[0212] < 18 >

質量付加膜の第1部分の一方側に位置する外縁部と第1励振電極の第1外縁部との間の第1方向に沿った距離、及び、質量付加膜の第2部分の他方側に位置する外縁部と第1励振電極の第2外縁部との間の第1方向に沿った距離は、 $8\ \mu\text{m}$ 以下である、

< 17 >に記載の圧電振動素子。

[0213] < 19 >

第1励振電極の第1方向に沿った寸法をB、第2励振電極の第1方向に沿った寸法をCとしたとき、

$$3\ \mu\text{m} \leq C - B$$

の関係が成り立つ、

< 1 >に記載の圧電振動素子。

[0214] < 20 >

第1励振電極の第1方向に沿った寸法をB、第2励振電極の第1方向に沿った寸法をCとしたとき、

$$C - B \leq 8\ \mu\text{m}$$

の関係が成り立つ、

< 19 >に記載の圧電振動素子。

[0215] < 21 >

質量付加膜は、第1励振電極の中央部を避けて設けられた第3部分及び第4部分を含み、

第1励振電極は、平面視において、中央部に対して第2方向における一方側に位置する第5外縁部と、中央部に対して第2方向における他方側に位置する第6外縁部とを有し、

第2励振電極は、平面視において、中央部に対して第2方向における一方側に位置する第7外縁部と、中央部に対して第2方向における他方側に位置

する第8外縁部とを有し、

第3部分は、第5外縁部に沿って設けられ、

第4部分は、第6外縁部に沿って設けられ、

圧電片、第1励振電極及び第2励振電極にさらに質量付加膜の第3部分が重なった領域を第3低音速領域とし、圧電片、第1励振電極及び第2励振電極にさらに質量付加膜の第4部分が重なった領域を第4低音速領域としたとき、

平面視において、第7外縁部は、第3低音速領域よりも中央部から離れており、

平面視において、第8外縁部は、第4低音速領域よりも中央部から離れている、

<1>から<20>のいずれか一つに記載の圧電振動素子。

[0216] <22>

質量付加膜は、第1励振電極の中央部を避けて設けられた第3部分及び第4部分を含み、

第1励振電極は、平面視において、中央部に対して第2方向における一方側に位置する第5外縁部と、中央部に対して第2方向における他方側に位置する第6外縁部とを有し、

第2励振電極は、平面視において、中央部に対して第2方向における一方側に位置する第7外縁部と、中央部に対して第2方向における他方側に位置する第8外縁部とを有し、

第3部分は、第5外縁部に沿って設けられ、

第4部分は、第6外縁部に沿って設けられ、

圧電片、第1励振電極及び第2励振電極にさらに質量付加膜の第3部分が重なった領域を第3低音速領域とし、圧電片、第1励振電極及び第2励振電極にさらに質量付加膜の第4部分が重なった領域を第4低音速領域とし、

質量付加膜における第3部分の第4部分とは反対側の端部と第4部分の第3部分とは反対側の端部との間の第2方向に沿った寸法は、第2励振電極の

第2方向に沿った寸法と等しく、第1励振電極の第2方向に沿った寸法よりも小さく、

平面視したとき、第3低音速領域の第4低音速領域とは反対側の外縁部、及び、第4低音速領域の第3低音速領域とは反対側の外縁部は、第1励振電極に重なっており、

平面視したとき、第2励振電極の第7外縁部及び第8外縁部は、第1励振電極に重なっている、

<1>から<21>のいずれか一つに記載の圧電振動素子。

[0217] <23>

第1励振電極は、平面視において、中央部に対して第2方向における一方側に位置する第5外縁部と、中央部に対して第2方向における他方側に位置する第6外縁部とを有し、

平面視したとき、第5外縁部及び第6外縁部は、第2励振電極に重なっている、

<1>から<22>のいずれか一つに記載の圧電振動素子。

[0218] <24>

圧電片は水晶片である、

<1>から<23>のいずれか一つに記載の圧電振動素子。

[0219] <25>

水晶片のカット角は、ATカット、BTカット又はSTカットである、

<24>に記載の圧電振動素子。

[0220] <26>

主要な振動モードは厚み滑り振動である、

<1>から<25>のいずれか一つに記載の圧電振動素子。

[0221] なお、本発明に係る実施形態は、水晶振動子に限定されるものではなく、他の圧電振動子 (Piezoelectric Resonator Unit) にも適用可能である。本実施形態に係る圧電振動子に好適に用いられる圧電片としては、例えば、チタン酸ジルコン酸鉛 (PZT) や窒化アルミ

ニウムなどの圧電セラミック、ニオブ酸リチウムやタンタル酸リチウムなどの圧電単結晶、を挙げることができるが、これらに限定されるものではなく適宜選択可能である。

[0222] 本発明に係る実施形態は、タイミングデバイス、発音器、発振器、荷重センサなど、圧電効果により電気機械エネルギー変換を行うデバイスであれば、特に限定されることなく適宜適用可能である。

[0223] 以上説明したように、本発明の一態様によれば、電気機械結合係数の悪化の抑制を図ることができる圧電振動素子を提供することができる。

[0224] なお、以上説明した実施形態は、本発明の理解を容易にするためのものであり、本発明を限定して解釈するためのものではない。本発明は、その趣旨を逸脱することなく、変更／改良され得るとともに、本発明にはその等価物も含まれる。すなわち、実施形態及び／又は変形例に当業者が適宜設計変更を加えたものも、本発明の特徴を備えている限り、本発明の範囲に包含される。例えば、実施形態及び／又は変形例が備える各要素及びその配置、材料、条件、形状、サイズなどは、例示したものに限定されるわけではなく適宜変更することができる。また、実施形態及び変形例は例示であり、異なる実施形態及び／又は変形例で示した構成の部分的な置換又は組み合わせが可能であることは言うまでもなく、これらも本発明の特徴を含む限り本発明の範囲に包含される。

符号の説明

- [0225] 1 0 0…水晶発振器
1…水晶振動子
1 0…水晶振動素子
1 1…水晶片
1 1 A…上面
1 1 B…下面
1 4 a…第1励振電極
1 4 b…第2励振電極

- 1 7 …高音速領域
- 1 8 …低音速領域
- 1 8 A …第 1 低音速領域
- 1 8 B …第 2 低音速領域
- 1 8 C …第 3 低音速領域
- 1 8 D …第 4 低音速領域
- 1 9 …外側高音速領域
- 1 9 A …第 1 外側高音速領域
- 1 9 B …第 2 外側高音速領域
- 1 9 C …第 3 外側高音速領域
- 1 9 D …第 4 外側高音速領域
- 2 0 …質量付加膜
- 2 1 …第 1 部分
- 2 1 A …外縁部
- 2 1 B …内縁部
- 2 2 …第 2 部分
- 2 2 A …外縁部
- 2 2 B …内縁部
- 2 3 …第 3 部分
- 2 3 A …外縁部
- 2 3 B …内縁部
- 2 4 …第 4 部分
- 2 4 A …外縁部
- 2 4 B …内縁部
- 7 1, 7 2 …外縁部
- 8 1, 8 2 …外縁部

請求の範囲

[請求項1]

第1方向及び前記第1方向と交差する第2方向に延在する第1主面、及び、前記第1主面に対向する第2主面を有する圧電片と、前記圧電片の前記第1主面の上に設けられた第1励振電極と、前記圧電片の前記第2主面の上に設けられた第2励振電極と、少なくとも一部が前記第1励振電極に重なる質量付加膜とを備え、

前記質量付加膜は、前記第1励振電極の中央部を避けて設けられた第1部分及び第2部分を含み、

前記第1励振電極は、平面視において、前記中央部に対して前記第1方向における一方側に位置する第1外縁部と、前記中央部に対して前記第1方向における他方側に位置する第2外縁部とを有し、

前記第2励振電極は、平面視において、前記中央部に対して前記第1方向における一方側に位置する第3外縁部と、前記中央部に対して前記第1方向における他方側に位置する第4外縁部とを有し、

前記第1部分は、前記第1外縁部に沿って設けられ、

前記第2部分は、前記第2外縁部に沿って設けられ、

前記圧電片、前記第1励振電極及び前記第2励振電極が重なった領域を高音速領域とし、前記圧電片、前記第1励振電極及び前記第2励振電極にさらに前記質量付加膜の前記第1部分が重なった領域を第1低音速領域とし、前記圧電片、前記第1励振電極及び前記第2励振電極にさらに前記質量付加膜の前記第2部分が重なった領域を第2低音速領域としたとき、

平面視において、前記第3外縁部は、前記第1低音速領域よりも前記中央部から離れており、

平面視において、前記第4外縁部は、前記第2低音速領域よりも前記中央部から離れている、

圧電振動素子。

[請求項2]

第1方向及び前記第1方向と交差する第2方向に延在する第1主面、及び、前記第1主面に対向する第2主面を有する圧電片と、前記圧電片の前記第1主面の上に設けられた第1励振電極と、前記圧電片の前記第2主面の上に設けられた第2励振電極と、少なくとも一部が前記第1励振電極に重なる質量付加膜とを備え、

前記質量付加膜は、前記第1励振電極の中央部を避けて設けられた第1部分及び第2部分を含み、

前記第1励振電極は、平面視において、前記中央部に対して前記第1方向における一方側に位置する第1外縁部と、前記中央部に対して前記第1方向における他方側に位置する第2外縁部とを有し、

前記第2励振電極は、平面視において、前記中央部に対して前記第1方向における一方側に位置する第3外縁部と、前記中央部に対して前記第1方向における他方側に位置する第4外縁部とを有し、

前記第1部分は、前記第1外縁部に沿って設けられ、

前記第2部分は、前記第2外縁部に沿って設けられ、

前記圧電片、前記第1励振電極及び前記第2励振電極が重なった領域を高音速領域とし、前記圧電片、前記第1励振電極及び前記第2励振電極にさらに前記質量付加膜の前記第1部分が重なった領域を第1低音速領域とし、前記圧電片、前記第1励振電極及び前記第2励振電極にさらに前記質量付加膜の前記第2部分が重なった領域を第2低音速領域とし、

前記質量付加膜における前記第1部分の前記第2部分とは反対側の端部と前記第2部分の前記第1部分とは反対側の端部との間の前記第1方向に沿った寸法をA、前記第1励振電極の前記第1方向に沿った寸法をB、前記第2励振電極の前記第1方向に沿った寸法をCとしたとき、

$$A = C < B$$

の関係が成り立ち、

平面視したとき、前記第1低音速領域の前記第2低音速領域とは反対側の外縁部、及び、前記第2低音速領域の前記第1低音速領域とは反対側の外縁部は、前記第1励振電極に重なっており、

平面視したとき、前記第2励振電極の前記第3外縁部及び前記第4外縁部は、前記第1励振電極に重なっている、

圧電振動素子。

[請求項3] 平面視したとき、前記第1外縁部及び前記第2外縁部は、前記第2励振電極に重なっている、

請求項1に記載の圧電振動素子。

[請求項4] 前記第1低音速領域の前記中央部とは反対側の外縁部と前記第2低音速領域の前記中央部とは反対側の外縁部との間の前記第1方向に沿った寸法をE、前記高音速領域における前記第1低音速領域側の外縁部と前記第2低音速領域側の外縁部との間の前記第1方向に沿った距離をE'としたとき、

前記第1低音速領域の前記第1方向に沿った寸法、及び、前記第2低音速領域の前記第1方向に沿った寸法は、 $(1 \pm 0.04) \times (E - E') / 2$ である、

請求項1から3のいずれか一項に記載の圧電振動素子。

[請求項5] 前記質量付加膜における前記第1部分の前記第2部分とは反対側の端部と前記第2部分の前記第1部分とは反対側の端部との間の前記第1方向に沿った寸法をA、前記第1励振電極の前記第1方向に沿った寸法をBとしたとき、

$A < B$

の関係が成り立つ、

請求項1に記載の圧電振動素子。

[請求項6] 前記第2励振電極の前記第1方向に沿った寸法をCとしたとき、

$A < B < C$

の関係が成り立つ、

請求項5に記載の圧電振動素子。

[請求項7]

前記第2励振電極の前記第1方向に沿った寸法をCとしたとき、

$$A < B = C$$

の関係が成り立つ、

請求項5に記載の圧電振動素子。

[請求項8]

前記第2励振電極の前記第1方向に沿った寸法をCとしたとき、

$$A = C < B$$

の関係が成り立つ、

請求項5に記載の圧電振動素子。

[請求項9]

前記第2励振電極の前記第1方向に沿った寸法をCとしたとき、

$$A < C < B$$

の関係が成り立つ、

請求項5に記載の圧電振動素子。

[請求項10]

前記質量付加膜における前記第1部分の前記第2部分とは反対側の端部と前記第2部分の前記第1部分とは反対側の端部との間の前記第1方向に沿った寸法をA、前記第1励振電極の前記第1方向に沿った寸法をB、前記第2励振電極の前記第1方向に沿った寸法をCとしたとき、

$$A = B < C$$

の関係が成り立つ、

請求項1に記載の圧電振動素子。

[請求項11]

前記質量付加膜における前記第1部分の前記第2部分とは反対側の端部と前記第2部分の前記第1部分とは反対側の端部との間の前記第1方向に沿った寸法をA、前記第1励振電極の前記第1方向に沿った寸法をB、前記第2励振電極の前記第1方向に沿った寸法をCとしたとき、

$$B < A = C$$

の関係が成り立つ、

請求項 1 に記載の圧電振動素子。

[請求項12] 前記質量付加膜における前記第 1 部分の前記第 2 部分とは反対側の端部と前記第 2 部分の前記第 1 部分とは反対側の端部との間の前記第 1 方向に沿った寸法を A、前記第 1 励振電極の前記第 1 方向に沿った寸法を B、前記第 2 励振電極の前記第 1 方向に沿った寸法を C としたとき、

$$B < A < C$$

の関係が成り立つ、

請求項 1 に記載の圧電振動素子。

[請求項13] 前記質量付加膜の材質は電気伝導体である、

請求項 1 から 1 2 のいずれか一項に記載の圧電振動素子。

[請求項14] 前記質量付加膜の材質は絶縁体である、

請求項 1 から 1 2 のいずれか一項に記載の圧電振動素子。

[請求項15] 前記質量付加膜における、前記第 1 部分の前記第 2 部分側とは反対側の端部と前記第 2 部分の前記第 1 部分側とは反対側の端部との間の前記第 1 方向に沿った距離を A' とし、前記第 1 励振電極の前記第 1 方向に沿った寸法を B としたとき、

$$A' / B \leq 0.5$$

の関係が成り立つ、

請求項 1 から 1 4 のいずれか一項に記載の圧電振動素子。

[請求項16] $0.05 \leq A' / B$

の関係が成り立つ、

請求項 1 5 に記載の圧電振動素子。

[請求項17] 前記質量付加膜の前記第 1 部分の前記一方側に位置する外縁部と前記第 1 励振電極の前記第 1 外縁部との間の前記第 1 方向に沿った距離、及び、前記質量付加膜の前記第 2 部分の前記他方側に位置する外縁部と前記第 1 励振電極の前記第 2 外縁部との間の前記第 1 方向に沿っ

た距離は、 $0.5 \mu\text{m}$ 以上である、

請求項 1 に記載の圧電振動素子。

[請求項18] 前記質量付加膜の前記第 1 部分の前記一方側に位置する外縁部と前記第 1 励振電極の前記第 1 外縁部との間の前記第 1 方向に沿った距離、及び、前記質量付加膜の前記第 2 部分の前記他方側に位置する外縁部と前記第 1 励振電極の前記第 2 外縁部との間の前記第 1 方向に沿った距離は、 $8 \mu\text{m}$ 以下である、

請求項 1 7 に記載の圧電振動素子。

[請求項19] 前記第 1 励振電極の前記第 1 方向に沿った寸法を B、前記第 2 励振電極の前記第 1 方向に沿った寸法を C としたとき、

$$3 \mu\text{m} \leq C - B$$

の関係が成り立つ、

請求項 1 に記載の圧電振動素子。

[請求項20] 前記第 1 励振電極の前記第 1 方向に沿った寸法を B、前記第 2 励振電極の前記第 1 方向に沿った寸法を C としたとき、

$$C - B \leq 8 \mu\text{m}$$

の関係が成り立つ、

請求項 1 9 に記載の圧電振動素子。

[請求項21] 前記質量付加膜は、前記第 1 励振電極の前記中央部を避けて設けられた第 3 部分及び第 4 部分を含み、

前記第 1 励振電極は、平面視において、前記中央部に対して前記第 2 方向における一方側に位置する第 5 外縁部と、前記中央部に対して前記第 2 方向における他方側に位置する第 6 外縁部とを有し、

前記第 2 励振電極は、平面視において、前記中央部に対して前記第 2 方向における一方側に位置する第 7 外縁部と、前記中央部に対して前記第 2 方向における他方側に位置する第 8 外縁部とを有し、

前記第 3 部分は、前記第 5 外縁部に沿って設けられ、

前記第 4 部分は、前記第 6 外縁部に沿って設けられ、

前記圧電片、前記第1励振電極及び前記第2励振電極にさらに前記質量付加膜の前記第3部分が重なった領域を第3低音速領域とし、前記圧電片、前記第1励振電極及び前記第2励振電極にさらに前記質量付加膜の前記第4部分が重なった領域を第4低音速領域としたとき、

平面視において、前記第7外縁部は、前記第3低音速領域よりも前記中央部から離れており、

平面視において、前記第8外縁部は、前記第4低音速領域よりも前記中央部から離れている、

請求項1から20のいずれか一項に記載の圧電振動素子。

[請求項22]

前記質量付加膜は、前記第1励振電極の前記中央部を避けて設けられた第3部分及び第4部分を含み、

前記第1励振電極は、平面視において、前記中央部に対して前記第2方向における一方側に位置する第5外縁部と、前記中央部に対して前記第2方向における他方側に位置する第6外縁部とを有し、

前記第2励振電極は、平面視において、前記中央部に対して前記第2方向における一方側に位置する第7外縁部と、前記中央部に対して前記第2方向における他方側に位置する第8外縁部とを有し、

前記第3部分は、前記第5外縁部に沿って設けられ、

前記第4部分は、前記第6外縁部に沿って設けられ、

前記圧電片、前記第1励振電極及び前記第2励振電極にさらに前記質量付加膜の前記第3部分が重なった領域を第3低音速領域とし、前記圧電片、前記第1励振電極及び前記第2励振電極にさらに前記質量付加膜の前記第4部分が重なった領域を第4低音速領域とし、

前記質量付加膜における前記第3部分の前記第4部分とは反対側の端部と前記第4部分の前記第3部分とは反対側の端部との間の前記第2方向に沿った寸法は、前記第2励振電極の前記第2方向に沿った寸法と等しく、前記第1励振電極の前記第2方向に沿った寸法よりも小さく、

平面視したとき、前記第3低音速領域の前記第4低音速領域とは反対側の外縁部、及び、前記第4低音速領域の前記第3低音速領域とは反対側の外縁部は、前記第1励振電極に重なっており、

平面視したとき、前記第2励振電極の前記第7外縁部及び前記第8外縁部は、前記第1励振電極に重なっている、

請求項1から21のいずれか一項に記載の圧電振動素子。

[請求項23]

前記第1励振電極は、平面視において、前記中央部に対して前記第2方向における一方側に位置する第5外縁部と、前記中央部に対して前記第2方向における他方側に位置する第6外縁部とを有し、

平面視したとき、前記第5外縁部及び前記第6外縁部は、前記第2励振電極に重なっている、

請求項1から22のいずれか一項に記載の圧電振動素子。

[請求項24]

前記圧電片は水晶片である、

請求項1から23のいずれか一項に記載の圧電振動素子。

[請求項25]

前記水晶片のカット角は、ATカット、BTカット又はSTカットである、

請求項24に記載の圧電振動素子。

[請求項26]

主要な振動モードは厚み滑り振動である、

請求項1から25のいずれか一項に記載の圧電振動素子。

[図1]

100

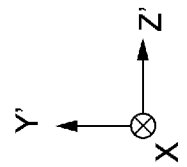
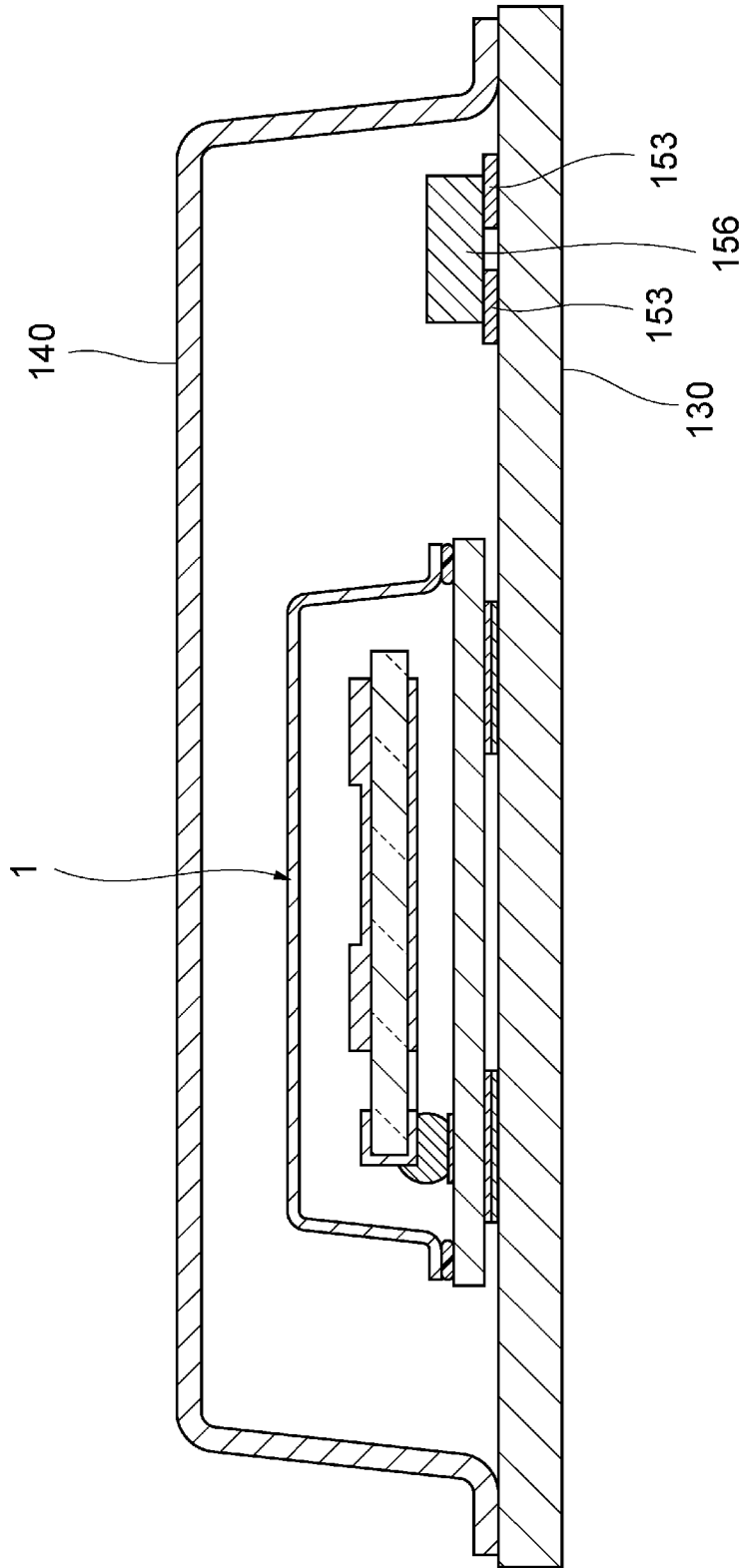
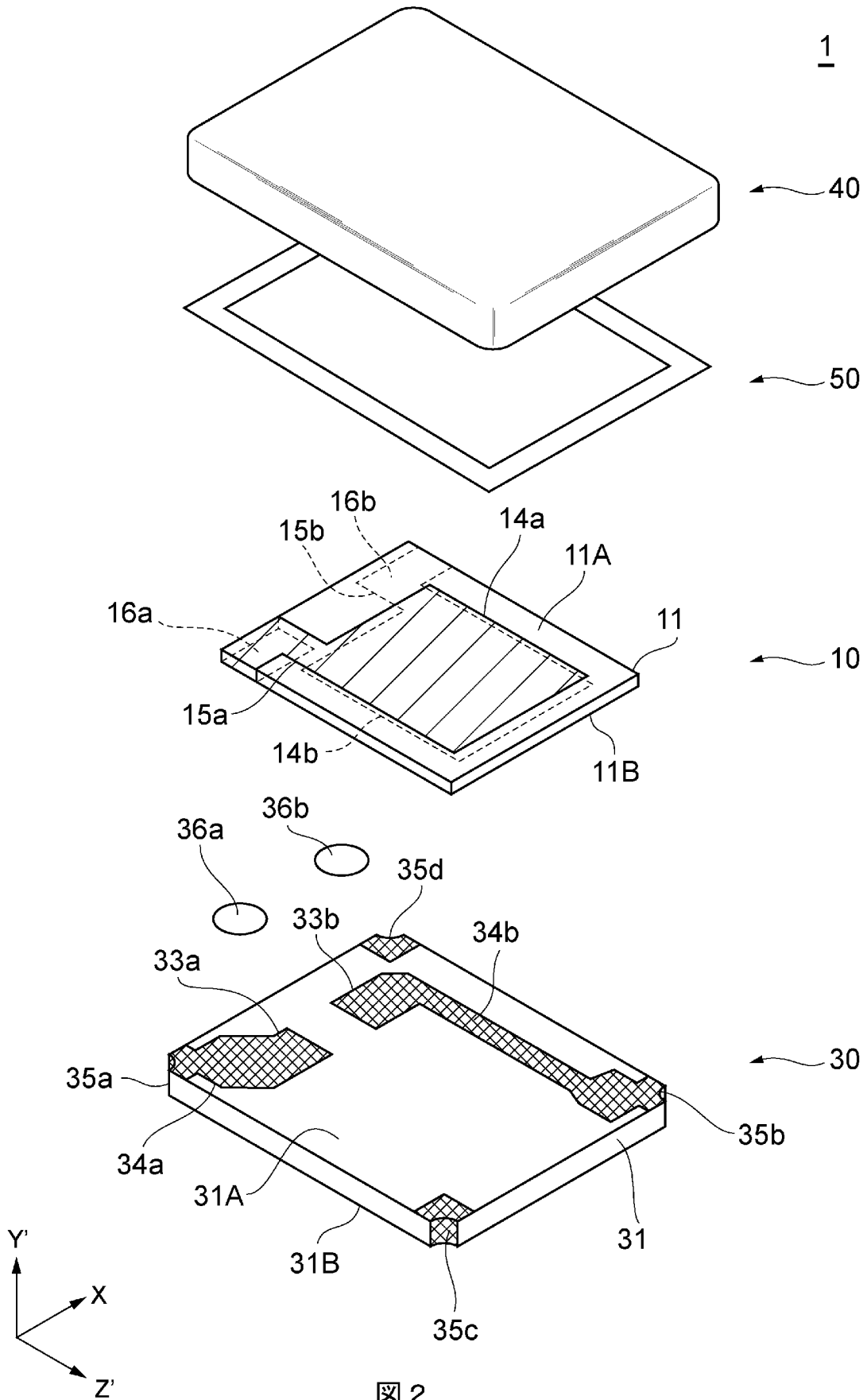


図 1

[図2]



[圖4]

10

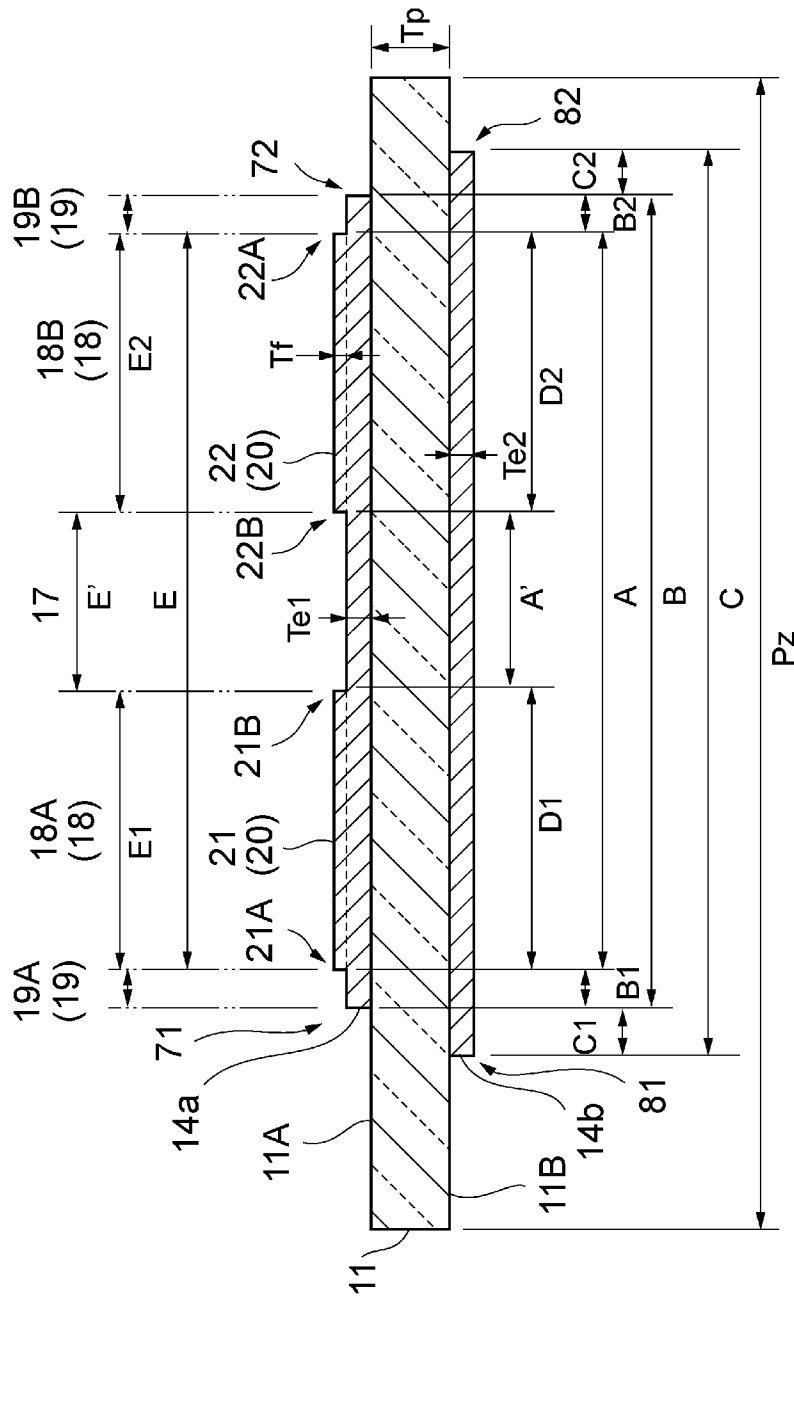


圖 4

[図5]

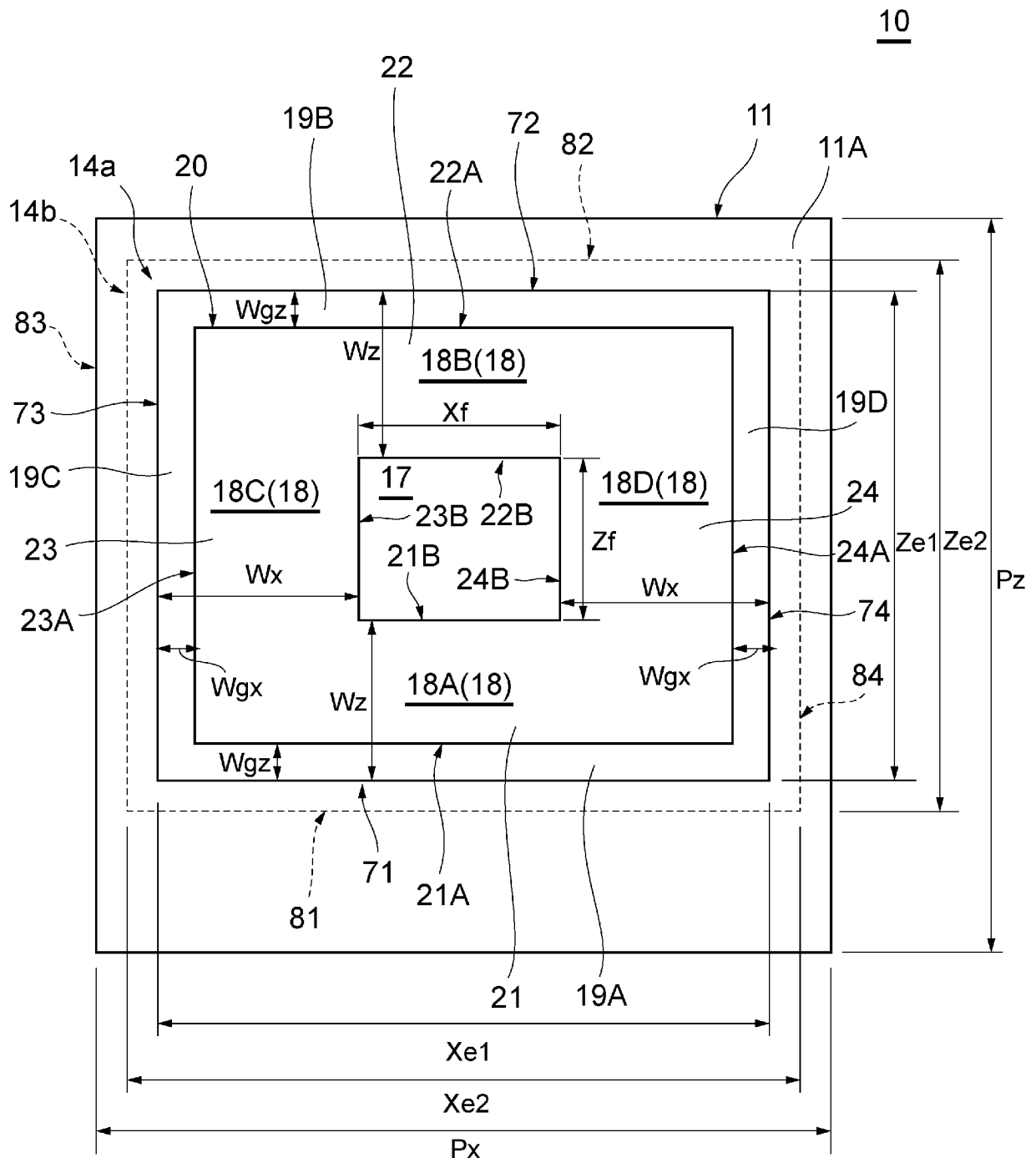
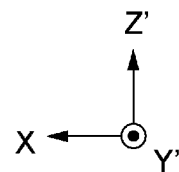


図 5

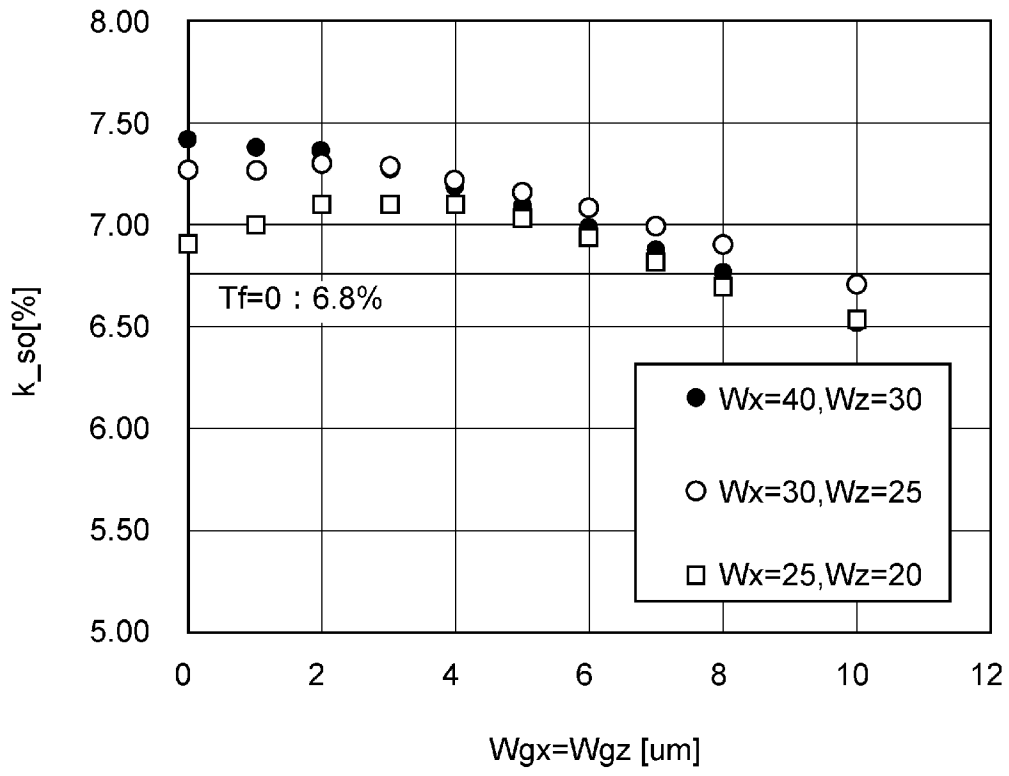


[図6]

		第1'実施例	第1'実施例	第2'実施例	第2'実施例	第3'実施例	第3'実施例
	パラメータ		Wgx, Wgz	Xe2, Ze2	Wgx, Wgz	Xe2, Ze2	Wgx, Wgz
断面寸法							
	水晶厚		[um]	1.52	1.00	1.00	1.00
	Frame厚		[um]	0.02	0.02	0.02	0.02
	上部電極厚		[um]	0.08	0.05	0.05	0.05
	下部電極厚		[um]	0.08	0.05	0.05	0.05
平面寸法							
	共振子		[um]	120.00	100.00	100.00	100.00
			[um]	120.00	100.00	100.00	100.00
	Frameの内側		[um]	20.00	12.00	12.00	19.00
			[um]	20.00	28.00	28.00	30.00
	Frame幅		[um]	40.00	24.00	24.00	28.00
			[um]	30.00	16.00	16.00	20.00
	Frame gap		[um]	パラメータ	パラメータ	2.00	パラメータ
			[um]	パラメータ	パラメータ	2.00	パラメータ
	上部電極		[um]	100.00	60.00	60.00	75.00
			[um]	80.00	60.00	60.00	70.00
	下部電極		[um]	104.00	64.00	パラメータ	79.00
			[um]	84.00	64.00	パラメータ	74.00

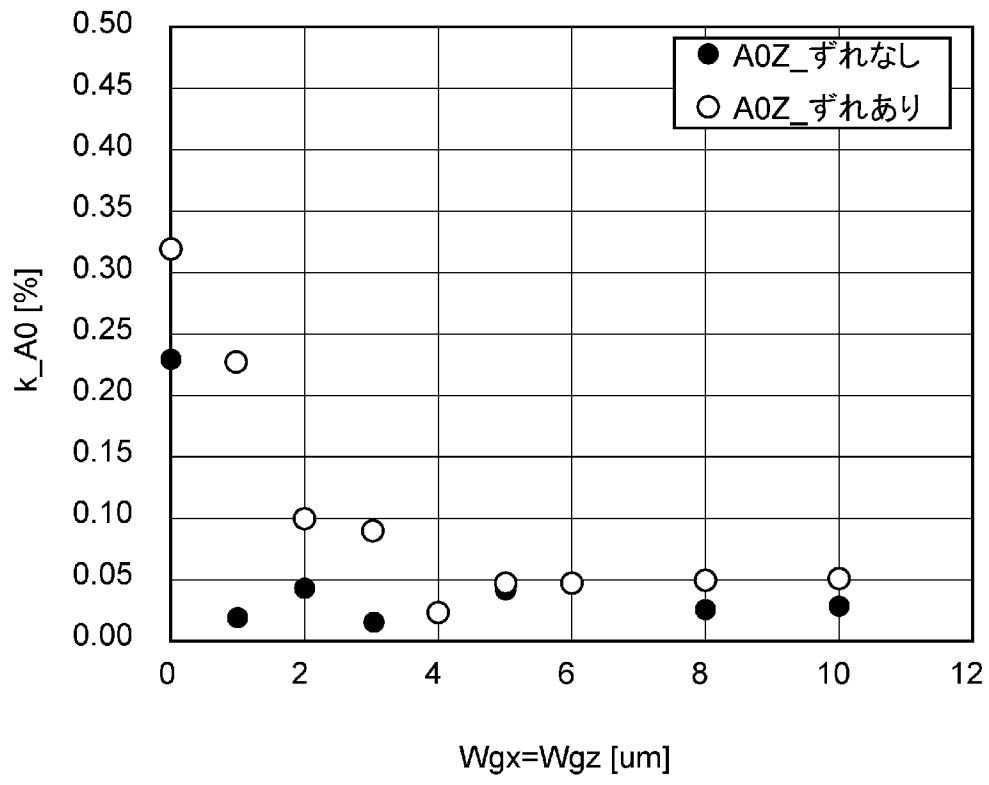
図6

[図7]



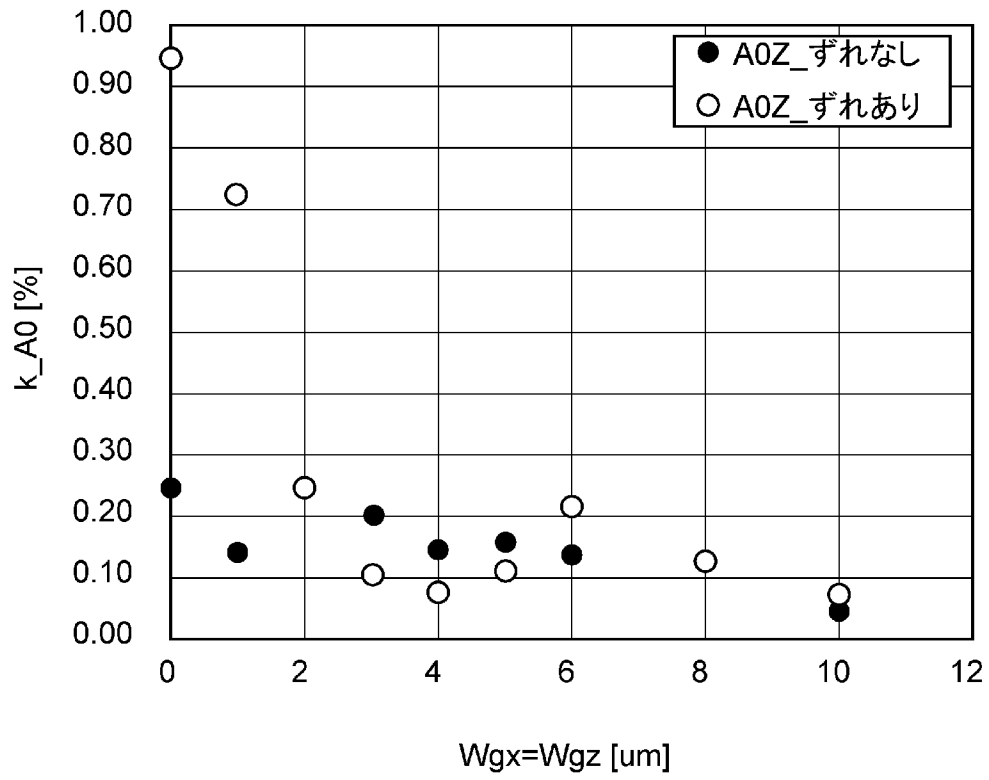
[図7]

[図8]



[図] 8

[図9]



[図9]

[図10]

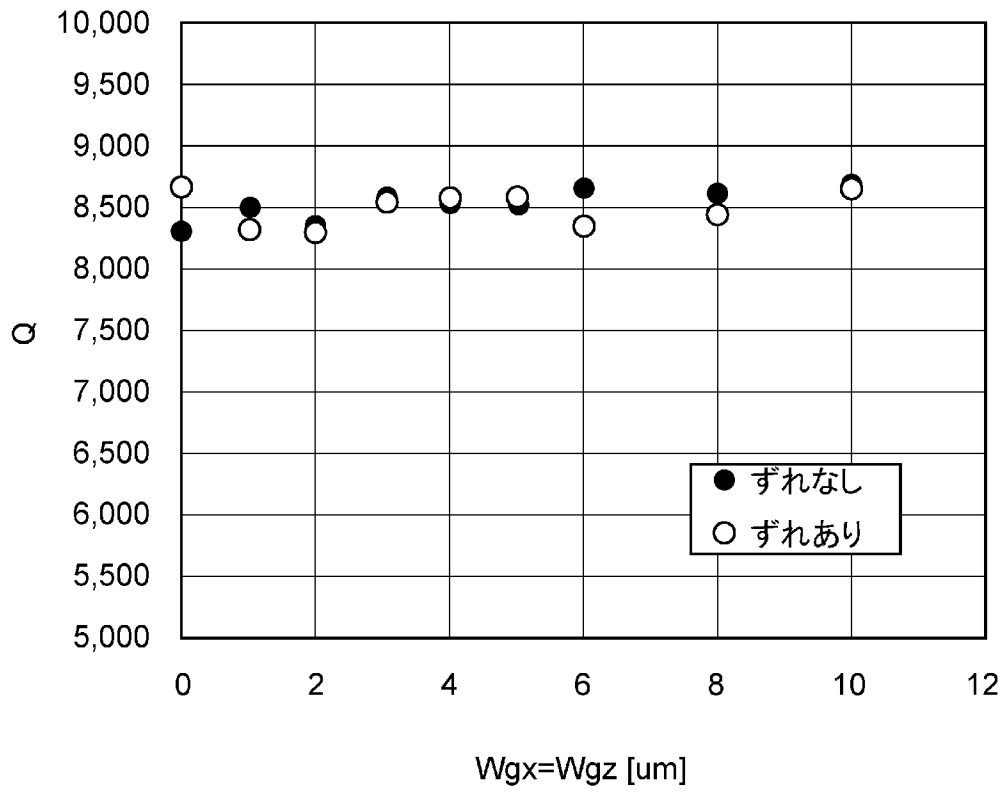


図 1 0

[図11]

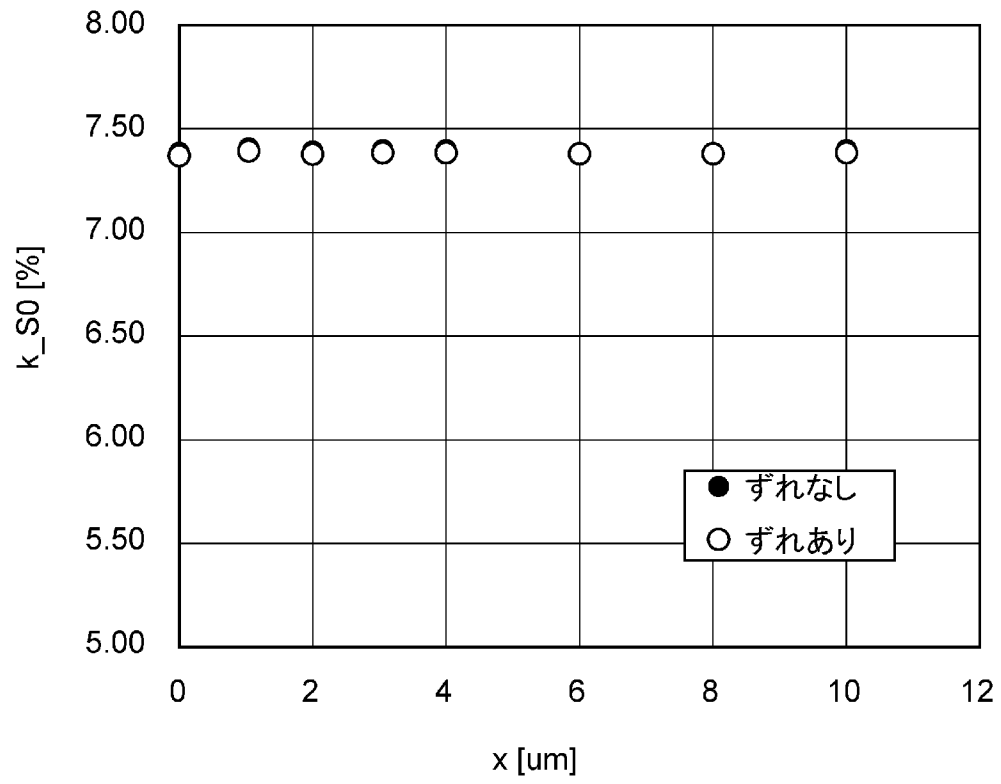
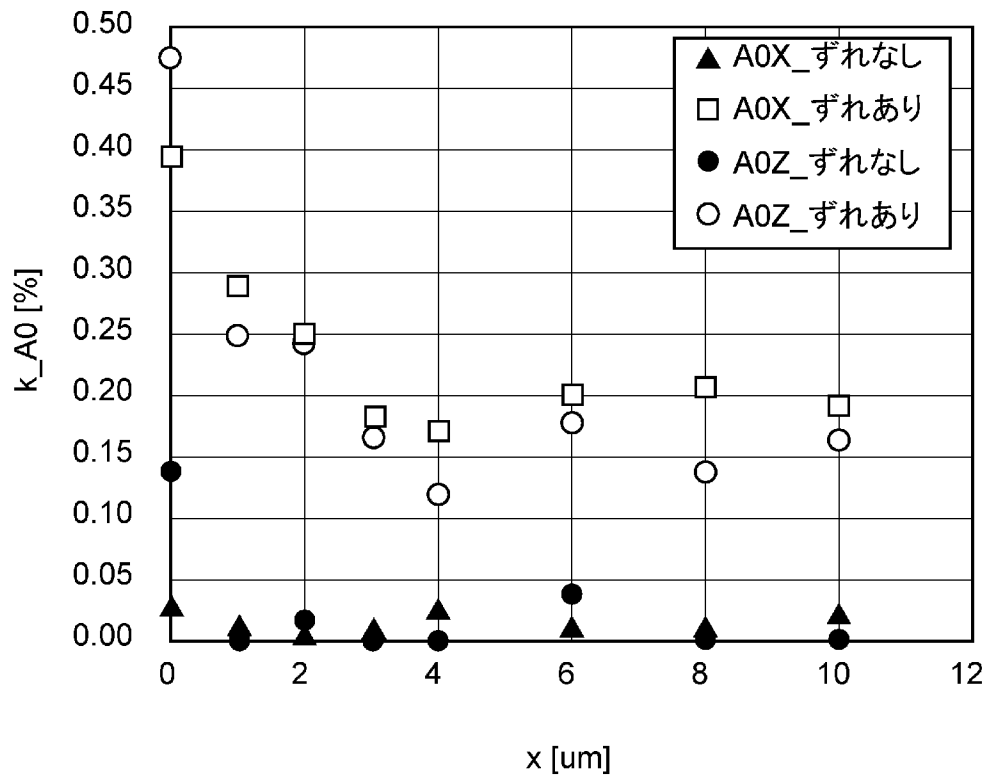


図 1 1

[図12]



[図12]

[図13]

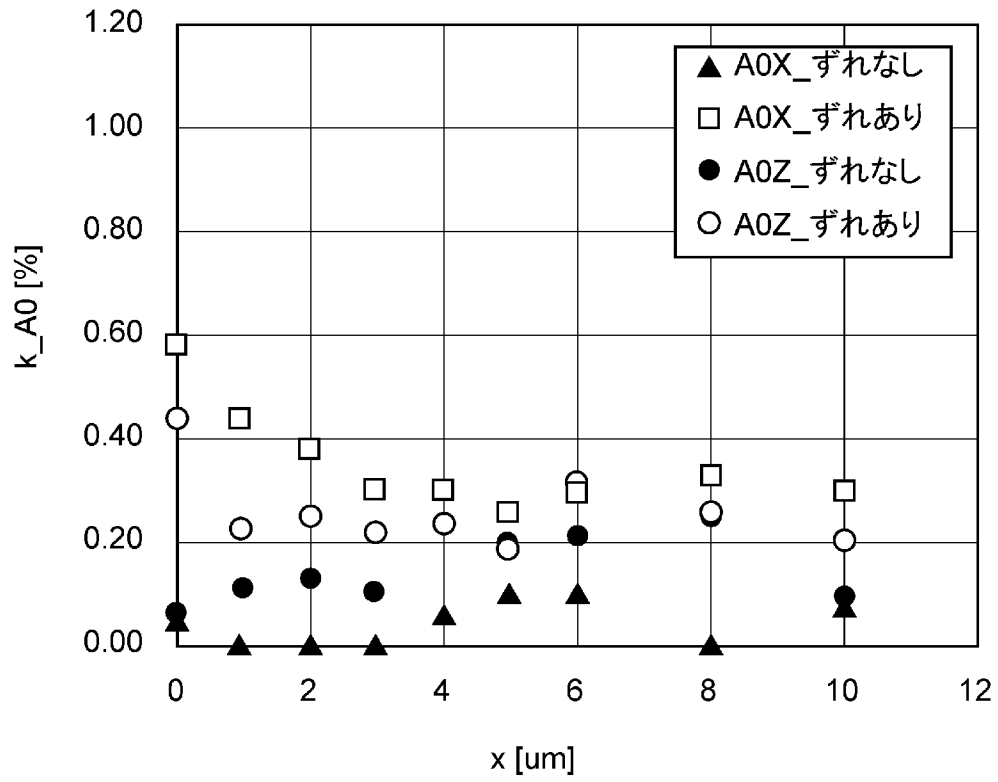
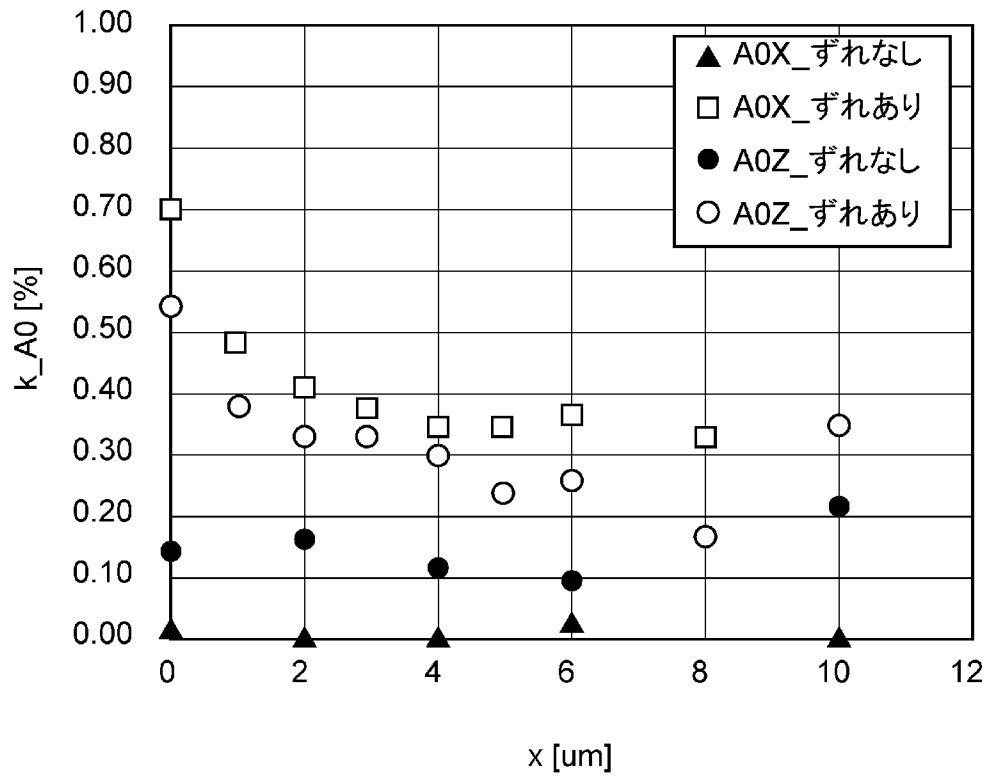


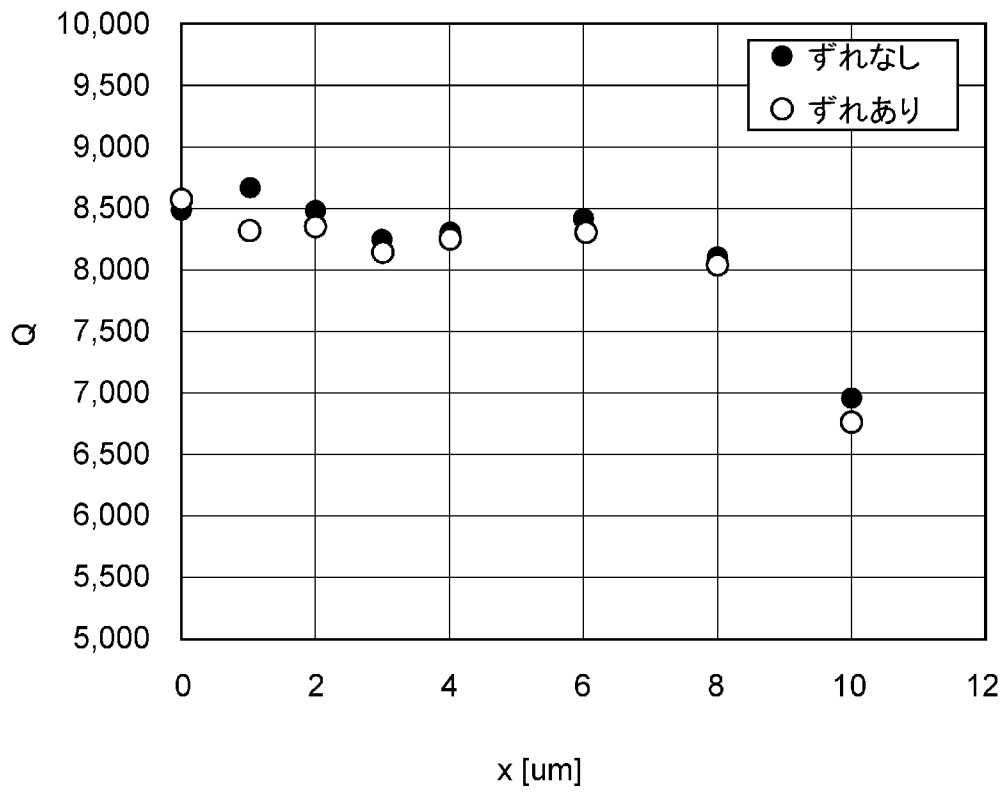
図 1 3

[図14]



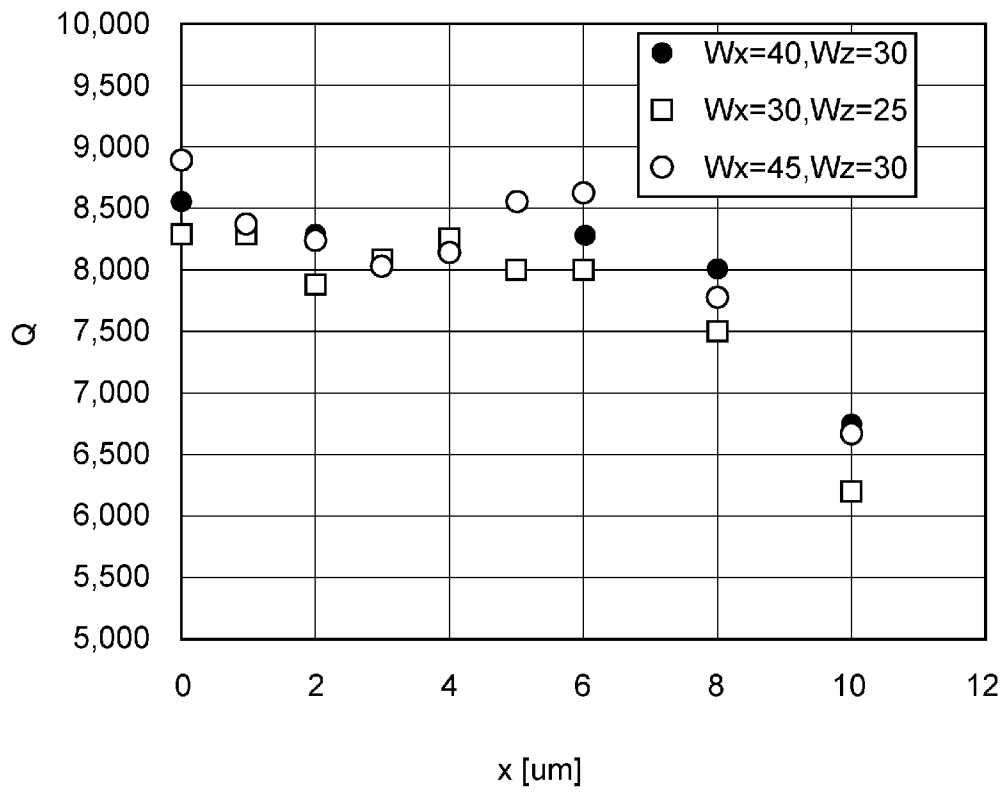
[図] 1 4

[図15]



[図15]

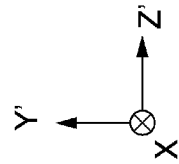
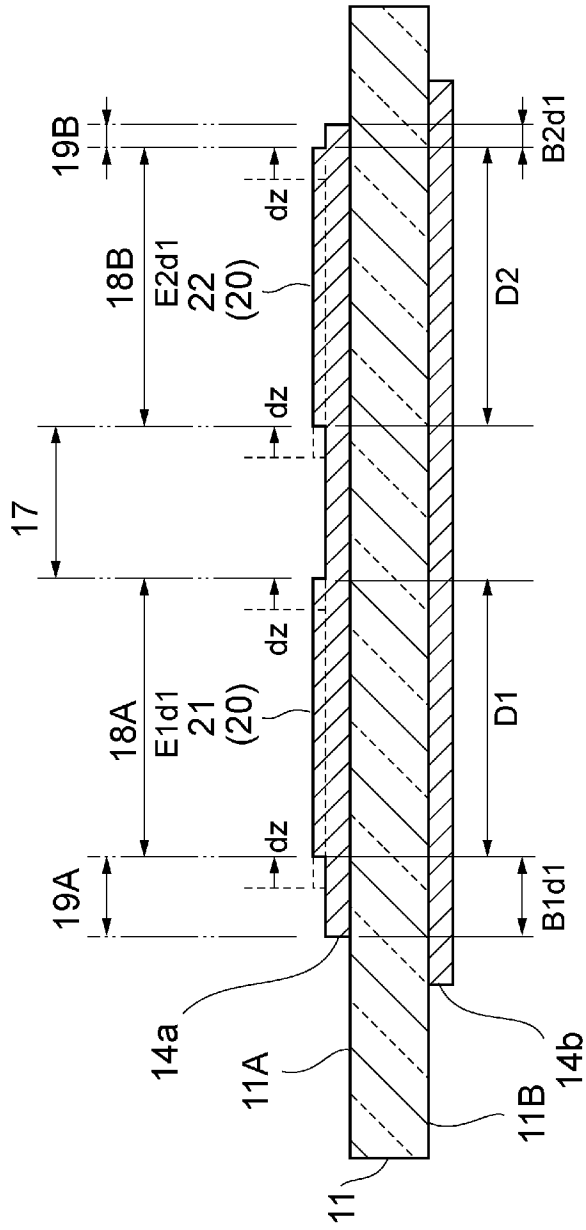
[図16]



[図16]

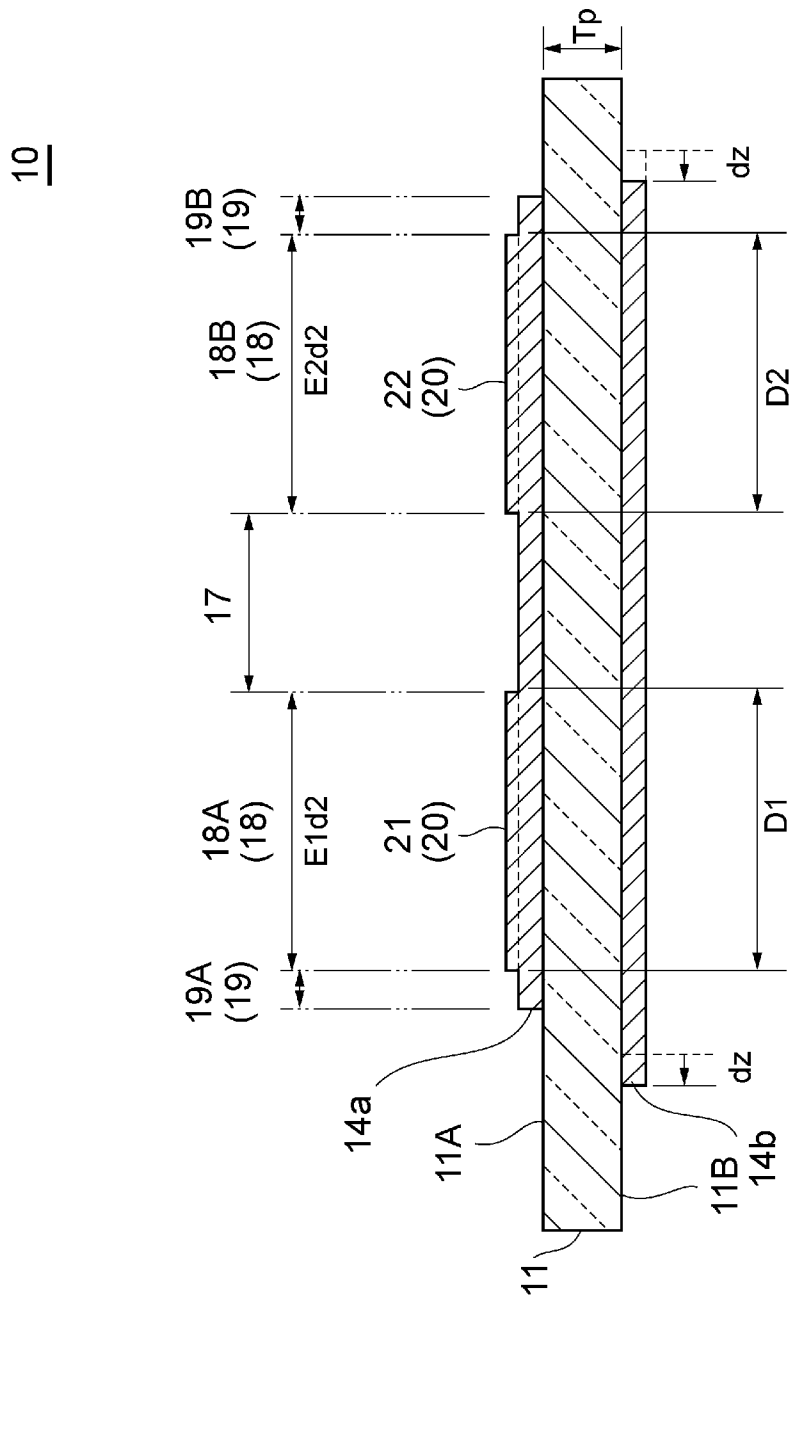
[17]

10



[17]

[図18]



[図18]

[圖19]

210

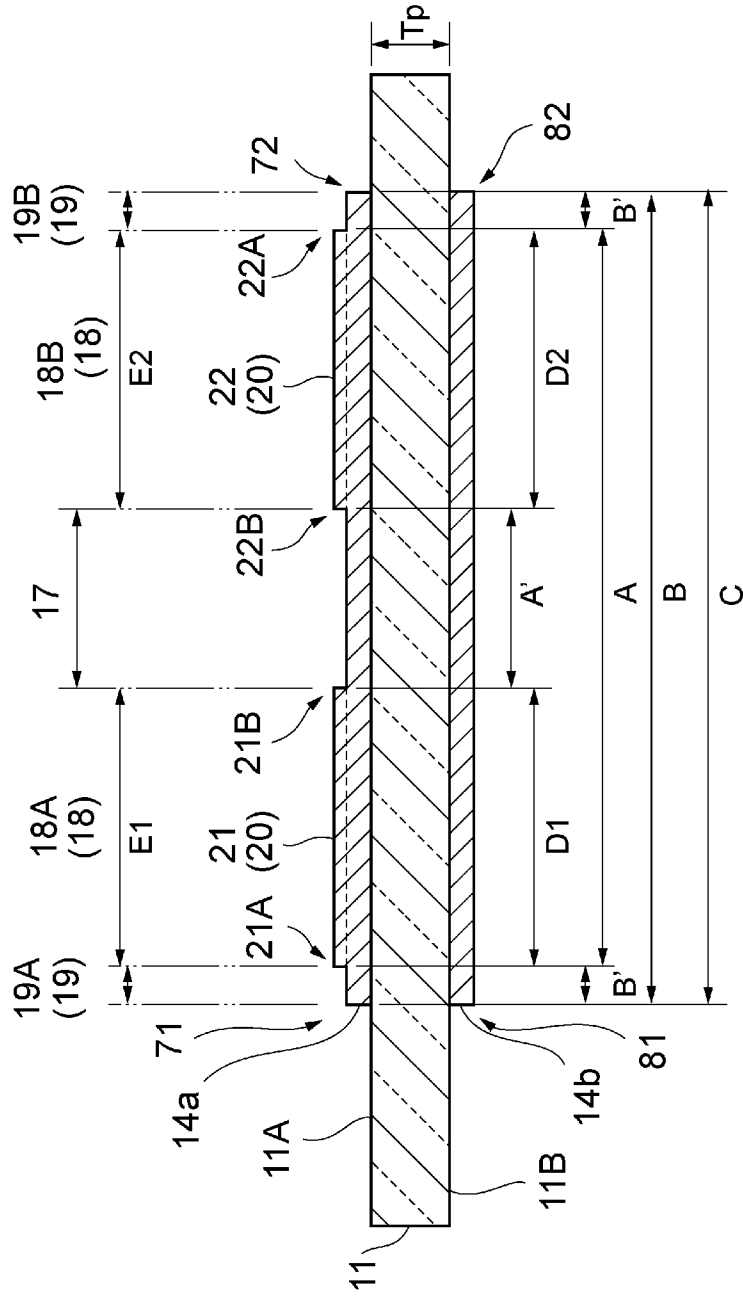


圖 19

[圖23]

410

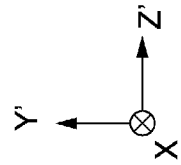
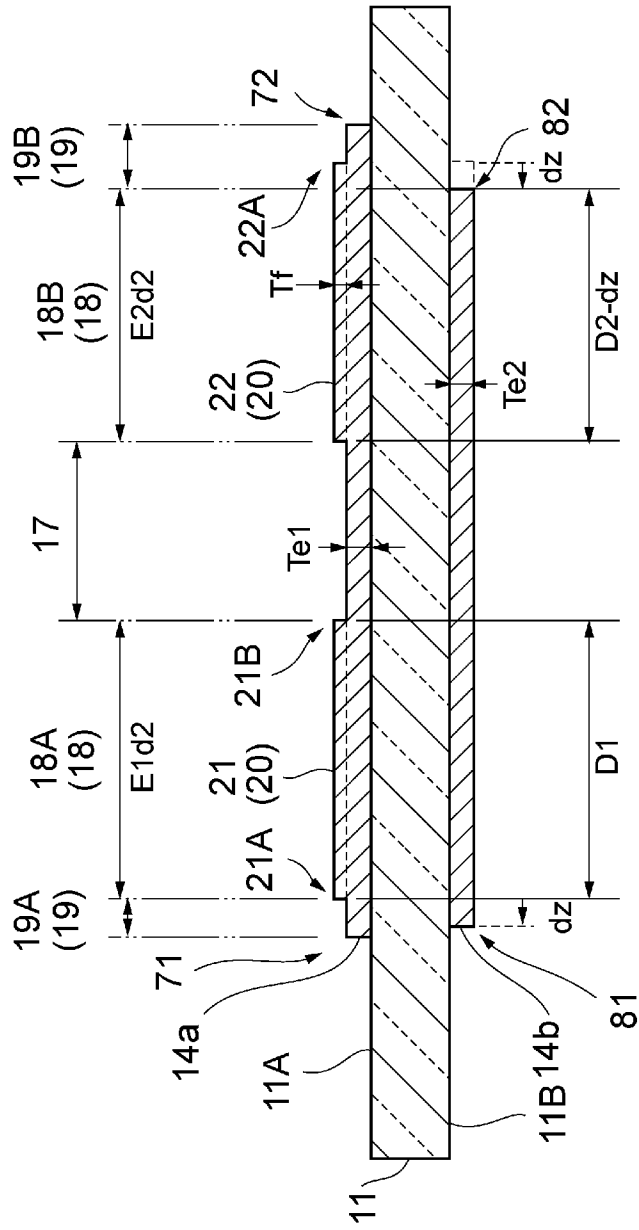


圖 23

[圖25]

510

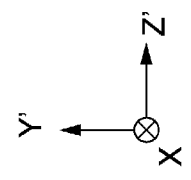
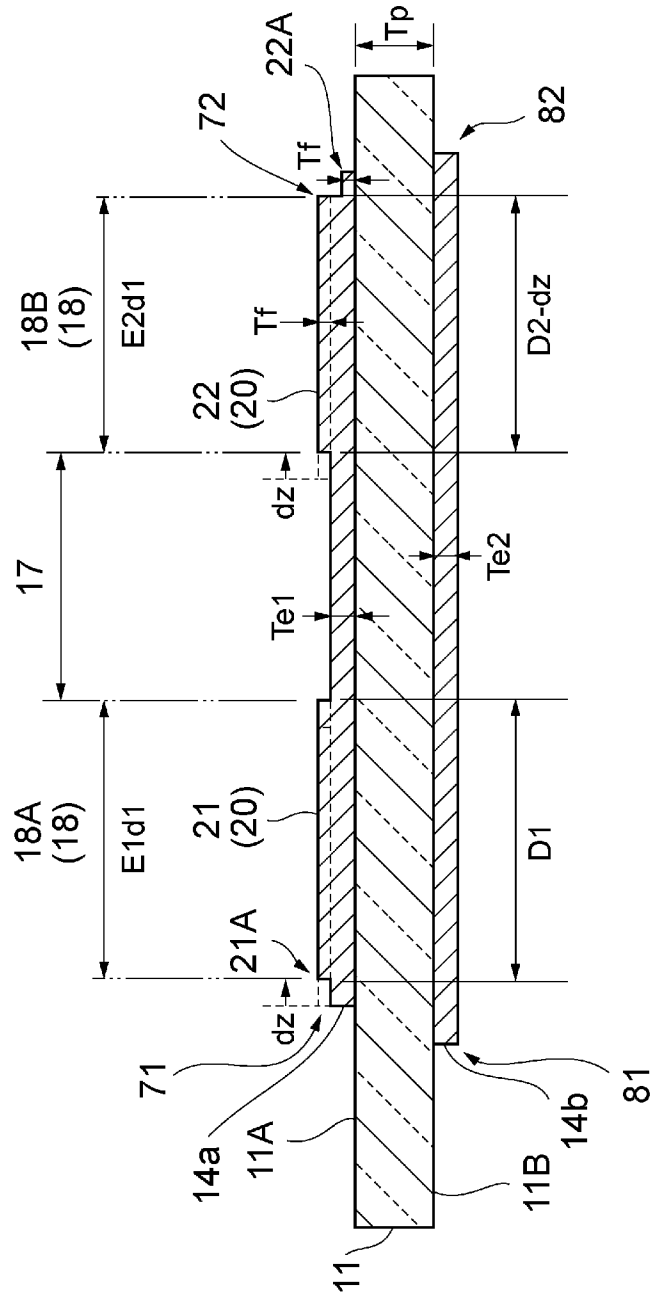


圖 25

[圖26]

510

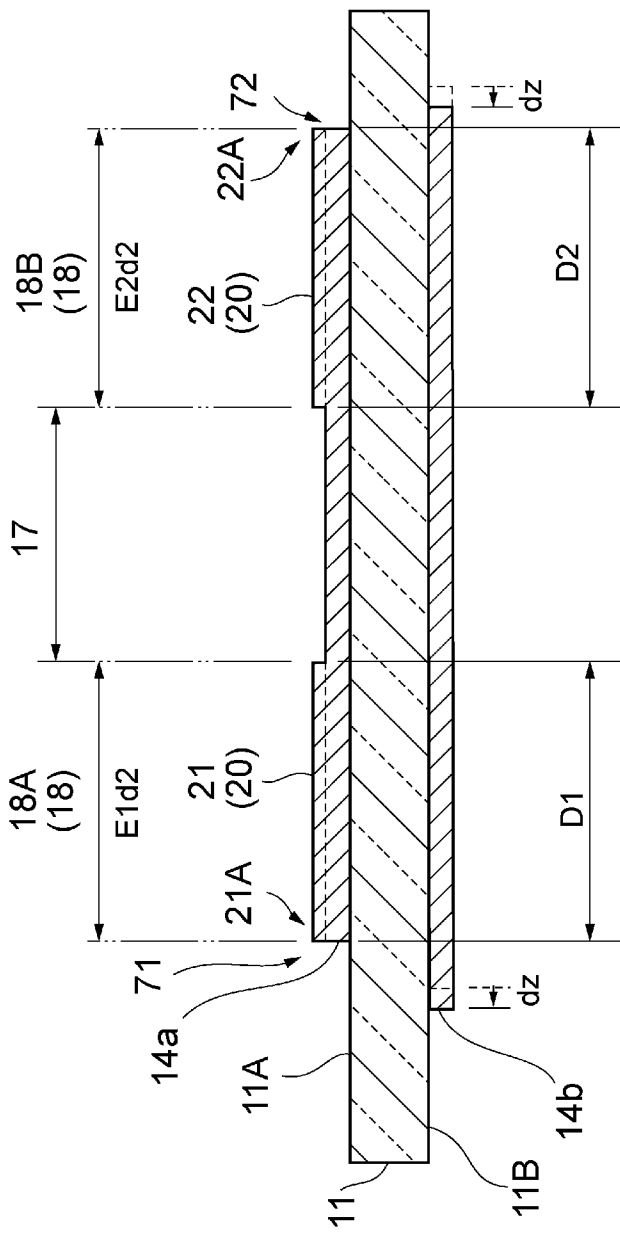


圖 26

[圖27]

610

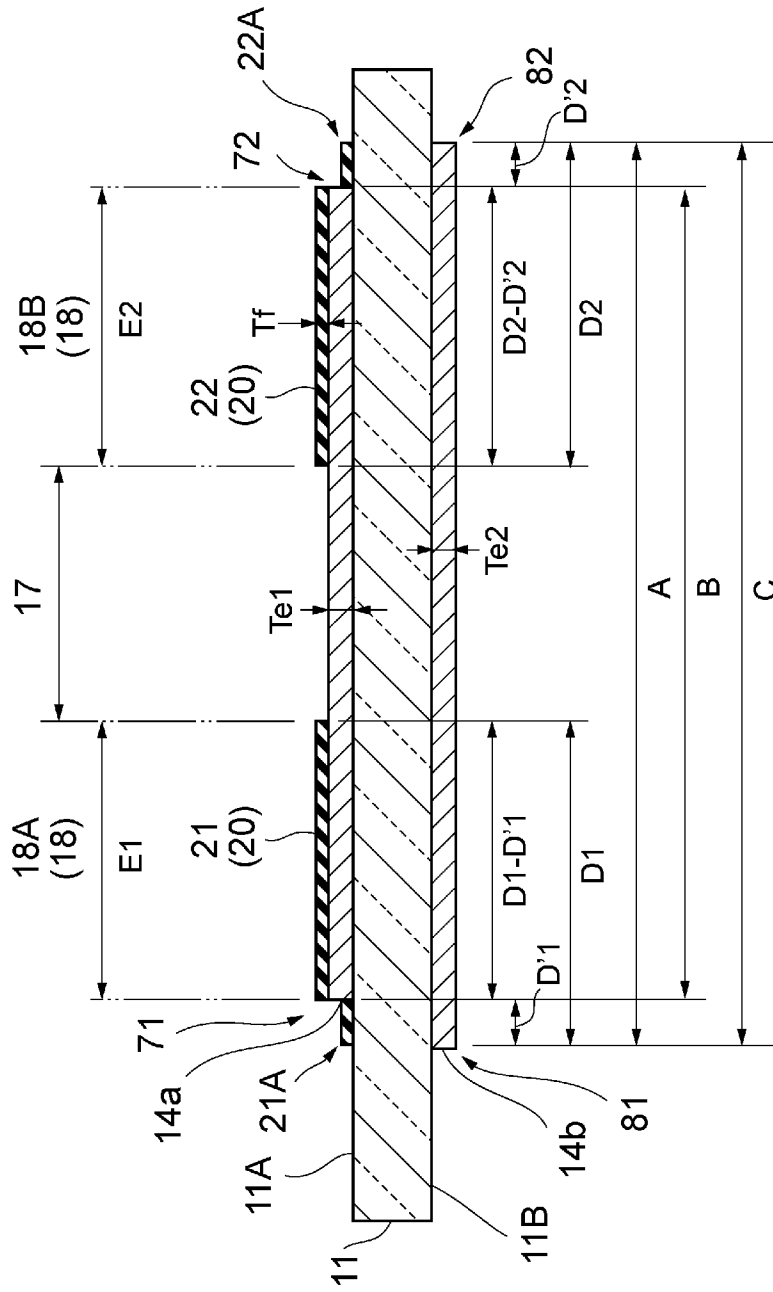


圖 27

[圖30]

710

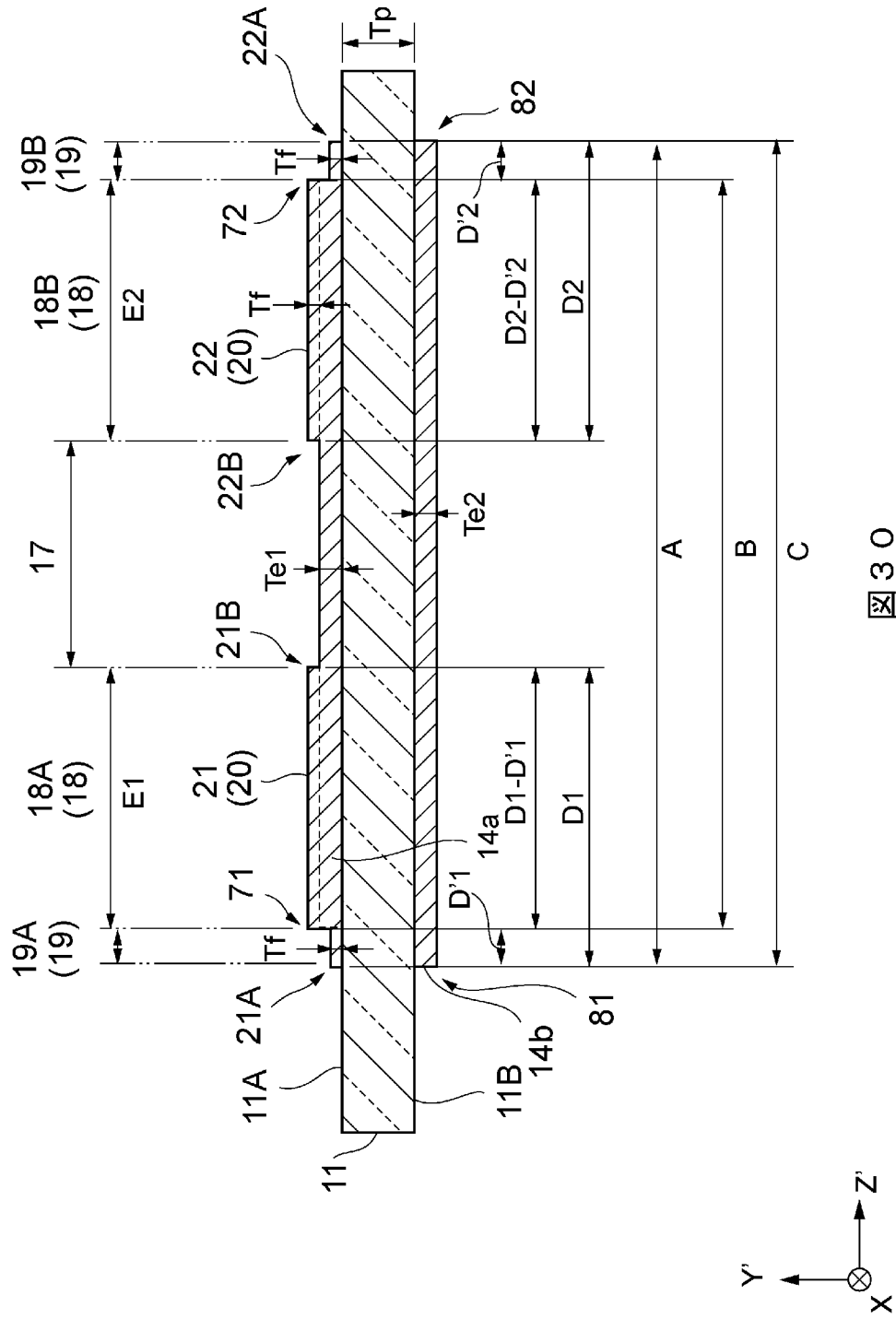


圖 30

[圖31]

810

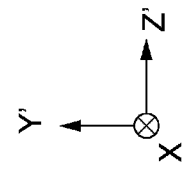
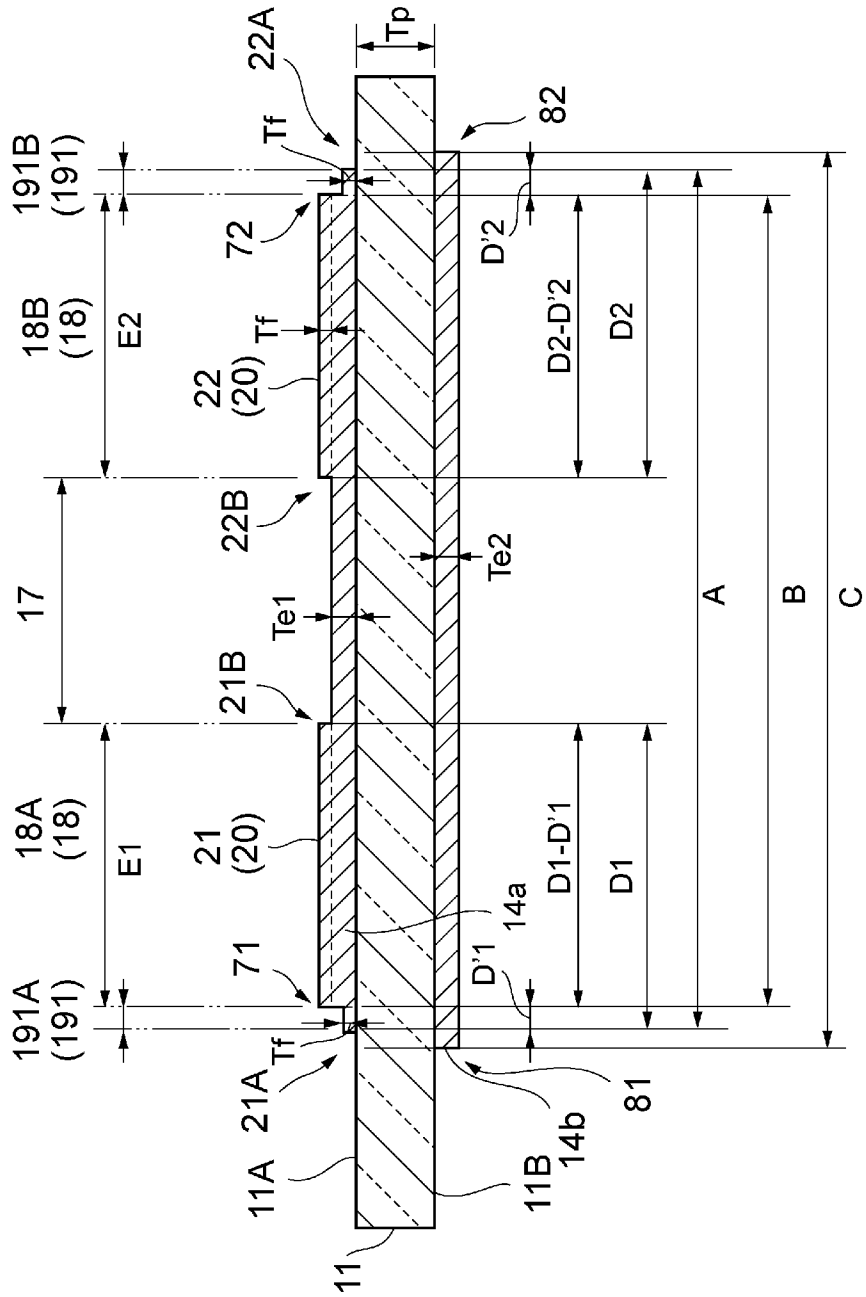


圖 31

[図32]

	S0モード				A0Zモード			
	ずれなし	Frame ずれ	裏面ずれ	両方ずれ	ずれなし	Frame ずれ	裏面ずれ	両方ずれ
	k(%)	$\Delta k(\%)$	$\Delta k(\%)$	$\Delta k(\%)$	k(%)	$\Delta k(\%)$	$\Delta k(\%)$	$\Delta k(\%)$
比較例	7.33	-0.15	-0.04	-0.28	0.00	1.07	0.69	1.43
第1実施形態	A = B = C	6.86	0.00	0.00	0.06	0.02	0.05	0.02
第2実施形態	A < B = C	6.89	0.00	0.01	0.01	0.03	0.06	0.05
第3実施形態	A < C < B	7.16	-0.01	-0.02	-0.06	0.17	0.19	0.35
第4実施形態	A = C < B	7.16	-0.01	-0.02	-0.06	0.16	0.36	0.51
第5実施形態	A = B < C	7.34	-0.13	0.00	-0.14	0.02	0.02	0.96
第6実施形態	B < A = C	7.09	-0.13	0.00	-0.15	1.01	0.03	1.06
第7実施形態	B < A = C	7.07	-0.20	0.00	-0.22	1.27	0.11	1.31
第8実施形態	B < A < C	6.80	-0.18	0.00	-0.19	1.29	0.07	1.31

図 3 2

[図33]

断面寸法	パラメータ	比較例	第1 実施形態	第2 実施形態	第3 実施形態	第4 実施形態	第5 実施形態	第6 実施形態	第7 実施形態	第8 実施形態
	水晶厚		1	1	1	1	1	1	1	1
	Frame厚		0.02	0.02	0.02	0.02	0.02	0.02	0.02	0.02
	上部電極厚		0.05	0.05	0.05	0.05	0.05	0.05	0.05	0.05
	下部電極厚		0.05	0.05	0.05	0.05	0.05	0.05	0.05	0.05
平面寸法	共振子		100	100	100	100	100	100	100	100
			100	100	100	100	100	100	100	100
	Frameの内側		19	27	27	27	19	11	11	11
			30	38	38	38	30	22	22	22
	Frame幅		28	24	26	26	28	32	32	32
			20	16	18	18	20	24	24	24
	Frame gap		0	4	4	2	0	-4	-4	-4
			0	4	4	2	0	-4	-4	-4
	上部電極		75	75	79	79	75	75	75	75
			70	70	74	74	70	70	70	70
	下部電極		75	75	75	75	79	79	79	87
			70	70	70	70	74	74	74	82

図33

[圖34]

910

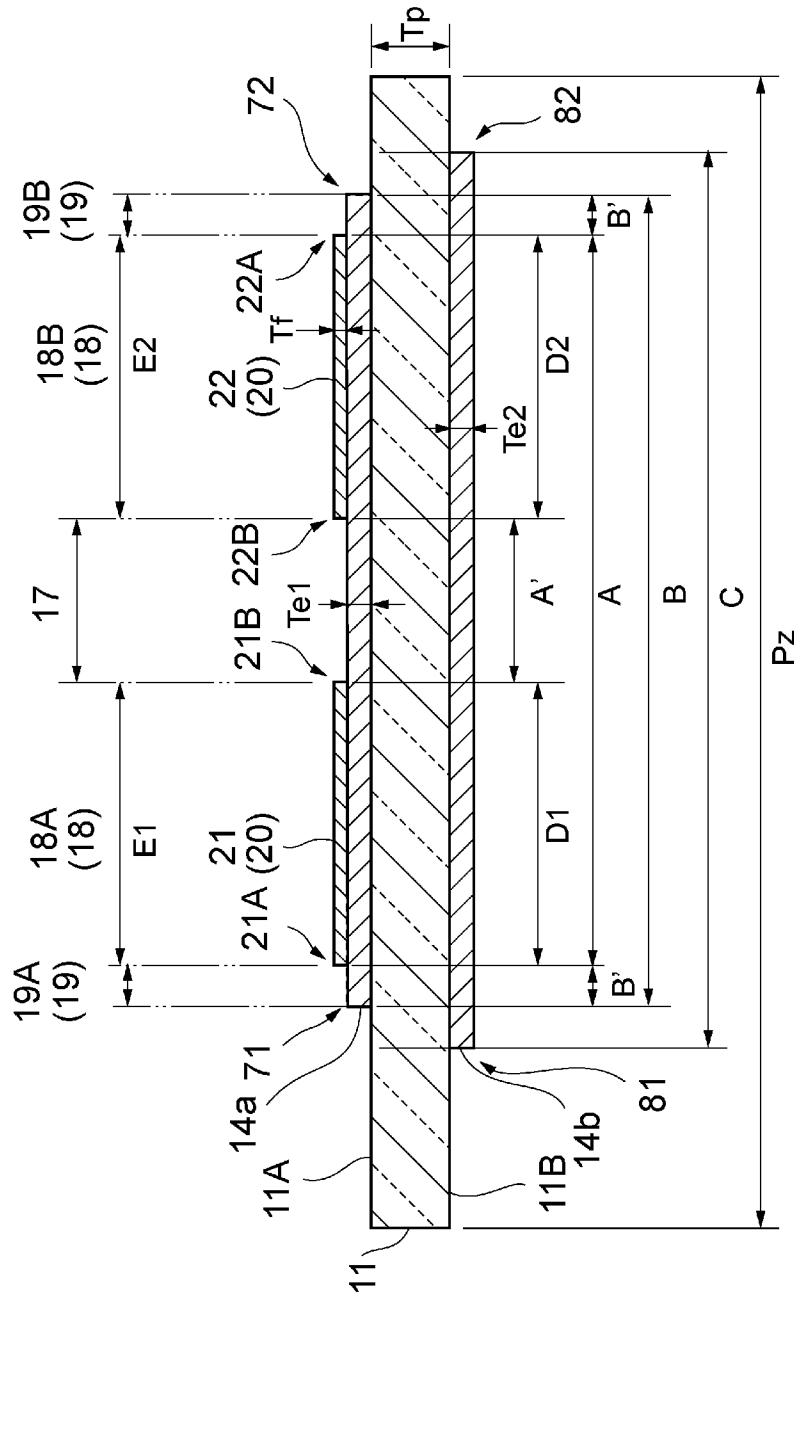


圖 34

[図35]

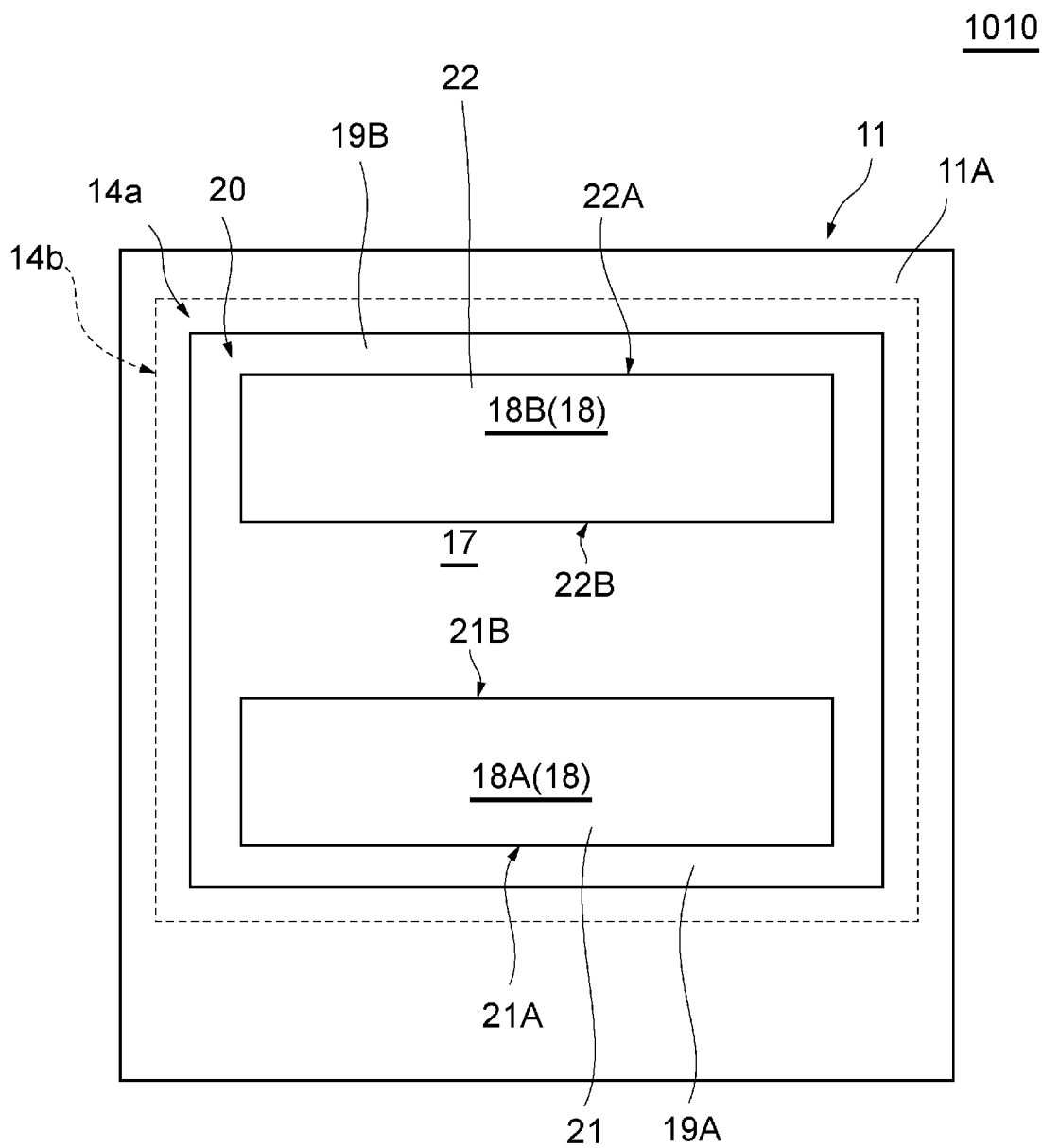
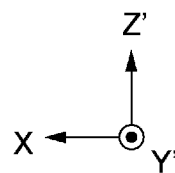
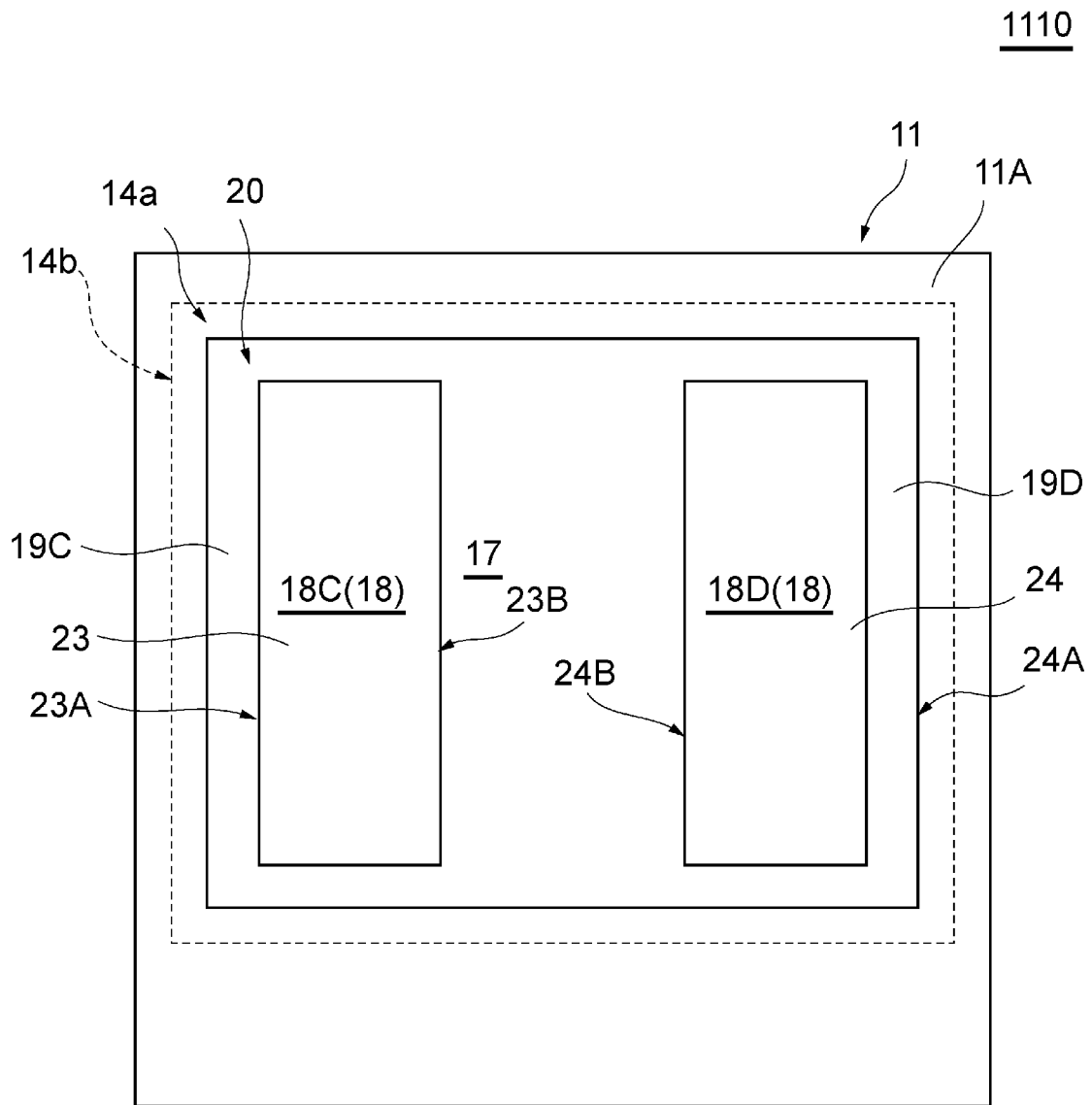


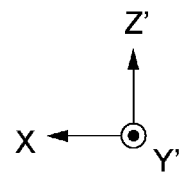
図 3 5



[図36]



[図36]



INTERNATIONAL SEARCH REPORT

International application No.

PCT/JP2024/013407

A. CLASSIFICATION OF SUBJECT MATTER		
<i>H03H 9/19</i> (2006.01)i FI: H03H9/19 F		
According to International Patent Classification (IPC) or to both national classification and IPC		
B. FIELDS SEARCHED		
Minimum documentation searched (classification system followed by classification symbols) H03H9/19		
Documentation searched other than minimum documentation to the extent that such documents are included in the fields searched Published examined utility model applications of Japan 1922-1996 Published unexamined utility model applications of Japan 1971-2024 Registered utility model specifications of Japan 1996-2024 Published registered utility model applications of Japan 1994-2024		
Electronic data base consulted during the international search (name of data base and, where practicable, search terms used)		
C. DOCUMENTS CONSIDERED TO BE RELEVANT		
Category*	Citation of document, with indication, where appropriate, of the relevant passages	Relevant to claim No.
X	JP 03-001710 A (KINSEKI LTD.) 08 January 1991 (1991-01-08) p. 1, lower left column, line 17 to p. 1, lower right column, line 10, p. 2, lower right column, line 2 to p. 2, lower right column, line 7, fig. 3	1, 3-4, 10, 13-16, 19-21, 23-26
A	p. 1, lower left column, line 17 to p. 1, lower right column, line 10, p. 2, lower right column, line 2 to p. 2, lower right column, line 7, fig. 3	2, 5-9, 11-12, 17-18, 22
X	JP 2022-153702 A (DAISHINKU CORP.) 13 October 2022 (2022-10-13) paragraphs [0017]-[0036], fig. 1-5	2, 4, 13, 15-16, 24-26
A	paragraphs [0017]-[0036], fig. 1-5	1, 3, 5-12, 14, 17-23
A	WO 2021/112214 A1 (MURATA MANUFACTURING CO., LTD.) 10 June 2021 (2021-06-10) entire text, all drawings	1-26
A	WO 2022/080426 A1 (MURATA MANUFACTURING CO., LTD.) 21 April 2022 (2022-04-21) entire text, all drawings	1-26
<input checked="" type="checkbox"/> Further documents are listed in the continuation of Box C. <input checked="" type="checkbox"/> See patent family annex.		
* Special categories of cited documents: "A" document defining the general state of the art which is not considered to be of particular relevance "D" document cited by the applicant in the international application "E" earlier application or patent but published on or after the international filing date "L" document which may throw doubts on priority claim(s) or which is cited to establish the publication date of another citation or other special reason (as specified) "O" document referring to an oral disclosure, use, exhibition or other means "P" document published prior to the international filing date but later than the priority date claimed "T" later document published after the international filing date or priority date and not in conflict with the application but cited to understand the principle or theory underlying the invention "X" document of particular relevance; the claimed invention cannot be considered novel or cannot be considered to involve an inventive step when the document is taken alone "Y" document of particular relevance; the claimed invention cannot be considered to involve an inventive step when the document is combined with one or more other such documents, such combination being obvious to a person skilled in the art "&" document member of the same patent family		
Date of the actual completion of the international search 29 May 2024		Date of mailing of the international search report 18 June 2024
Name and mailing address of the ISA/JP Japan Patent Office (ISA/JP) 3-4-3 Kasumigaseki, Chiyoda-ku, Tokyo 100-8915 Japan		Authorized officer Telephone No.

INTERNATIONAL SEARCH REPORT
Information on patent family members

International application No. PCT/JP2024/013407

Patent document cited in search report	Publication date (day/month/year)	Patent family member(s)	Publication date (day/month/year)
JP 03-001710 A	08 January 1991	(Family: none)	
JP 2022-153702 A	13 October 2022	(Family: none)	
WO 2021/112214 A1	10 June 2021	US 2022/0294417 A1 entire text, all drawings CN 114788175 A	
WO 2022/080426 A1	21 April 2022	US 2023/0246632 A1 entire text, all drawings DE 212021000441 U1 CN 116368733 A	
US 6111341 A	29 August 2000	WO 1998/038736 A1 entire text, all drawings	

A. 発明の属する分野の分類（国際特許分類（IPC）） H03H 9/19(2006.01)i FI: H03H9/19 F		
B. 調査を行った分野 調査を行った最小限資料（国際特許分類（IPC）） H03H9/19 最小限資料以外の資料で調査を行った分野に含まれるもの 日本国実用新案公報 1922 - 1996年 日本国公開実用新案公報 1971 - 2024年 日本国実用新案登録公報 1996 - 2024年 日本国登録実用新案公報 1994 - 2024年		
国際調査で使用した電子データベース（データベースの名称、調査に使用した用語）		
C. 関連すると認められる文献		
引用文献の カテゴリー*	引用文献名 及び一部の箇所が関連するときは、その関連する箇所の表示	関連する 請求項の番号
X	JP 03-001710 A（キンセキ株式会社）08.01.1991（1991-01-08） 第1項左下欄第17行-第1項右下欄第10行，第2項右下欄第2行-第2項右下欄第7行， 第3図	1,3-4,10,13- 16,19-21,23-26
A	第1項左下欄第17行-第1項右下欄第10行，第2項右下欄第2行-第2項右下欄第7行， 第3図	2,5-9,11- 12,17-18,22
X	JP 2022-153702 A（株式会社大真空）13.10.2022（2022-10-13） 段落[0017]-[0036],[図1]-[図5]	2,4,13,15-16,24-26
A	段落[0017]-[0036],[図1]-[図5]	1,3,5-12,14,17-23
A	WO 2021/112214 A1（株式会社村田製作所）10.06.2021（2021-06-10） 全文、全図	1-26
A	WO 2022/080426 A1（株式会社村田製作所）21.04.2022（2022-04-21） 全文、全図	1-26
<input checked="" type="checkbox"/> C欄の続きにも文献が列挙されている。 <input checked="" type="checkbox"/> パテントファミリーに関する別紙を参照。		
* 引用文献のカテゴリー “A” 特に関連のある文献ではなく、一般的技術水準を示すもの “D” 国際出願で出願人が先行技術文献として記載した文献 “E” 国際出願日前の出願または特許であるが、国際出願日以後に 公表されたもの “L” 優先権主張に疑義を提起する文献又は他の文献の発行日若し くは他の特別な理由を確立するために引用する文献（理由を 付す） “O” 口頭による開示、使用、展示等に言及する文献 “P” 国際出願日前で、かつ優先権の主張の基礎となる出願の日の 後に公表された文献	“T” 国際出願日又は優先日後に公表された文献であって出願と抵 触するものではなく、発明の原理又は理論の理解のために引 用するもの “X” 特に関連のある文献であって、当該文献のみで発明の新規性 又は進歩性がないと考えられるもの “Y” 特に関連のある文献であって、当該文献と他の1以上の文献 との、当業者にとって自明である組合せによって進歩性がな いと考えられるもの “&” 同一パテントファミリー文献	
国際調査を完了した日 29.05.2024	国際調査報告の発送日 18.06.2024	
名称及びあて先 日本国特許庁(ISA/JP) 〒100-8915 日本国 東京都千代田区霞が関三丁目4番3号	権限のある職員（特許庁審査官） 石田 昌敏 5G 4181 電話番号 03-3581-1101 内線 3524	

C. 関連すると認められる文献		
引用文献の カテゴリー*	引用文献名 及び一部の箇所が関連するときは、その関連する箇所の表示	関連する 請求項の番号
A	US 6111341 A (TOYO COMMUNICATION EQUIPMENT CO., LTD.) 29.08.2000 (2000 - 08 - 29) 全文、全図	1-26

国際調査報告
 パテントファミリーに関する情報

国際出願番号

PCT/JP2024/013407

引用文献	公表日	パテントファミリー文献	公表日
JP 03-001710 A	08.01.1991	(ファミリーなし)	
JP 2022-153702 A	13.10.2022	(ファミリーなし)	
WO 2021/112214 A1	10.06.2021	US 2022/0294417 A1 全文、全図 CN 114788175 A	
WO 2022/080426 A1	21.04.2022	US 2023/0246632 A1 全文、全図 DE 212021000441 U1 CN 116368733 A	
US 6111341 A	29.08.2000	WO 1998/038736 A1 全文、全図	